

日本情報地質学会 シンポジウム2015

地形・地質三次元モデリングの最前線

講演論文集

Proceedings of
2015 Geoinformatics Symposium

日 時：2015年12月9日(水)

会 場：飯田橋レインボービル（東京）

共 催：国立研究法人 産業技術総合研究所
一般社団法人 全国地質調査業協会連合会
一般社団法人 資源・素材学会 探査工学部門委員会
特定非営利活動法人 地質情報整備活用機構
後 援：公益社団法人 日本地質学会 情報地質部会

日本情報地質学会
Japan Society of Geoinformatics

地形・地質三次元モデリングの最前線

目 次

標高タイルと Web 技術を用いた三次元可視化	西岡 芳晴 …… 1
日本海側山地に特有な筋状地形(雪崩地形)の地形形態と分布について	関口 辰夫 …… 25
砂防関連 DX データを用いた三次元モデリングと利用例	関家 史郎 …… 51
「示準柱状図と大量のボーリング柱状図を利用した三次元地質モデリング」 －地質モデリングの自動化の可能性について－	豊田 守 …… 63
三次元地質解析システム「GEO-CRE」の紹介	西山 昭一 …… 77

標高タイルと Web 技術を用いた三次元可視化

西 岡 芳 晴*

Electronic delivery of the geological survey in open data strategy

Yoshiharu Nishioka*

*産業技術総合研究所 AIST, Tsukuba Central 7, 1-1, Higashi 1, Tusukuba Ibaraki, Japan
E-mail: y-nishioka@aist.go.jp

キーワード : 標高, 3D, WebGL, 地図, シームレス地質図

Key words : elevation, 3D, WebGL, map, Seamless Geological Map

日本情報地質学会 2015 年度シンポジウム 東京

標高タイルと Web 技術を用いた 三次元可視化

西岡芳晴

産業技術総合研究所 地質情報研究部門
シームレス地質情報研究グループ



本日の内容

1. PNG標高タイル
2. WebGLによる3D



PNG標高タイル



全国を網羅した標高データの現状

1. 国土地理院10mメッシュ
 - 2.5万分の1地形図の等高線に基づく
2. 地理院タイル(標高タイル)
 - 前項をタイル化
 - ズームレベル0~14
 - CSV(カンマ区切りテスト)形式



20万分の1日本シームレス地質図

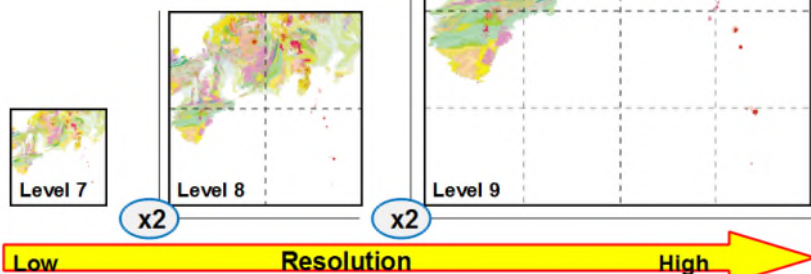


20万分の1, Webで無料で利用可能
高速で直感的なインターフェイス

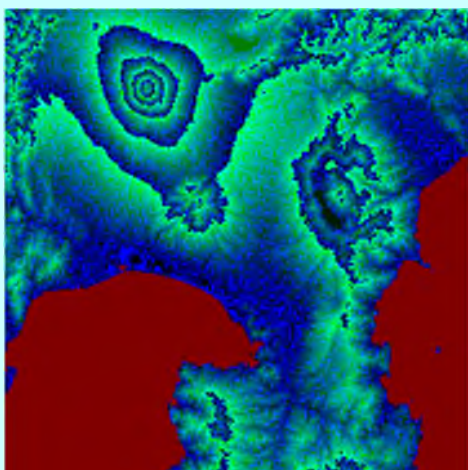


基本的な技術

地図タイル
(ピラミッドタイル)



PNG標高タイルの例



PNG標高タイルとは

1. PNG標高タイルとは？

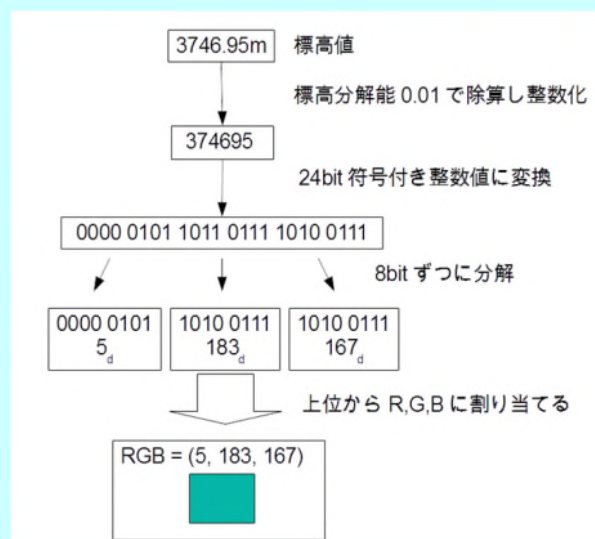
Webブラウザで利用するための
PNGを利用した標高タイルフォーマット

1. 開発
 - シームレス地質情報研究グループ
2. 目的
 - 標高データの利用の高度化
3. 協力
 - 国土地理院地理空間情報部

※西岡・長津(2015, 情報地質, vol. 26, no. 4印刷中)



標高値から画素への変換手順



PNG標高タイルの例

1. 富士山(北緯36.3606, 東経138.7274) Z=9

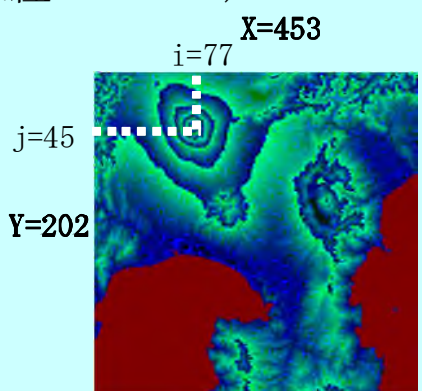
→ タイル座標
 $(X, Y) = (453, 202)$

→ タイル内座標
 $(i, j) = (77, 45)$

→ この地点のピクセルの色
 $RGB = (5, 183, 167)$

→ 標高は

$$\begin{aligned} h &= R \times 256 \times 256 + G \times 256 + B \\ &= 5 \times 256 \times 256 + 183 \times 256 + 167 \\ &= 374,695(\text{cm}) \rightarrow 3746.95(\text{m}) \end{aligned}$$



※上記の値は説明用で、実際の値とは異なります

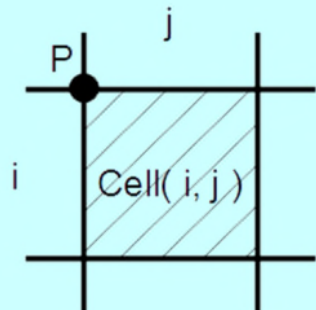
扱える標高の範囲

- 扱える標高の範囲は標高分解能により異なる
- 標高分解能が0.01mの場合
 - -83,886.07m～+83,886.07mまでの範囲が表現可能
 - エベレストやマリアナ海溝チャレンジャー海淵も表現できる



各セルの値が示す標高の位置

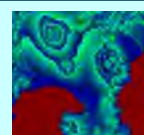
1. 北西端の格子線の交点の標高値を表す
(中央の値や平均値ではない)



PNG標高タイルの利用システム

Web地図アプリケーション

PNG標高タイルサービス



Webページ表示

ブラウザ

PNG標高タイル取得



PNG標高タイルの長所

1. ファイルサイズが小さい
 - CSV → , 3746.95m, (9byte)
 - PNG → RGB (3byte)
2. クライアントでの処理が用意
 - ... 基本的に画像ファイルの処理
3. 視認性が良い
 - ... タイルやアプリ作成者が扱いやすい



PNG標高タイルの応用

1. 地理座標が決まれば1つの高度が決まる
サーフェスモデルのあらゆるデータに応用可能
 - 基盤深度
 - 帯水層上面深度
 - ...
2. 地理座標が決まれば1つの値が決まる様々なデータに応用可能
 - 地球化学図
 - ブーゲー異常図
 - ...



シームレス標高サービス(仮称)

<http://gsj-seamless.jp/labs/elev/>

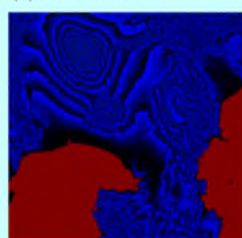
測地系	世界測地系(WGS84)
投影法	半径6378137m 真球メルカトル図法
タイル分割法	地理院タイルのタイル分割法に準ずる
ズームレベル	0~13
標高分解能	1m, 0.01m
ファイルフォーマット	PNG 24ビットRGBまたは8ビットインデックスカラー
データソース	地理院タイル(標高)

※サービス内容を検討するためのもので、
永続的な提供を予定しておりません。

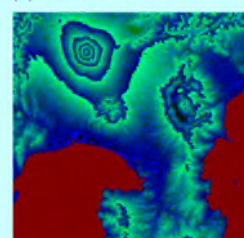


シームレス標高サービスの タイルの例

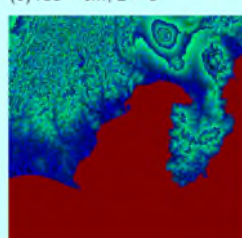
(a) res = m, z = 9



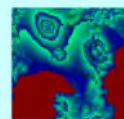
(b) res = cm, z = 9



(c) res = cm, z = 8



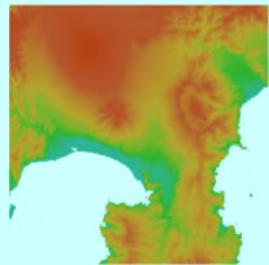
(d) res = cm, z = 9, size = 129



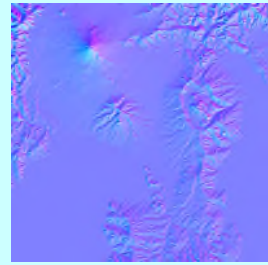
シームレス標高サービスの その他のタイル



陰影タイル



段彩タイル



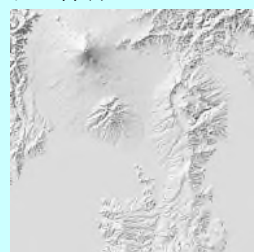
法線タイル



陰影タイルの例

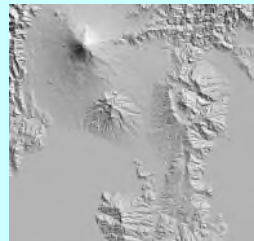
- ・クライアントからのリクエスト時に動的に作成

<http://gsj-seamless.jp/labs/elev/shaded/9/202/453.png>
北西方向, 仰角60度の光源(デフォルト)



<http://gsj-seamless.jp/labs/elev/shaded/9/202/453.png?azimuth=45&elevation=45>

北東方向, 仰角45度の光源
クエリーパラメータで指定

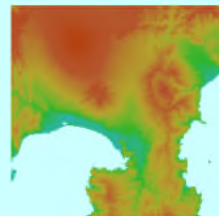


段彩タイルの例

- ・クライアントからのリクエスト時に動的に作成

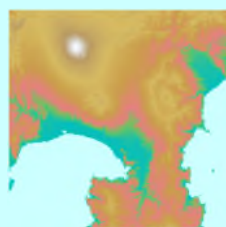
<http://gsj-seamless.jp/labs/elev/tints/9/202/453.png>

デフォルトの配色



<http://gsj-seamless.jp/labs/elev/tints/9/202/453.png?colors=50,0000cd,0,00bfbf,100,75c25d,200,e68080,500,ca9e4b,1000,d6bb62,2000,b99a64,3000,ddcdcc,3800,ffffff>

クエリーパラメータで、標高値と色のリストを指定



WebGLによる3D



3Dと言ってもいろいろ？

ウィキペディアから、

1. 3D映像

- 3次元映像、3D立体視とも言う。
... 3D映画、ニンテンドー3DS



2. 3次元コンピュータグラフィックス (3DCG)

- 3次元モデルをコンピュータのディスプレイ等に疑似的に実現した物。

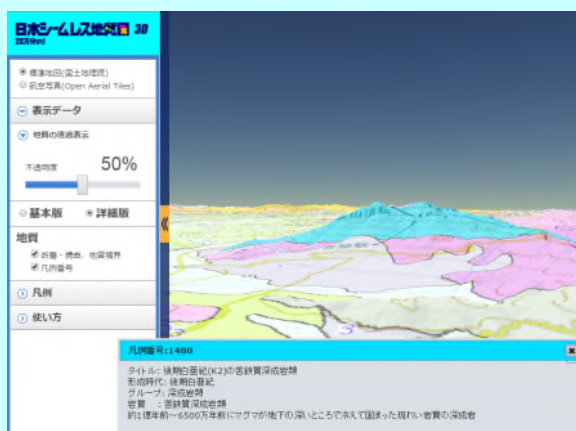


<http://www.oyonale.com/modeles.php?lang=en&page=40>



シームレス地質図3D

1. なるべく多くの方に使ってもらえるように



<https://gbank.gsj.jp/seamless/cesium/>



新シームレス地質図3D

デモ

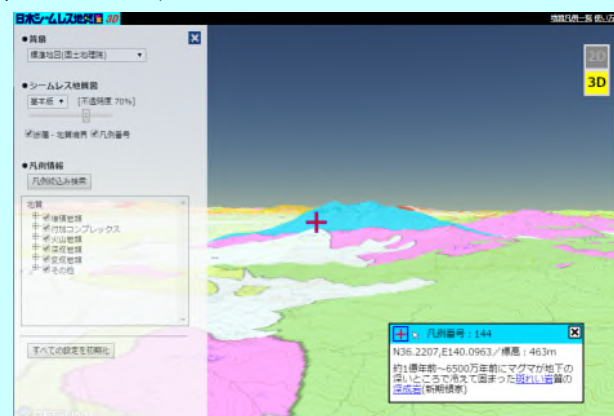
シームレス地質図ラボサイトで試験公開中

<http://gsj-seamless.jp/labs/smap/2d3d/2d3d.html>



新シームレス地質図3D

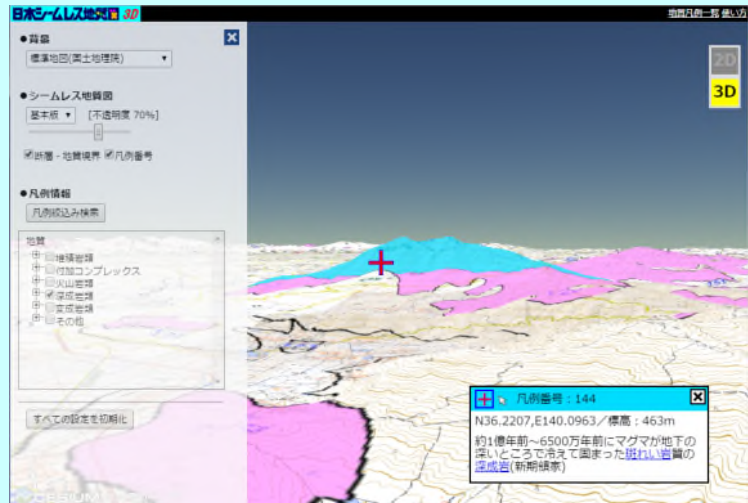
1. 2015年12月公開予定



(URLは変更なし) <https://gbank.gsj.jp/seamless/cesium/>



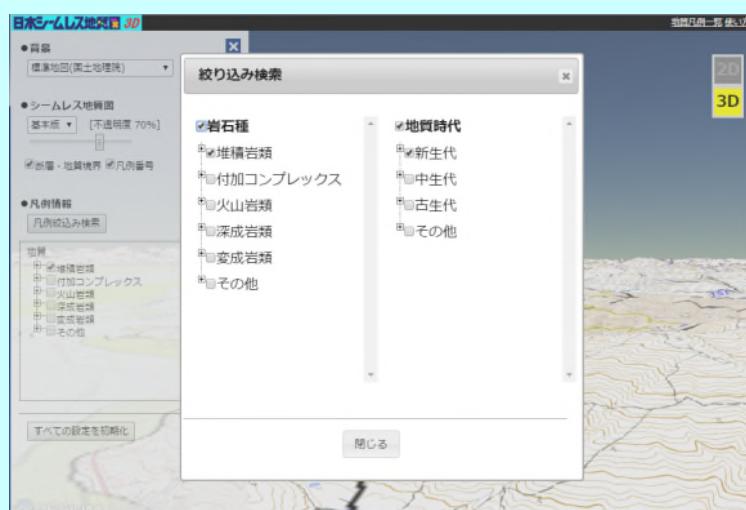
“深成岩”のみを表示



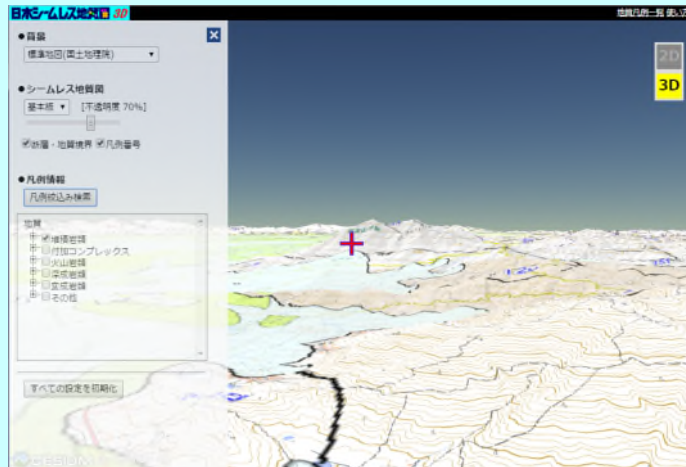
1. 深成岩のみを表示



絞り込み機能



新生代の堆積岩のみを表示



入力デバイス

1. ゲームパッド



<http://gaming.logicool.co.jp/ja/jp/product/f310-gamepad>

1. Leap Motion



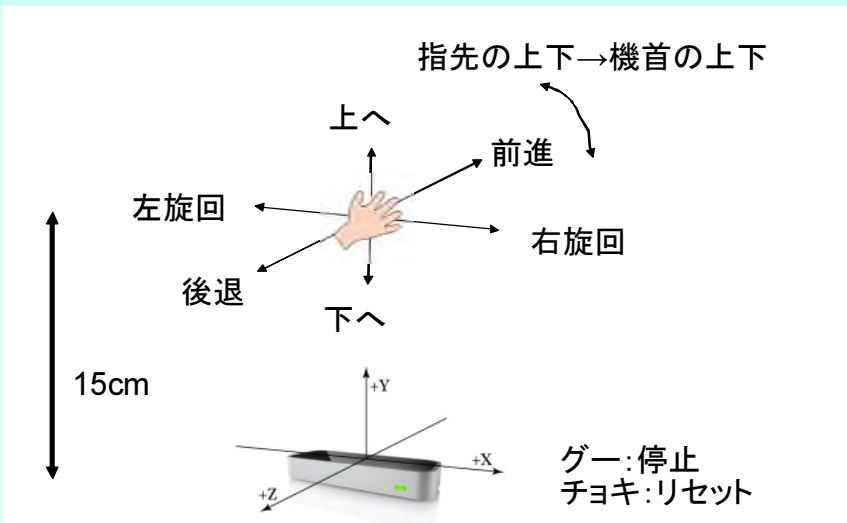
<https://www.leapmotion.com/product/desktop>



ゲームパッドでの操作



Leap Motionでの操作



<https://developer.leapmotion.com/>



WebGLとは



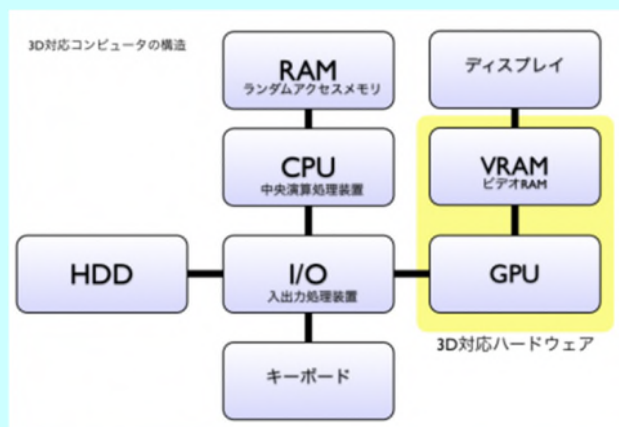
「インターネットブラウザをプレイスティ
ションにしてしまう魔法の技術」

(「少女と少年のための投稿型プログラミング情報ブログ」
<http://wise9.jp/archives/6060>より)

- Webブラウザ上で3Dグラフィックを表示するための技術
- HTML5と併用される
- グラフィックハードウェアを直接操作するので高速に動作する



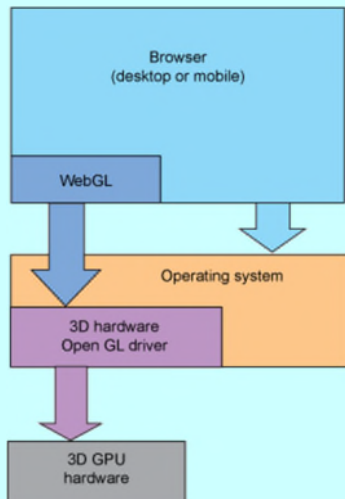
3D対応コンピュータの構造



Wise9、「WebGLとはなんなのか、ゲーム好きの大学生に説明してみる」より
<http://wise9.jp/archives/6060>



WebGLを使ったアプリケーション



WebGLによる 3D 開発: 第 1 回 WebGL の紹介
IBM developerWorks
<http://www.ibm.com/developerworks/jp/web/library/wa-webgl1/>

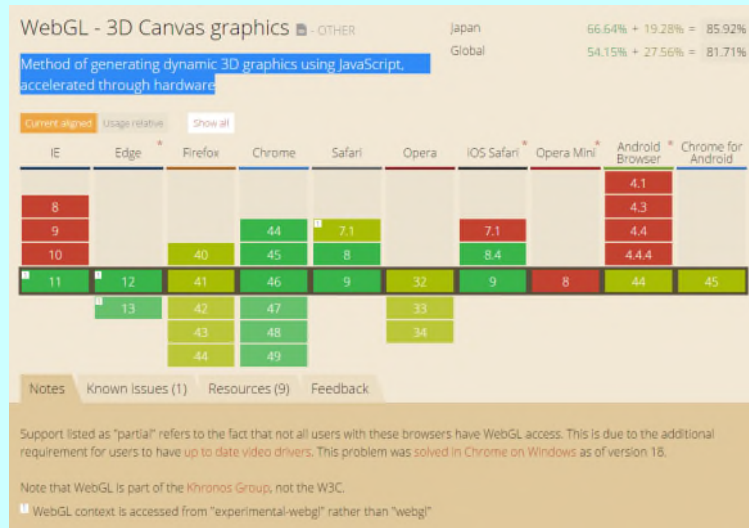


WebGLの利用

1. プラグインなしで利用可能
2. 最新のWebブラウザはおおむね対応している
3. WebGLそのままでは使いにくいので、それを使いやすくするためのライブラリもいくつか公開されている
 - three.js
 - Cesium
 - ...



WebGL対応ブラウザ

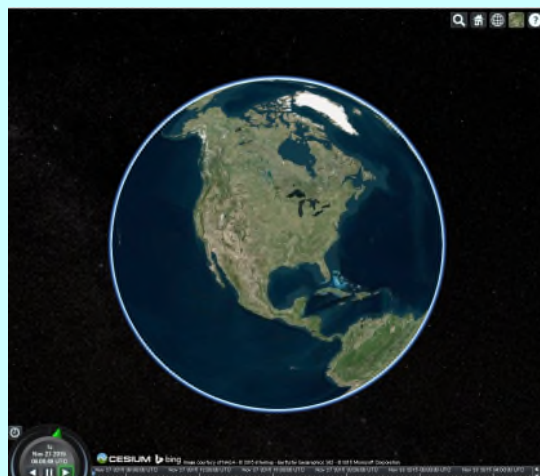


Can I Use WebGL? <http://caniuse.com/#feat=webgl>



WebGLのサンプル

http://gsj-seamless.jp/webgl/cesium/1_HelloWorld.html



WebGLの利用はかなり簡単

```
<!DOCTYPE html>
<!-- Cesium-1.4 同梱のHelloWorld.htmlより -->
<html lang="en">
<head>
    <meta charset="utf-8">
    <meta http-equiv="X-UA-Compatible" content="IE=Edge,chrome=1">
    <meta name="viewport"
        content="width=device-width, initial-scale=1, maximum-scale=1,
        minimum-scale=1, user-scalable=no">
    <title>Hello World!</title>
    <script src="Cesium-1.10/Cesium.js"></script>
    <style>
@import url(Cesium-1.10/Widgets/widgets.css);
html, body, #cesiumContainer {
    width: 100%; height: 100%; margin: 0; padding: 0; overflow: hidden;
}
    </style>
</head>
<body>
    <div id="cesiumContainer"></div>
    <script>
var viewer = new Cesium.Viewer('cesiumContainer');
    </script>
</body>
</html>
```



Cesiumとは



1. WebGLを使ってデジタル地球儀を表示するライブラリ
2. <http://cesiumjs.org/>
3. AGIによって開発され、Apache 2.0 ライセンスで公開されている



ソフトウェアの階層構造

ユーザ側



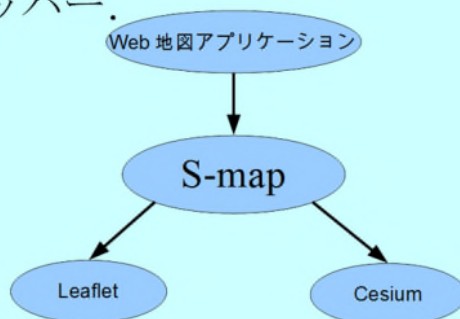
システム側



“S-map”とは？

1. シームレス地質図メインビューアのために開発した地図描画ライブラリ
2. 実際の地図描画はLeafletやCesiumが行って、それらのラッパー。
3. S-mapのSは
 - Seamless
 - Simple
 - Smart
 - Sophisticated

試験公開中！



S-map公開サイト(試験公開)

1. <http://gsj-seamless.jp/labs/smap/doc/>

S-map

S-mapは、2015年5月に公開された日本シームレス地質図新ビューアのために作成されたJavaScript地図描画ライブラリです。

開発版	0.2.0	2015-07-02	[ダウンロード]	http://gsj-seamless.jp/labs/smap/0.2.0/smap.js
最新安定版	0.2.1.1	2015-07-02	[ダウンロード]	http://gsj-seamless.jp/labs/smap/smap.js
日本実用版	0.2.0.1	2015-07-02	[ダウンロード]	http://gsj-seamless.jp/labs/smap/smap.js

※ダウンロードファイルにはes6.jsも含まれます。グローバル変数を含みます。

※S-mapは、2015年4月15日現在、試験公開中です。
※S-mapはApacheライセンスでの分发を予定しています。现阶段でも利用は自由です。
※このタイプのサポートは計画ではありません。

S-mapは、それ自身は地図描画を行な機能を持たず、Leaflet, Cesium等の地図描画ライブラリを呼び出して使用するための地図描画プラットフォームを提供します。このプラットフォームには、独自の地図描画エンジンを作成して組み込むことも可能です。

・特徴

- ・タイルレイヤーは動的にタイルを書き換える可能
- ・オーバーレイ機能、曲面表示機能、凡て情報を取り出す機能を提供
- ・地図を直角にして出力する機能を提供
- ・KMLをサポート
- ・Promiseオブジェクトをサポートし、非同期処理が記述しやすい
- ・地図描画エンジン、コントール、ゴトローラを拡張可能

・基本コンセプト

基本的にはMapオブジェクトとLayerオブジェクトを提供します。これらは、いわゆるクラスとしては実装されておらず、生成するための間接的な提供されます。生成されたMapオブジェクトやLayerオブジェクトは動的に値を変更できるプロパティを持ち、変更は速やかに描画に反映されます。

傾斜量図テスター

<http://gsj-seamless.jp/labs/elev/slope/slopetester.html>

傾斜量図テスター

背景: 地理院地図標準
オーバーレイ: 無し
不透水層: 70%

オーバーレイ2: 傾斜量図
不透水層: 80%

標高データ: 10m DEM
標高の平均: 平均
計算式: 法線マップ経由(3点法)
傾斜量の平均: 平均
傾斜量を瞬間に交換する値: 1.0
傾斜量の増加に対する度合: 下げる
ガムマ補正: 1
トグル(左: D, 右: M)する
基準色

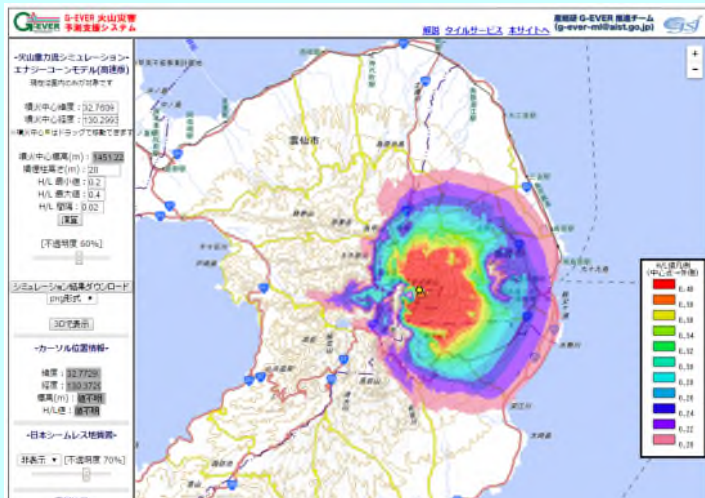
ダウンロード: PNG | KMZ
※サイトの大流量で失敗する場合があります

このページでは、国土地理院の提供する標高データ(10m DEM)を用いて、傾斜量を算出するためのツールを提供します。また、西日本測量科学研究所の提供する不透水層データ(2014年1月版)を用いて、不透水層による影響を考慮した傾斜量を算出します。Aster GDEMの標高データは精度検証済み及びNAGAで構成します。

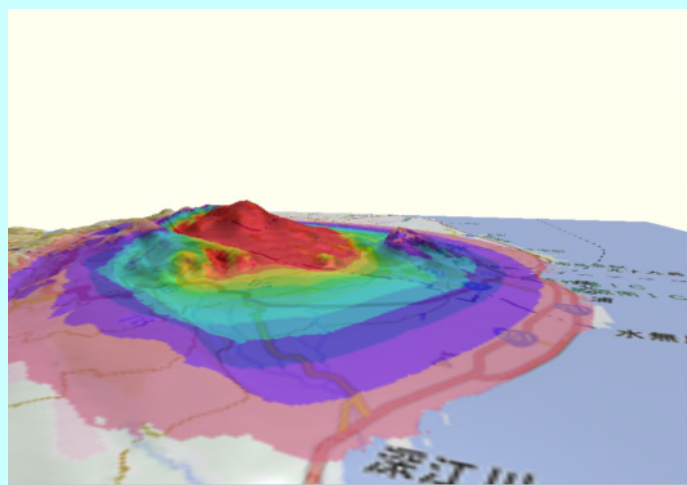
ズームレベル: 12
3 km | 1 m

エナジーコーンモデル(高速版) G-EVER火山災害予測支援システム

<http://g-ever1.org/quick/>



エナジーコーンの3D表示



WebGLライブラリ three.jsを使用



まとめ



まとめ

1. PNG標高タイルでサーフェスモデルが表現できます
2. WebGLを使えば3D Webアプリが簡単に作れます



日本海側山地に特有な筋状地形（雪崩地形）の地形形態と分布について

関 口 辰 夫*

Characteristic landform of “Avalanche Furrows” and distribution in the Mountain areas along the Japan Sea Coast

Tatsuo Sekiguchi*

*国土地理院 Geospatial Information Authority of Japan., 1 Kitasato, Tsukuba, Ibaraki,
Japan E-mail: sekiguchi-t96nk@mlit.go.jp

キーワード：全層雪崩、筋状地形、積雪深、空中写真判読

Key words : full-depth snow avalanche, avalanche furrow, snow depth, aerial-photo interpretation

日本海側山地に特有な筋状地形（雪崩地形）の地形 形態と分布について

関口 辰夫

Characteristic landform of “Avalanche Furrows” and distributions in the mountain areas along the Japan Sea coast

Tatsuo Sekiguchi*

*国土地理院 Geospatial Information Authority of Japan., 1 Kitasato,
Tsukuba, Ibaraki, Japan.
E-mail:sekiguchi-t96nk@mlit.go.jp

キーワード：全層雪崩、筋状地形、積雪深、空中写真判読

Key words : full-depth snow avalanche, avalanche furrow, snow depth, aerial-photo interpretation

1. 雪崩による地形の調査・研究について

筋状地形(雪崩地形)は日本海の山地に特有の地形で広範囲に分布していることが判った(杉山ほか, 1987)。しかし、その形態や形成過程は未解明であり、下記について調査・研究を行った(関口, 1994、関口, 2008)。

1. 雪崩と雪崩による地形との関係

- ①雪崩と筋状地形が一致
- ②積雪の少ない地域では存在していない

2. 全層雪崩は反復して発生しているか

- ①新潟県魚沼地区
- ②新潟県秋山郷で反復発生を確認

3. 積雪深・出現標高との関係はどうか

- ①積雪深1 m~1.5 m以上
- ②標高約200 m以上で出現

4. どのような地形形態か

- ①幅の狭い直線的な溝状
- ②基盤が露出
- ③周囲は主に低灌木

5. 形成要因はなにか

- ①降雪・積雪深
- ②傾斜
- ③植生(抵抗体小)
- ④急傾斜の地形

6. 表層雪崩、崩壊地との関係はどうか

- ①雪崩災害は表層雪崩で多い
- ②崩壊地は急傾斜・無植生

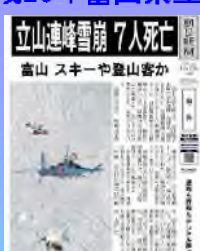
7. 予知・予測に役立つか

- ①新潟県中越地震前に予測図作成
- ②翌年の豪雪後に検証

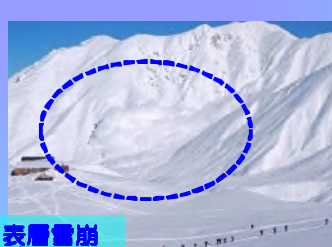
最近の雪崩災害

日本では、豪雪、交通障害、登山、スキー、雪崩などの災害が毎年のように発生している。

平成25年富山県立山真砂岳スキー雪崩災害



(朝日2013年11月)



(産経2013年11月)

平成26年2月の関東地方の大雪



大雪 各地で集落孤立、山梨・早川町で約665世帯1,200人が孤立...
各地で孤立集落 (FNN, 2014年2月)



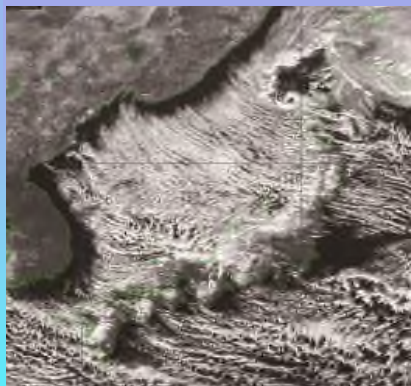
Google Earth画像 (2013年5月)



山梨県早川町での雪崩(秋山ほか, 2015)

日本の豪雪と気候・気象 降雪・積雪

世界で有数の多雪国であり、豪雪の中でも生活を営んでいる



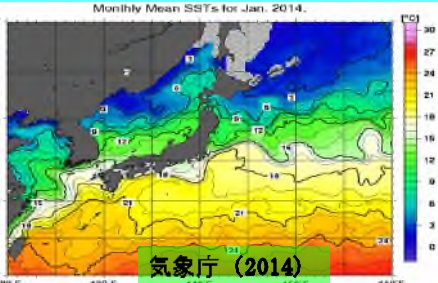
気象庁(2005年11月)

- ①冬季の寒冷で乾燥のシベリア寒気団が強風の季節風となって列島を覆う
- ②日本海の海水温は真冬でも10~12°C
- ③寒気団が大量の熱と水蒸気を含み変質
- ④変質した季節風が脊梁山脈で上昇、大量の降雪・積雪、山地で雪崩を発生

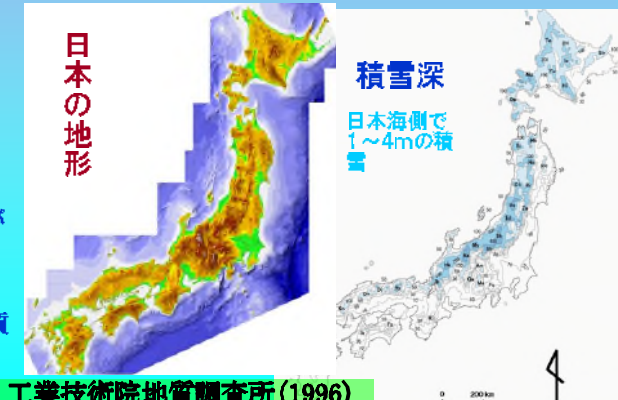
温暖な対馬海流

降雪・積雪

Monthly Mean SSTs for Jan. 2014.



気象庁 (2014)

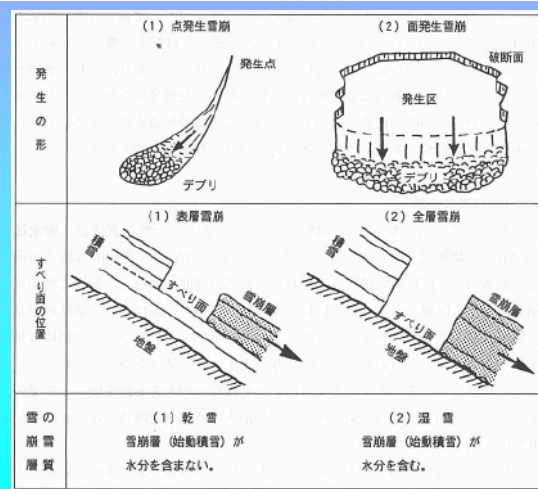


工業技術院地質調査所 (1996)

雪崩の分類 日本雪氷学会(1998)

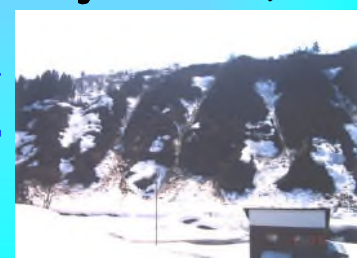
表層雪崩: 12~2月厳冬期
全層雪崩: 3~4月融雪期

雪崩分類の要素		区分名	定義等
雪崩発生の形	点発生	一点からさび状に動き出す。一般に小規模。	
	面発生	かなり広い面積にわたりいつせいに動き出す。一般に大規模。	
雪崩層(始動積雪)の乾湿	乾雪	発生域の雪崩層(始動積雪)が水気を含まない。	
	湿雪	発生域の雪崩層(始動積雪)が水気を含む。	
発生域の雪崩層(始動積雪)のすべり面の位置	表層	すべり面が地面。	
	全層	すべり面が積雪内部。	



白馬岳(土研雪崩・地すべり)
<https://www.pwri.go.jp/team/nagano/movies.html>

表層雪崩



湿雪全層雪崩と地表侵食
(2002年, 十日町市)

全層雪崩

点発生雪崩と面発生雪崩

豪雪地域の山地・丘陵地の地形景観



凹型斜面とモヒカン刈模様の尾根
(只見おもしろ学ガイドブック(2013))



豪雪の雪圧による根曲(只見町)



低灌木のボイ山と凹型斜面(魚沼市)



斜面の低灌木と尾根の高木(只見町)

雪崩による地形の研究史

全層雪崩発生斜面では、直線的な地形がみられることが指摘されていた(宮崎, 1938)、アバランチシート(下川, 1980)の調査。筋状地形(杉山ほか, 1987)の発見により、雪崩地形が日本海側山地に広域に分布していることが明らかとなった。



①雪崩道(宮崎, 1938 ,
神通川沿い)



②アバランチ・シート(下川, 1980 只見川上流)



③筋状地形(杉山ほか, 1987 只見町)

雪崩における筋状地形の調査・研究

全層雪崩発生斜面に広範囲にみられる筋状地形について空中写真判読、現地調査により分布や地形形態の調査・研究を行った



筋状地形(新潟県魚沼市):空中写真では針先で引っ搔いたような筋状のパターンが判読される



アバランチシート(福島県只見町):筋状地形よりも幅が広く、筋状地形とほぼ同地域で分布している

全層雪崩による地表の侵食

毎年融雪期には全層雪崩が発生し、少しづつ斜面を侵食し筋状地形などを形成



雪崩の発生状況(旧湯之谷村, 2002年)
A:稜線 B:逃急線 C:クラック D:グラブ
E:雪崩 F:デブリ



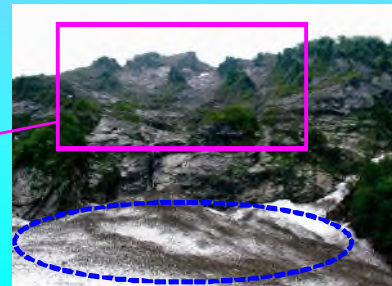
融雪期の雪崩発生状況
(旧広神村, 1983年3月)



権現岳(1989年オリス撮影)

アバランチ・シート
(糸魚川市・旧能生
町権口権現岳,
2002年5月)

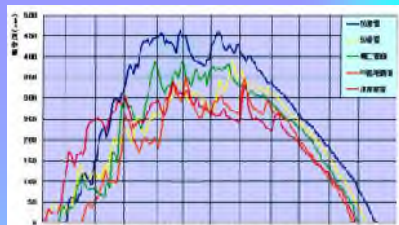
デブリと削剥
された砂礫



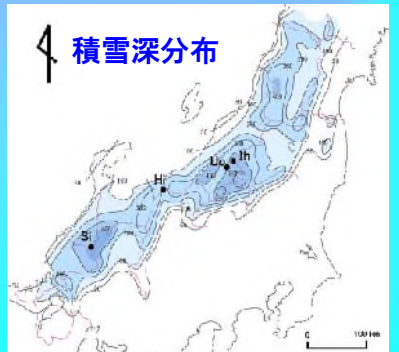
筋状地形の調査・研究の地域

- ①56豪雪において広範囲に雪崩が発生した。これらの地域で雪崩地形の調査・研究が開始され、その過程で筋状地形が発見された。
- ②傾斜・発生位置・植生・方位、筋状地形の全国的な分布を調査。

調査地域



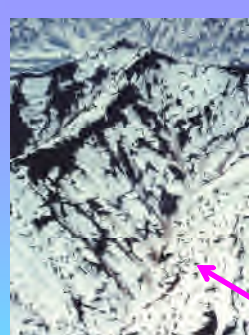
新潟県入広瀬観測点の積雪深



防災科学技術センター
(1982)を編集

雪崩発生斜面における筋状地形との関係

融雪期



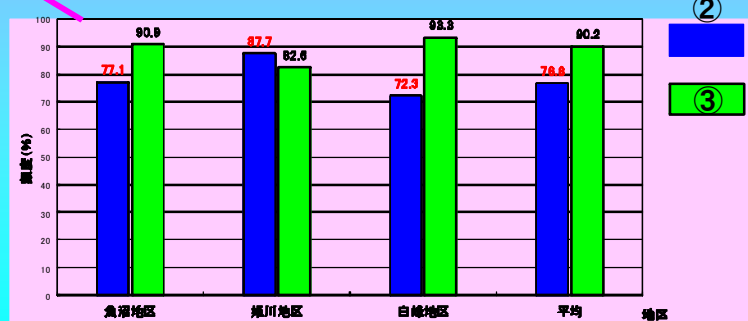
無雪期



魚沼地区

雪崩発生斜面と筋状地形との関係が80~90%と非常に高いことが明らかとなった。

- ①新潟県魚沼地区、新潟・長野県境姫川地区、石川県白峰地区で雪崩発生と筋状地形の関係を調査。
- ②雪崩発生斜面で筋状地形が76.8%みられた。
- ③筋状地形のみられる斜面では90.2%の雪崩が発生した。
- ④雪崩と筋状地形の相関が高いことが判った。



②

③

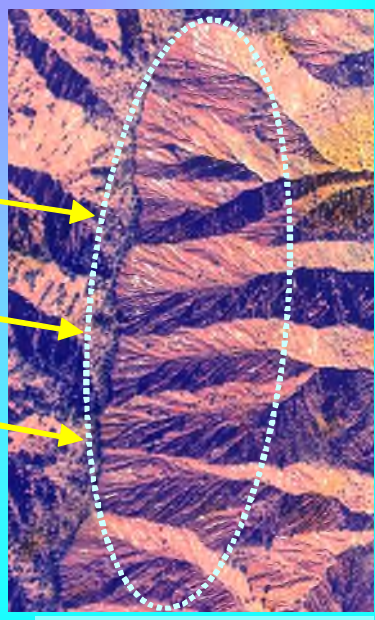
方 位

筋状地形の方位は、山稜の方向、季節風、傾斜の非対称、雪庇の発達等によると考えられる。調査による筋状地形の方位は、

- ① 密集している区域では方位に無関係に出現
- ② 南北、北東－南西の山稜では東側斜面に多い



奥只見地区の例

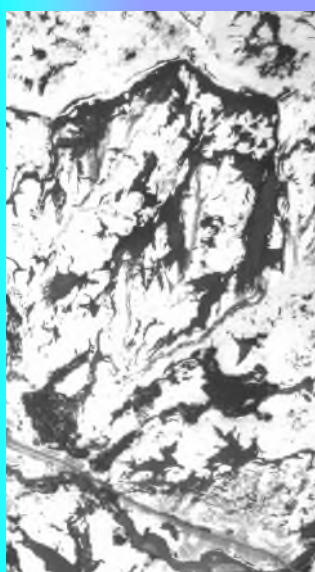


冬季の季節風

稜線の東側斜面で発達

雪崩の反復性(魚沼地区) ①

- ①全層雪崩は毎年同じ場所で発生していると言われるが未解明であった
- ②そこで、雪崩が反復発生について複数年で調査を行った



56豪雪時写真

昭和58年空中写真

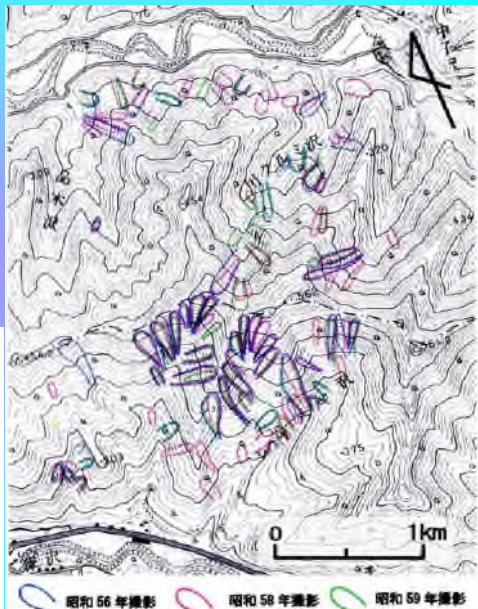
昭和59年空中写真

雪崩の反復性(魚沼地区) ②

3時期の雪崩発生の反復発生率を調査 1時期に1回だけの撮影で

- ①1981／1983では
82.7%で反復発生
- ②1983／1984では
65.4%で反復
- ③1981／1984では
42.5%で反復

3時期で4～8割で反復
発生が認められた



空中写真撮影年	雪崩発生斜面数	反復斜面数・反復率 (1)	反復斜面数・反復率 (2)
1981	52		
1983	80	① 43 82.7 %	
1984	50	② 34 65.4 %	③ 34 42.5 %

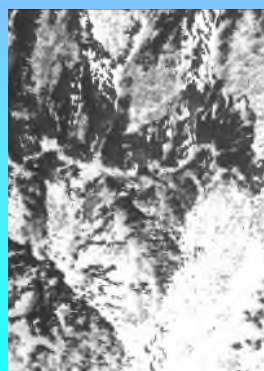
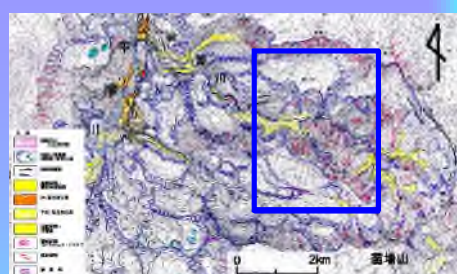
発生斜面数、反復発生数、反復発生率

3時期雪崩発生斜面の重ね合わせ

新潟県・長野県境の秋山郷の反復性 ①

苗場火山西側では、中津川方向の侵食カルデラと、多数の地すべり地形がみられる

- ①3時期で7～9割の雪崩が反復発生した。
- ②雪崩地形だけでなく崩壊地でも発生
- ③筋状地形やアバランチシュート、崩壊地で反復発生率が高い。



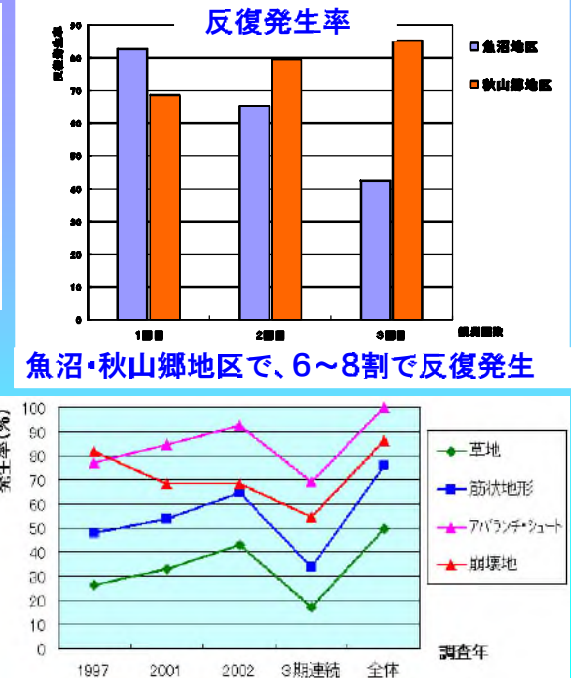
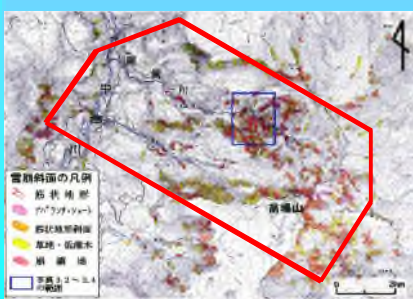
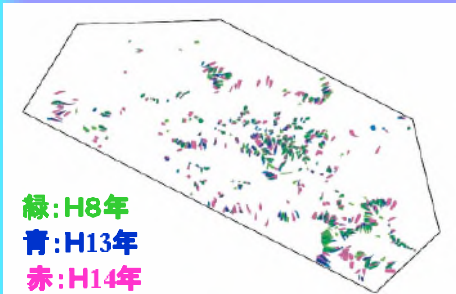
調査位置

平成8年撮影

H13年撮影

H14年撮影

秋山郷地区における反復性 ②



現地における筋状地形の調査(福島県只見町)

典型的な筋状地形の地形形態について現地調査を行った。



筋状地形の溝状の地形

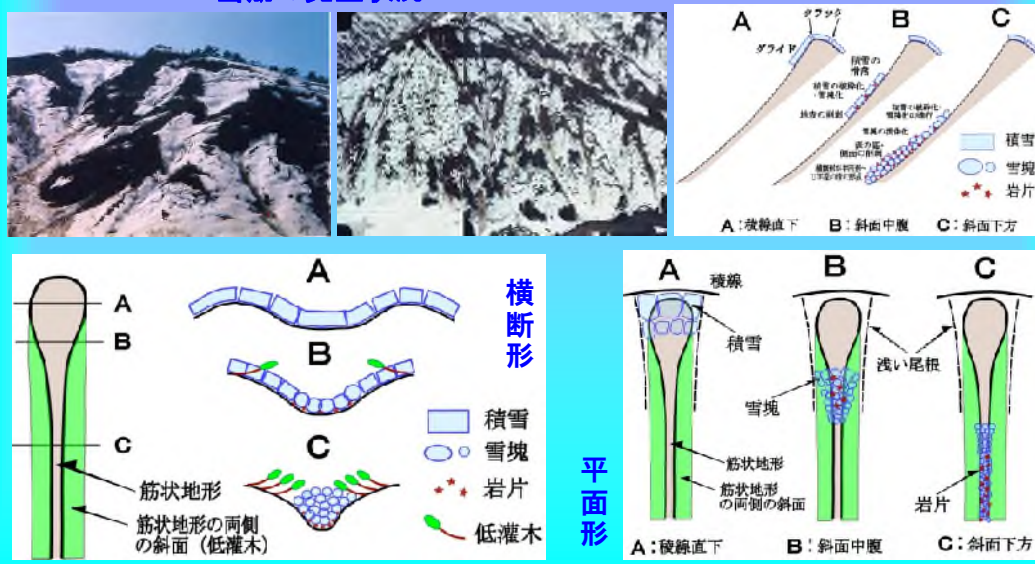
- ① 縦断形は浅い凹型or直線形
- ② 断面が半円形～U字型
- ③ 溝の幅4～6m、深さ2～4m
- ④ 溝の両側の植生は低灌木や草地
- ⑤ 表面は滑らかな岩盤でしばしば雪崩による擦痕がみられる

筋状地形中・下部

雪崩による筋状地形の形成メカニズム

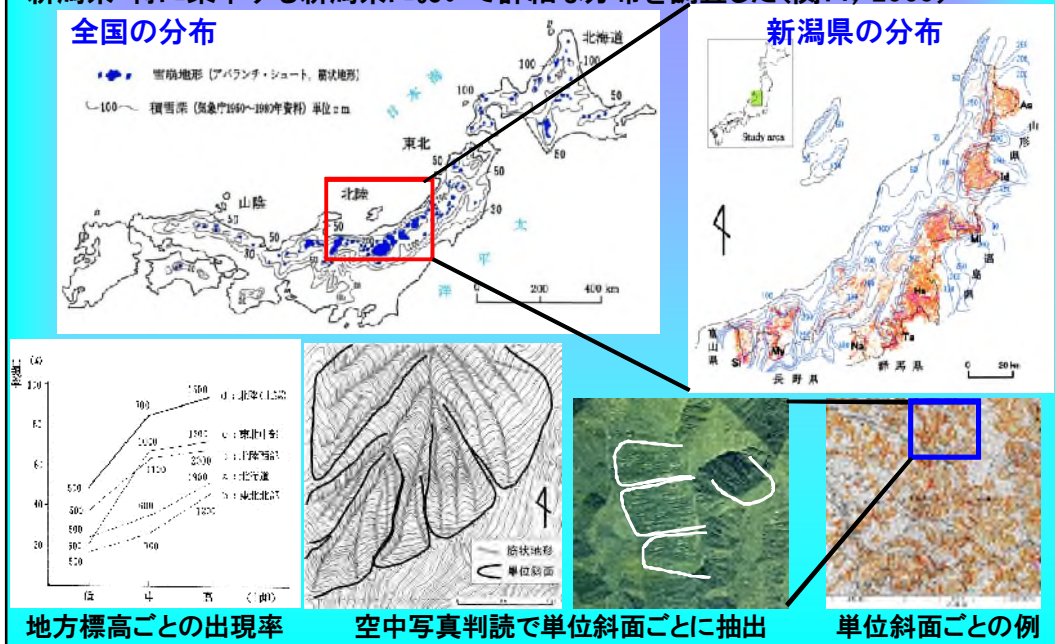
積雪は稜線直下から徐々に動き、次第に急速となって雪崩に発展する。
斜面上部では大きい雪塊だが、次第に小片化、岩片も巻き込んで流下する。

雪崩の発生状況



筋状地形の分布(全国と新潟県)

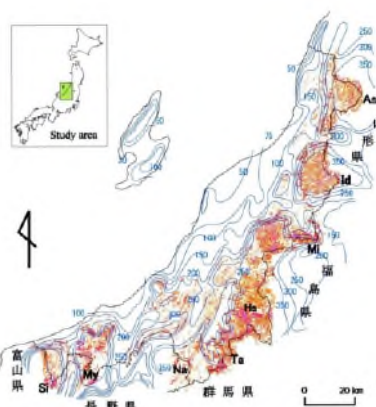
全国：S56年の豪雪後、全国的に筋状地形の調査を行い分布を明らかにした。
新潟県：特に集中する新潟県において詳細な分布を調査した(関口, 2008)



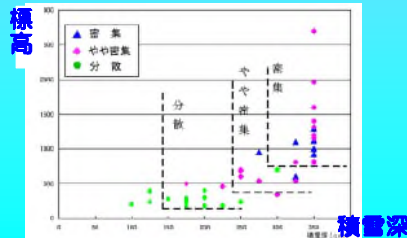
形成要因(積雪深・標高・比高・地質)

筋状地形は越後山脈などの山地に集中、丘陵地で分散、山地は堅固な地質。

筋状地形と積雪深の分布



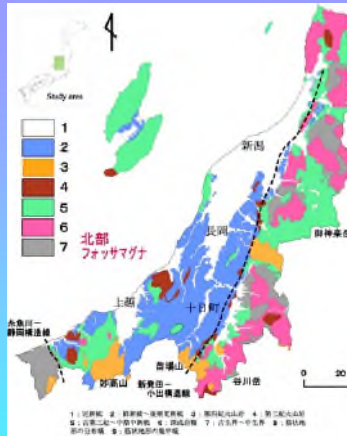
積雪
深:100
~
150cm
以上
で出現



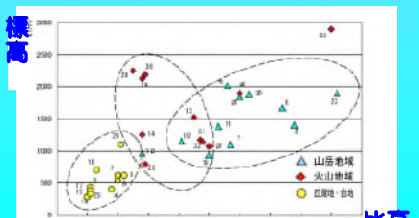
積雪深

地質

山地は古生層、花崗岩、古第三紀～中新世層、丘陵は第三紀層



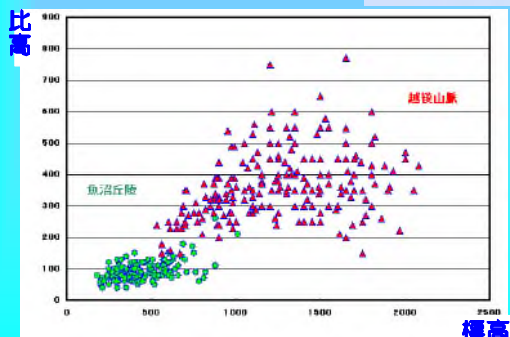
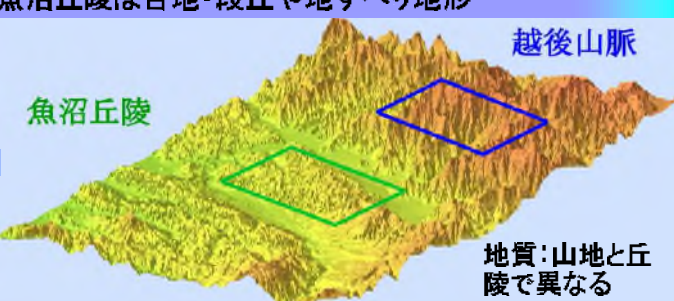
標高:
200
m以
上で
出現



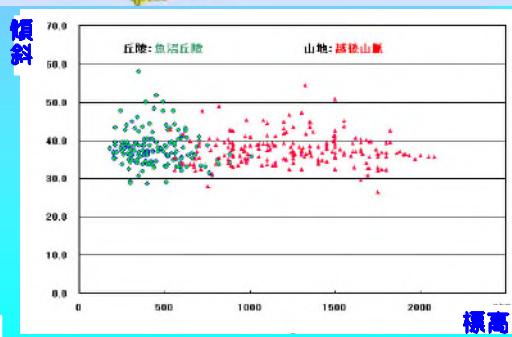
比高

筋状地形を山地と丘陵地で比較

- ① 越後山脈は急峻な山地、魚沼丘陵は台地・段丘や地すべり地形
- ② 地質は越後山脈が堅固な深成岩、魚沼丘陵は軟岩の第三紀層
- ③ 標高(積雪深)や比高、地質は異なるが傾斜は同傾向
- ④ 上記の結果から、傾斜が筋状地形の主要因であることが判明



比高と標高:山地と丘陵で異なる

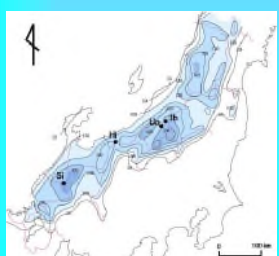


傾斜:標高は異なるが傾斜は同傾向

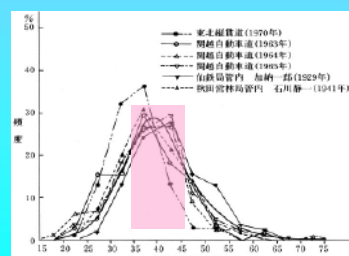
筋状地形形成要因のまとめ

①積雪深 ②傾斜(比高) ③露岩or草地・低灌木の植生 ④急傾斜の地形が要因

要因	重要度	雪崩発生斜面と雪崩地形の特徴・要因の重要度
積雪深	◎	最も重要な要因。1m～1.5m以上の積雪深で雪崩地形が出現、積雪深に比例して雪崩地形が増加。
標高	○	標高の增加に比例し積雪深が増加する。そのため、標高に比例して雪崩地形が増加、密集する。
発生位置	△	雪崩は主に稜線直下から発生し、雪崩地形も稜線直下で多く出現する。
平面形	△	稜線直下で梢円、筋錐、しゃもじ形、斜面中部から下部にかけて雨錐状に細く幅が狭い。
比高・斜面長	◎	斜面の比高（高さ）や斜面長が大きいほど雪崩による侵食力が大きく地形が明瞭となる。
縦断形	△	直線ないしやや深いV型の斜面形。雪崩による侵食で斜面形は非常に滑らか。
横断形	△	斜面上部は浅いV型、中部から下部は幅や深さが数mの半円形～U字形。
傾斜	◎	雪崩発生の主要因、傾斜35～55°の斜面で雪崩は発生し、雪崩発生斜面もほぼ同傾斜。
地質	○	中・古生層、第三紀火山岩で広範囲にみられ、第四紀層ではやや少ない。
植生	◎	高木林ではほとんど雪崩は発生せず、露岩地、低灌木や草地で雪崩地形は多く出現。
方位	△	雪崩地形が密集する区域では方位に無関係に出現。南北方向の山稜では東側斜面に偏って分布。
急傾斜の地形	◎	雪崩地形の斜面で、山地斜面、地すべり、段丘、火口・カルデラ、氷河・谷などの急傾斜地。



積雪深



傾斜(高速道路調査会, 1975)



急傾斜の地形

急傾斜の地形 ①段丘崖

十日町市

魚沼市

筋状地形の分布・十日町図幅

発達過程・イメージ

海域・河川

(a) 海底・河川での土砂の堆積

→ 河川・谷の発達

(c) 谷の形成・発達 (平面図)

台地・段丘

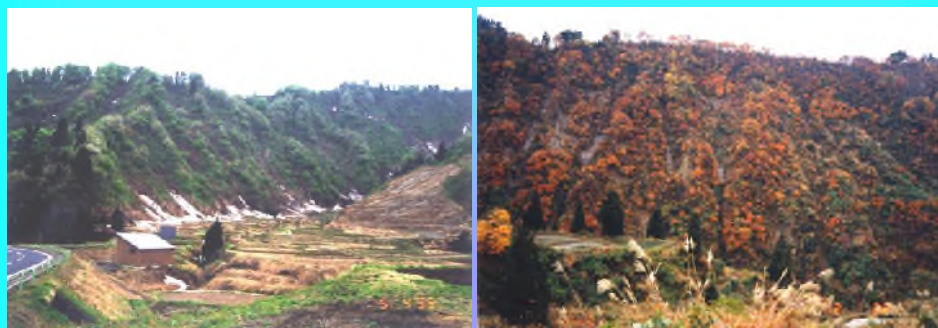
(b) 隆起による台地・段丘の形成

降雪・積雪

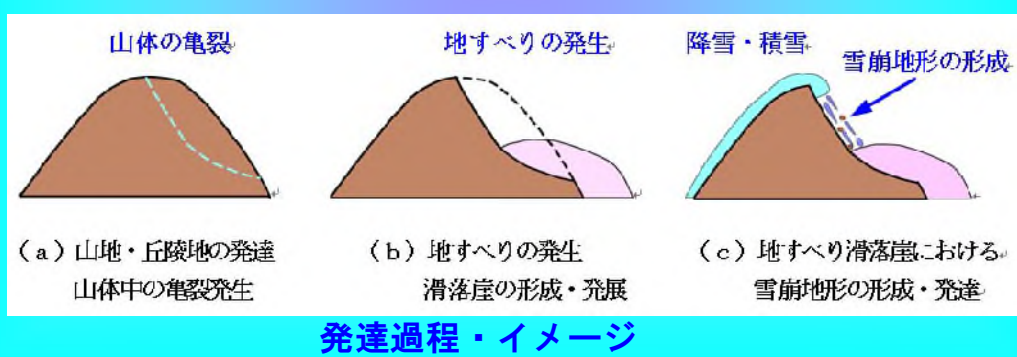
(d) 谷の形成・発達 (断面図)

急傾斜の地形 ②地すべり滑落崖

南魚沼市



十日町市



急傾斜の地形 ③山地斜面

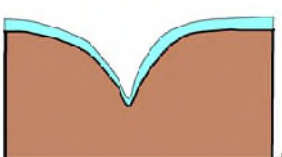
奥只見湖



湯沢町・正面山

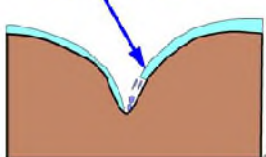


降雪・積雪



（a）山地・谷の発達

雪崩・グライド



（b）山地・谷のさらなる発達

雪崩地形の形成

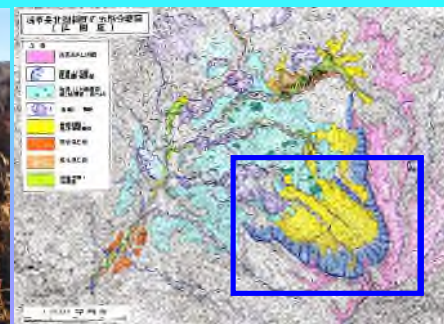


（c）山地への成長
雪崩地形の形成・発達

発達過程・イメージ

急傾斜の地形 ④カルデラ壁

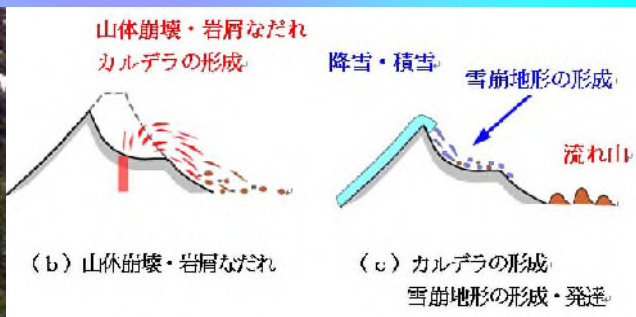
新潟県浅草岳



浅草岳地形分類図



浅草岳ブロック雪崩（2000）



発達過程・イメージ

急傾斜の地形 ⑤氷河カール・U字谷

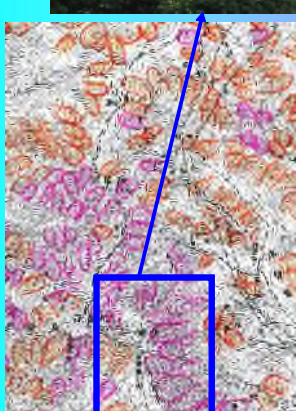
群馬県谷川岳



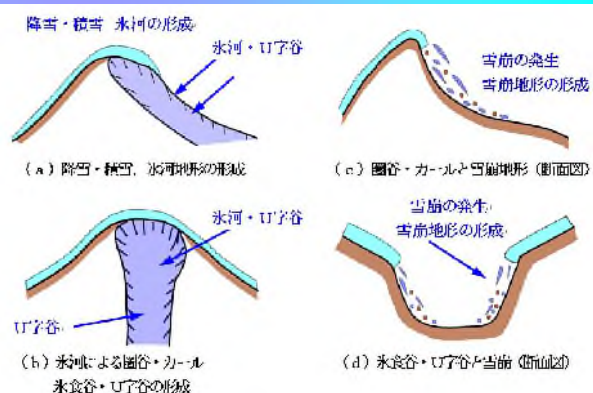
北海道幌尻岳

2006年旧
『日高山脈館』ポスターより

筋状地形の分布・越後湯沢図幅

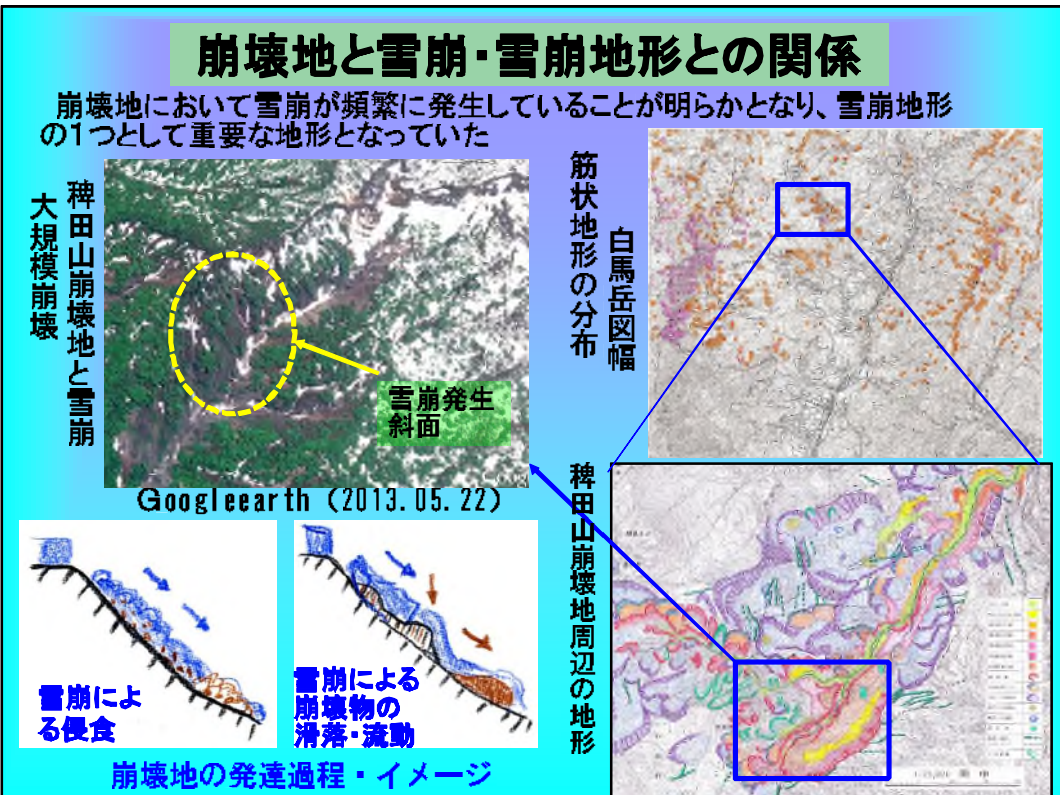


発達過程・イメージ



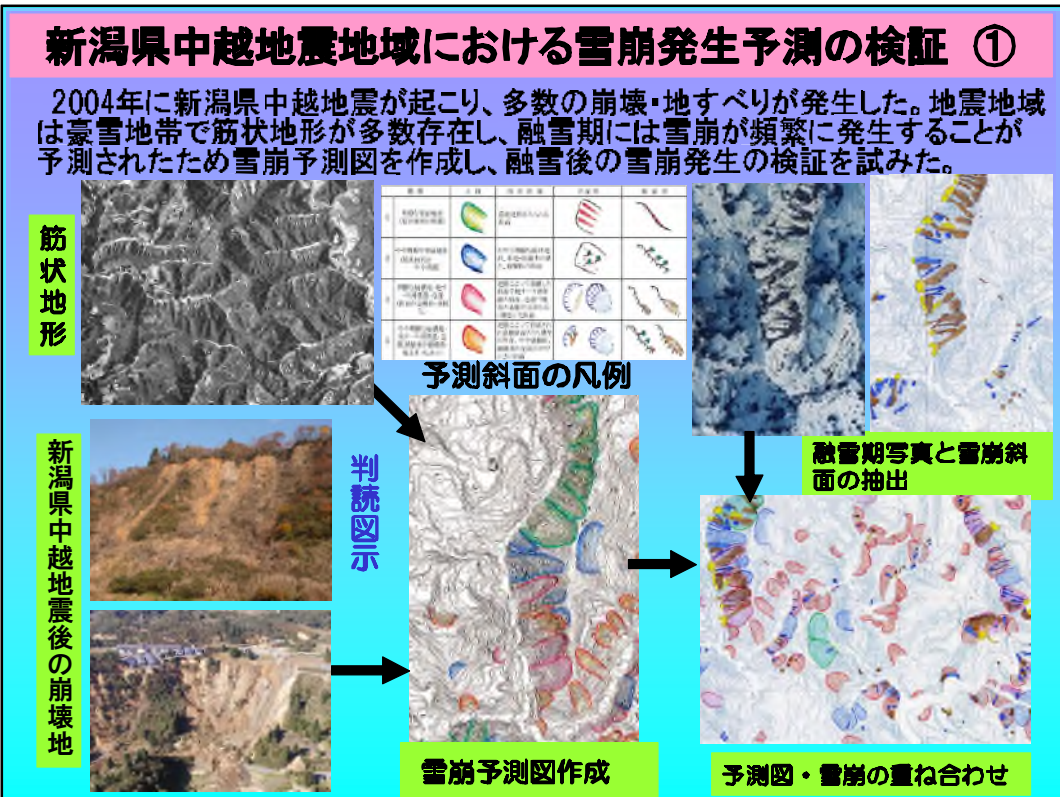
崩壊地と雪崩・雪崩地形との関係

崩壊地において雪崩が頻繁に発生していることが明らかとなり、雪崩地形の1つとして重要な地形となっていた



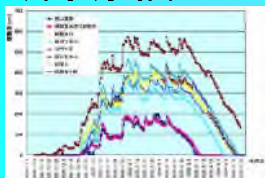
新潟県中越地震地域における雪崩発生予測の検証 ①

2004年に新潟県中越地震が起こり、多数の崩壊・地すべりが発生した。地震地域は豪雪地帯で筋状地形が多数存在し、融雪期には雪崩が頻繁に発生することが予測されたため雪崩予測図を作成し、融雪後の雪崩発生の検証を試みた。



新潟県中越地震地域における雪崩発生予測の検証 ②

明瞭な筋状地形で94%で雪崩が発生、土砂移動を伴う雪崩は74%で発生しており、予測斜面において筋状地形や崩壊地での雪崩発生が確認された。



60~90%で雪崩発生
斜面と予測図との的中

予測斜面の種類	雪崩発生を予測した斜面数	雪崩発生斜面数	非雪崩発生斜面数	雪崩発生率(%)
明瞭な筋状地形	69	65	4	94.2
やや明瞭な筋状地形	154	71	83	46.4
明瞭な崩壊斜面	143	97	46	67.8
やや明瞭な崩壊斜面	280	149	131	53.2
予測斜面全体	646	382	264	59.1

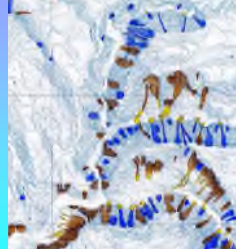
分析

防災
科学
技術
研究
所
2005年撮影



融雪期空中写真

判読図化



雪崩発生斜面判読

重ね合わせ



予測図・雪崩の重ね合わせ

表層雪崩と筋状地形との関係

1986年1月新潟県能生町樋口雪崩(死者13名)、1989年2月新潟県清津峡温泉の雪崩(死者5名)など表層雪崩が発生し、雪崩地形との関係を調査した。



能生町樋口雪崩（新潟県、1986）



権現岳（1989年オリス撮影）



清津峡温泉雪崩（雪崩対策協議会、1992）



樋口雪崩地図
の分類図

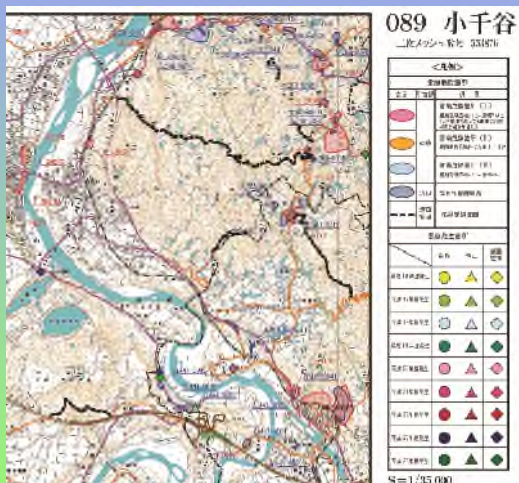
筋状地形やアバランチシュートで表層雪崩が発生していた

微地形分類図
清津峡温泉雪崩



日本における雪崩対策（雪崩危険斜面・雪崩ハザードマップ）

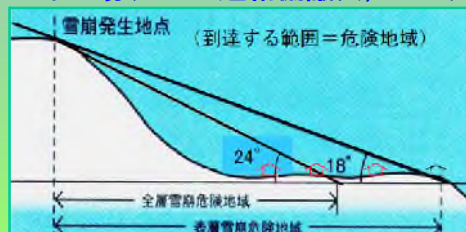
雪崩危険斜面の予測図（ハザードマップ）、植生、傾斜、到達範囲を元に自治体やスキー場で作成されている。



雪崩危険斜面(新潟県, 2014)
<http://www.sabou-niigata.jp/nadarekikenkasyo/#zoomahelp>



スキー場(ニセコ連絡協議会, 2001)



雪崩の見通し角(<http://www.mlit.go.jp/common/001018269.pdf>)

雪崩災害と雪崩地形 – 詳細な雪崩地形を目指して –

災害を引き起こす雪崩は、全層雪崩よりも表層雪崩がほとんどであった。表層雪崩発生斜面にはアバランチシート、明瞭・不明瞭な筋状地形、露岩・崩壊地、草地・低灌木の植生がみられた。そのため、これらの地形を詳細に分類することで雪崩対策や雪崩防災に役立つと考えられる。

発生年月日	災害雪崩の名称	雪崩種別	被災の場所	死者数	雪崩地形: 植生			
					アハラバ シート	畠状地形 (明瞭)	畠状地形 (不明瞭)	草地- 備 溝へ 雪岩- 崩 壊地
大正7.1.9(1918)	三俣雪崩(新潟県)	表層	集落	158人			●	●
大正7.1.20(1918)	大島誠山(山形県)	表層	作業員宿舎	154人			●	●
昭和2.2.8(1927)	能生町西平(新潟県)	表層	集落	11人	●	●		
昭和13.12.27(1938)	黒部芦合谷(富山県)	表層	作業員宿舎	80人	●	●		
昭和36.2.16(1961)	青倉雪崩(長野県)	混合	集落	11人				●
昭和45.3.6(1970)	六日町城内降平沢(新潟県)	表層	山麓				●	●
昭和66.1.7(1981)	56余呑大倉雪崩(新潟県)	表層	集落	8人			●	●
昭和69.2.9(1984)	津津峠温泉雪崩(新潟県)	表層	集落	5人			●	●
昭和69.1.26(1986)	能生町側口(新潟県)	表層	集落	10人	●	●		
平成9.1.28(1998)	ニセコアンヌプリ(北海道)	表層	スキーリゾート	1人			●	●
平成11.12.28(2005)	H18年土壁(新潟県)	表層	道端	1人		●	●	
平成12.2.10(2006)	H18秋山岬(新潟県・長野県)	表層	集落				●	●
平成25.11.23(2013)	立山真砂岳スキー雪崩(富山県)	表層	山岳	7人				●
平成26.2.14(2014)	H26月豪雪- 早川町(山梨県)	混合	道端					●

詳細な雪崩地形の試作①

- ①雪崩危険斜面は集落、公共施設などを対象に作成し、雪崩の到達区域までを表している。
- ②筋状地形の分布（関口, 2008）は、雪崩の発生区域を表している。
- ③雪崩地形の詳細版では筋状地形、雪崩斜面に特有の低灌木の植生を判読し、詳細な分布図の作成を試みた。

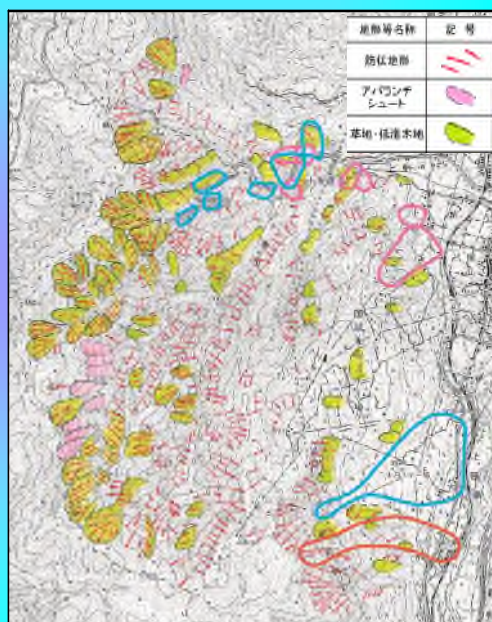


雪崩危険斜面
(新潟県, 2014)



筋状地形の分布
(関口, 2008)

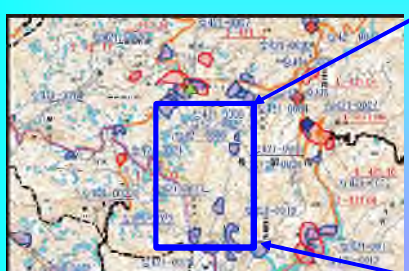
南魚沼市スキー場周辺



試案 雪崩地形の詳細区分

詳細な雪崩地形の試作②

長岡市(旧山古志村)



雪崩危険斜面(新潟県2014)



融雪期の雪崩
防災科学技術研究所

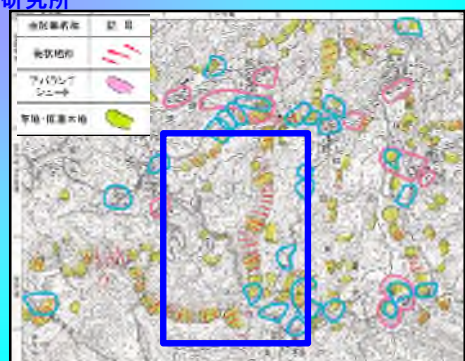


筋状地形の分布(関口2008)

1. 丘陵地で地すべりが多数分布
2. 雪崩危険斜面は道路沿いに多い
3. 筋状地形は地すべり滑落崖に集中
4. 詳細な雪崩地形の区分で、地すべり滑落崖で雪崩地形が多数形成されていた。

詳細な雪崩地形の分類により、南魚沼市スキー場周辺、旧山古志村の丘陵地における地すべり地において雪崩地形の分布が明瞭となった。

雪崩地形の詳細区分



2. DEM・三次元・可視化・地形表現

50m、10m、5mDEMによる段彩図・陰影図などの地形表現、立体視による地形判読を行った。地形分類は調査地域の地形の形態的な特徴や、各種の地形の把握に役立つ。これまで携わった事例について紹介します。

1. DEM・三次元・可視化

- ① 50mDEM
- ② 10mDEM、航空レーザ測量のDEM
- ③ DEM + 等高線・地形・地質・植生・土地利用・地形図等

2. 地形表現（地形分類図の表現）

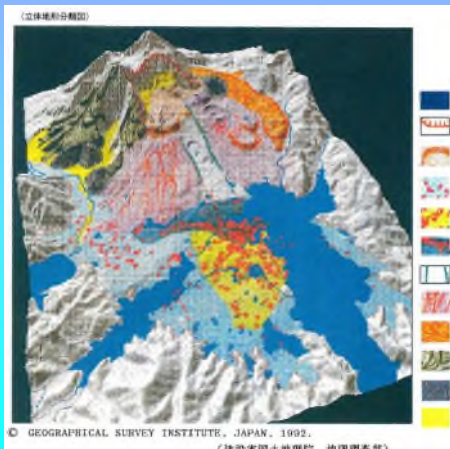
- ① 地形の分類 火山、地すべり、台地、低地、微地形等
- ② 色彩・記号表現 火口・溶岩流・火碎流、岩屑なだれ、地すべり滑落崖、段丘、扇状地・自然堤防、低地等
- ③ その他の表現 平面・断面・立体・陰影・等高線等

DEM・三次元・可視化① 火山

福島県の磐梯山は、1888年に水蒸気爆発で岩屑なだれが発生し北麓の村落を埋没、桧原湖、五色沼などの多数の湖沼が生じた。（防災科研、岩屑流発生場に関する研究、1995）

福島県磐梯火山の地形分類図を作成
50mDEMと地形分類図を重ね立体的に表現

磐梯火山
開口ほか
立体地
形分類
図
（1993年）



桧原湖とカルデラ



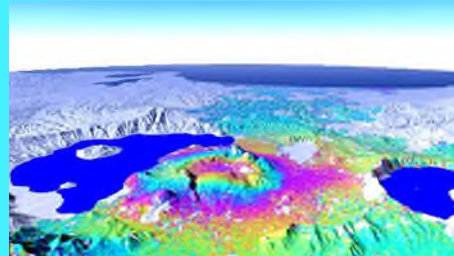
磐梯山噴火記念館の提供による

磐梯火山の地形分類図

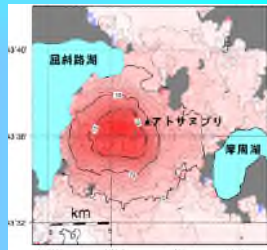
DEM・三次元・可視化 火山②(干渉SAR)

北海道屈斜路湖・アトサヌプリ周辺では1993年～1995年にかけて衛星による干渉SAR解析により隆起や沈降の地殻変動が認められた(藤原ほか, 2005)。

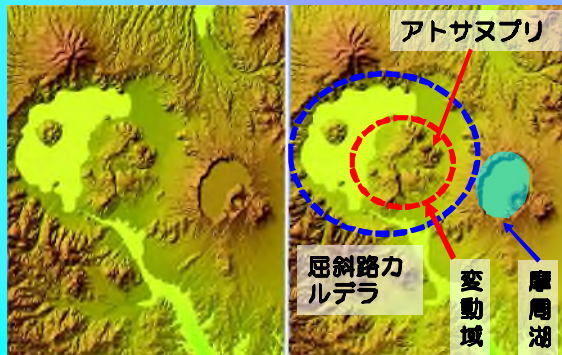
地殻変動は屈斜路カルデラのほぼ中心



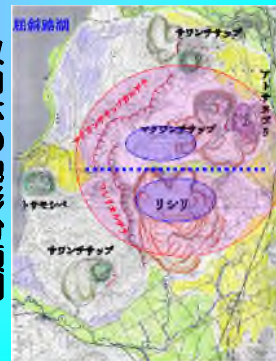
地殻変動量は隆起と沈降で約20cm変化



画像の立体視判読
50mDEMによる

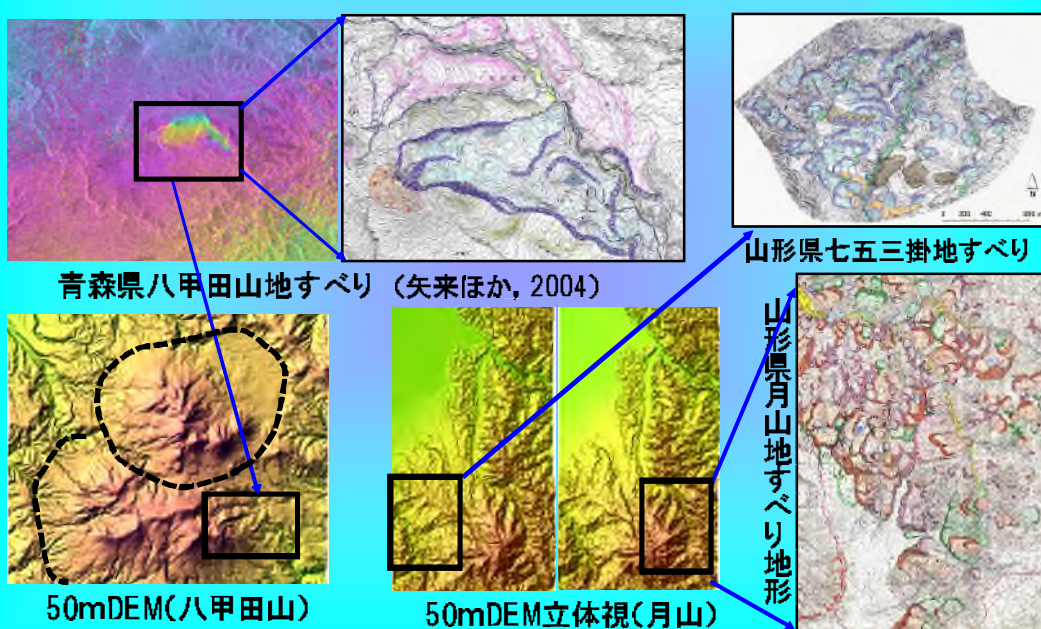


火山体の地形分類図



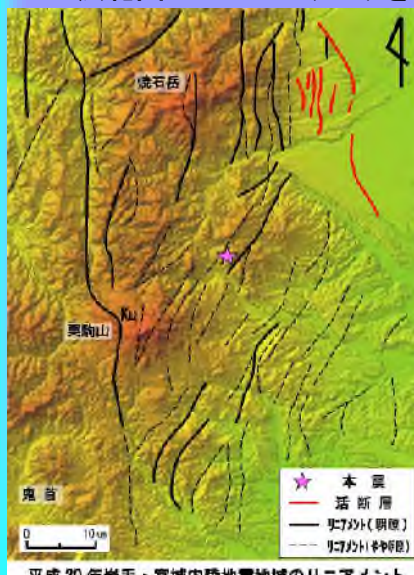
DEM・三次元・可視化③ 地すべり

衛星による干渉SAR解析による変位から地すべりの範囲を認定するために50mDEMや空中写真を併用して調査した。

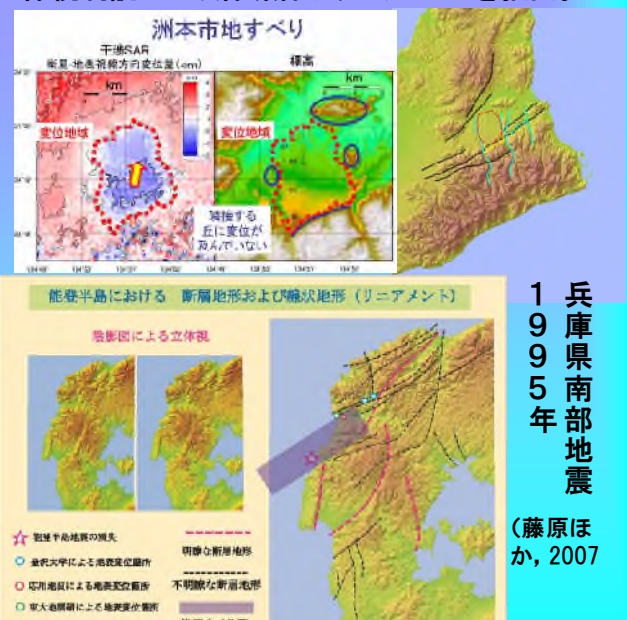


DEM・三次元・可視化④ 地震

広範囲の50mDEMデータを立体視判読により活断層やリニアメントを抽出。



平成 20 年岩手・宮城内陸地震
(木佐貴ほか, 2008)



兵庫県南部地震
1995年
(藤原ほか, 2007)

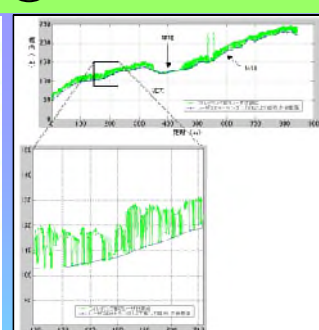
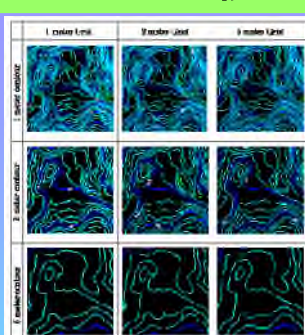
2008年岩手・宮城内陸地震
(木佐貴ほか, 2008)

2007年能登半島地震(北原ほか, 2007)

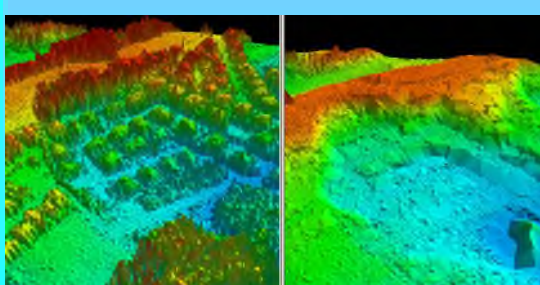
DEM・三次元・可視化⑤ 航空レーザ測量DEM

- ・名称
- ・安全性
- ・計測精度
- ・グリッド・等高線間隔

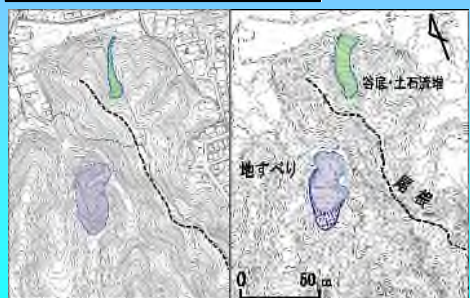
DEMの間隔
1,2,5m
等高線の間隔
1,2,5m



樹高
シダ類 : 1
~2m
広葉樹 シイ
・タブ 15~
20m
竹林・杉林
15~20m

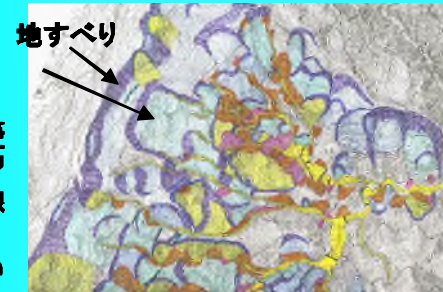


DSM フィルタリング前 DEM フィルタリング後

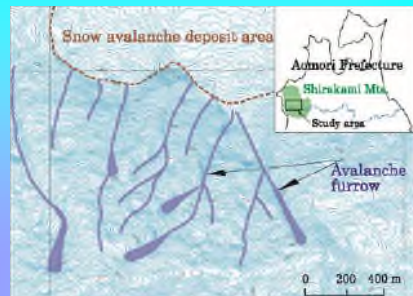


八王子地区の都市 航空レーザ等高線図
計画図:1/2,500

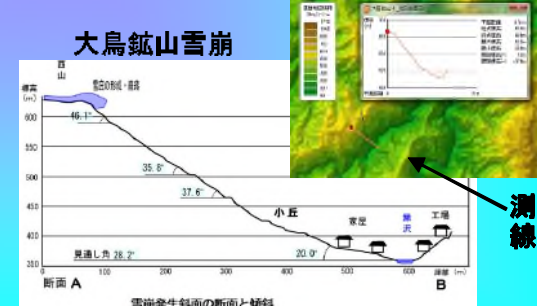
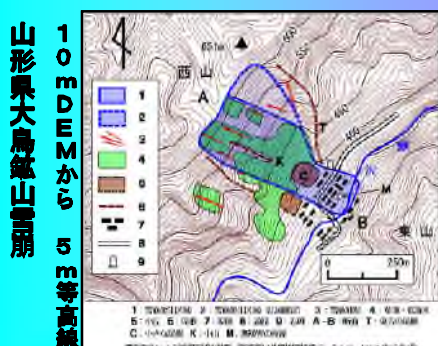
DEM・三次元・可視化⑥ 航空レーザ測量②



静岡県口坂本崩壊地 危険 やや危険 安定



白神山地 地すべり滑落崖の雪崩地形

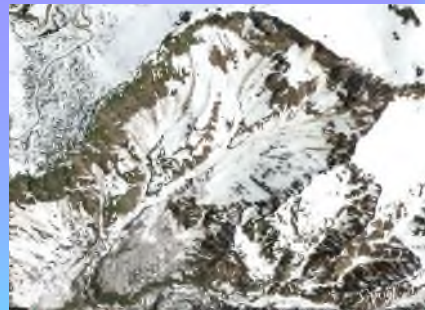


断面図作成 土石流・雪崩対策に有効

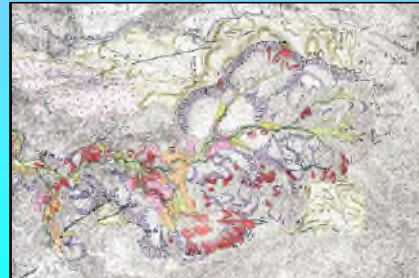
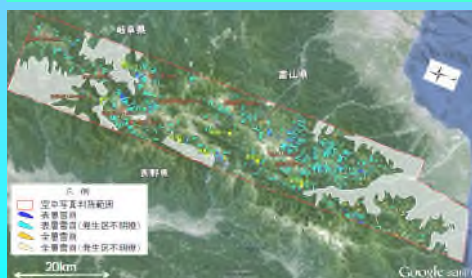
DEM・三次元・可視化⑦ Google earth



立山カルデラで発生している雪崩の判読結果
(寒色:表層雪崩、暖色:全層雪崩)



Googleearth (2014.05.28)

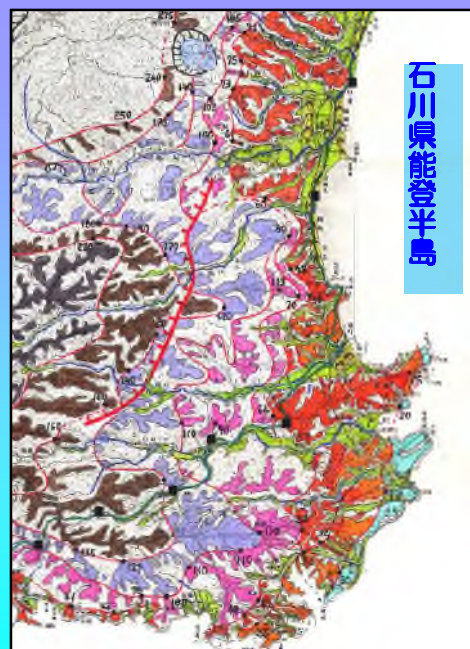
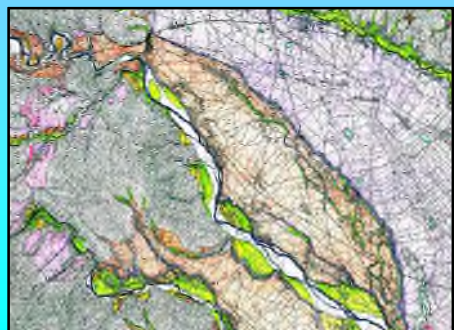


地形分類による地形表現 大規模崩壊・段丘

岩手県八幡平地すべり



神奈川県相模原台地



太田・平川（1979）を編集

地形分類による地形表現 地すべり



山形県月山周辺

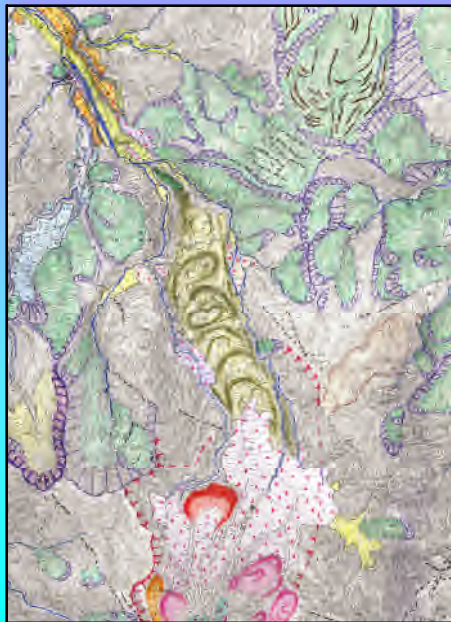


月山地すべり

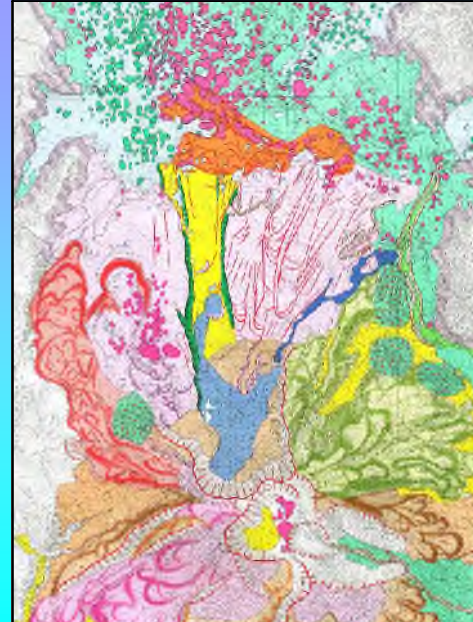
地形分類による地形表現 火山①

地表面の起伏を元に地形を区分する地形分類図の作成によって様々な地形の形態的な特徴、地形や地質の成り立ちを調査する一助になると思われる

新潟県新潟焼山

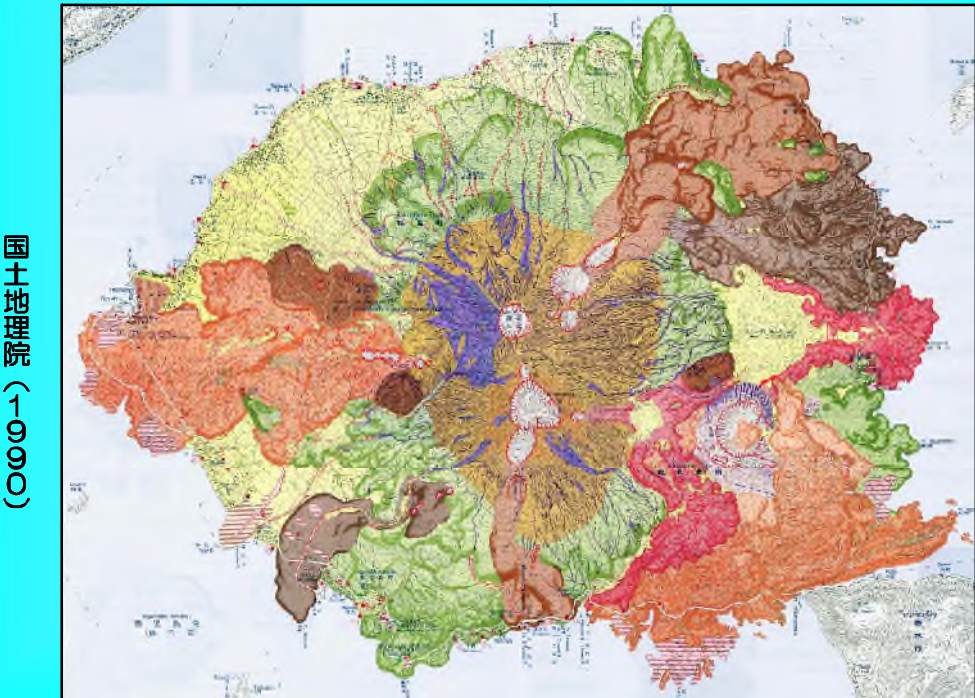


福島県磐梯山



地形分類による地形表現 火山②

火山土地条件図「桜島」



まとめと今後の課題

まとめ

- 筋状地形と全層雪崩は密接な関係があることがわかった
- 傾斜は35~45°で基盤が露出し、周囲は草地や低灌木の植生
- 積雪深は100~150cm、標高は200m程度から出現
- 分布は日本海側の山地や丘陵地に分布していた
- 筋状地形を指標として雪崩発生斜面の抽出に有効と考えられる

今後の課題

- 脊梁山脈の太平洋側や西南日本での雪崩地形の分布限界の調査
- 筋状地形・アバランチシュートの地形形成過程・メカニズムの解明。崩壊地や、地すべり滑落崖における初生的な地形形成過程の調査
- 古生層・花崗岩の硬岩と、第三紀層の軟岩の違いによる地形形態の比較
- 氷河・周氷河の気候と関連した地形形成過程の解明
- 大量の積雪、融雪期の急激な気温上昇などの気象要因との関係解明

DEM・三次元・可視化・地形表現

- 空中写真、地形分類、地殻変動、衛星データと組み合わせたDEMが有効
- 火山や断層・リニアメントなど広域の地形ではDEMの立体視が有効
- 航空レーザ測量によるDEMは土石流や雪崩などの砂防計画に役立ち、またDEMから作成した等高線図は微地形分類に有効と考えられる

参考文献

- 秋山一弥・関口辰夫・池田慎二（2015）2014年2月の大雪によって山梨県の早川周辺で発生した雪崩の特徴。雪氷, 77巻, pp.47-57.
- 秋山一弥・関口辰夫（2014）Google earthを用いた雪崩の広域判読と特徴について、寒地技術論文・報告集, Vol. 30, pp. 24-29.
- 藤原智・村上亮・西村卓也・飛田幹男・矢来博司（2005）干渉SAR解析によって検出された屈斜路湖東岸の火山性地殻変動、日本測地学会第104回講演会。
- 木佐貴順一・関口辰夫・坂井尚登・野口高弘・田崎昭男（2008）平成20年（2008年）岩手・宮城内陸地震に対する地理調査部の取り組み、国土地理院時報, No. 117, 9pp. 49-58.
- 北原敏夫・木佐貴順一・関口辰夫（2007）能登半島地震における電子国土版災害状況図の作成、日本地図感覚科学連合2007年大会。
- 宮崎健三（1938）雪崩の地理学的考察、地理学評論, 14, pp. 731-744.
- 日本雪氷学会（1998）日本雪氷学会雪崩の分類、雪氷, 60, pp.437-444.
- 太田陽子・平川一臣（1979）能登半島の海成段丘とその変形、地理学評論, 52, pp. 169-189.
- 下川和夫（1980）只見川上流域の雪崩地形、地理学評論, 53, pp. 171-188.
- 杉山正憲・関口辰夫・保谷忠男（1987）地形要素と雪崩発生度の解明に関する研究、国土地理院, 昭和62年度地理調査部研究報告, pp. 50-59.
- 関口辰夫・岩橋純子・大谷知生（1993）磐梯山1888年崩壊堆積物の地形計測、国土地理院時報, No. 77, pp. 67-73.
- 関口辰夫・岩橋純子・大谷知生（1995）磐梯山1888年噴火による地形形態、「磐梯火山」、防災科学技術研究所、岩屑流発生場に関する研究分科会, pp. 127-134.
- 関口辰夫（1994）全層雪崩発生斜面における筋状地形の特徴、雪氷, 56, pp. 145-157.
- 関口辰夫（1995）月山北部立谷沢流域の地すべり地形、日本地すべり学会誌, Vol. 40-1, pp. 63-67.
- 関口辰夫・藤原智・村上亮・西村卓也・飛田幹男・矢来博司・大井信三（2006）：干渉SARによる地殻変動の検出と地形、2006年日本地理学会春季学術大会要旨集, No. 69, 224.
- 関口辰夫（2008）：空中写真を活用した筋状地形の研究—全層雪崩と関連してー、新潟大学博士学位論文, 97p. 新潟大学学術リポジトリ。
- 矢来博司・大井信三・関口辰夫・飛田幹男・藤原智（2004）：干渉SAR解析による火山地域における地すべり変位の検出、日本地すべり学会第43回研究発表会講演集。

砂防関連 DM データを用いた 3 次元モデリングと利用例

関 家 史 郎*

3D modeling and Example of the utility using Digital Mapping Data for Controlling Soil Erosion

Shiro Sekiya*

*五大開発株式会社 GODAI KAIHATSU Corporation

1-35,Kuroda,Kanazawa-city,Ishikawa 921-8051 JAPAN. E-mail; sekiya@godai.co.jp

キーワード : 3 次元モデリング, シミュレーション

Key words : 3D Modeling, Simulation

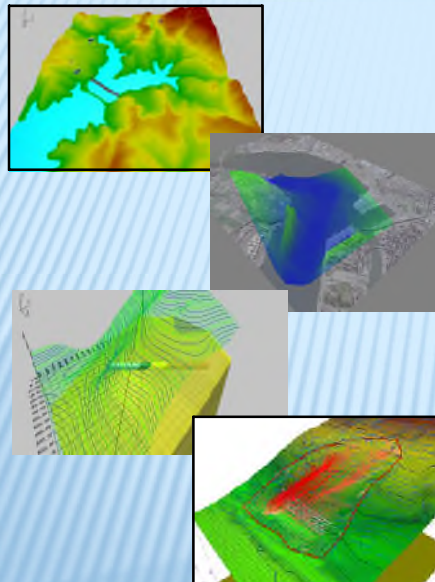
砂防関連DMデータを用いた 3次元モデリングと利用例

日本情報地質学会シンポジウム 2015

平成27年12月9日（水）

五大開発株式会社

3次元は、特殊な技術！？

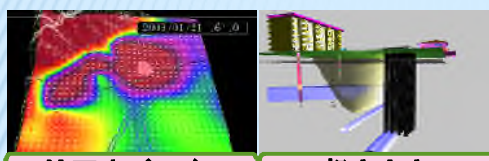


ひと昔前、3次元技術は非常に「高価」で、「手間が掛かる」、「誰でもできない」というイメージがありました。

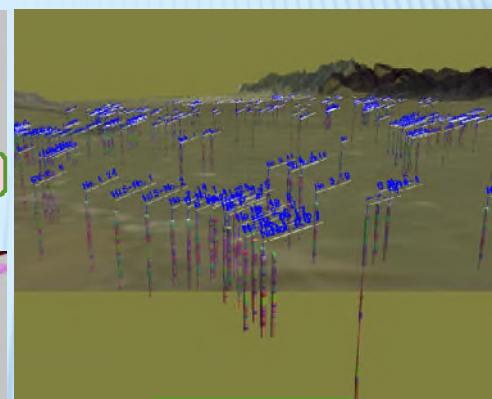
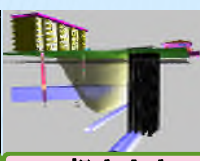
しかし、今は「誰でも」、「簡単に」、手に入れることができる時代となりました。

地盤関連の基礎データとなる、数値標高、ボーリング柱状図は「国土地理院」、「KUNIJBAN」などで公開されており、これらを使うことで、非常に簡単に3次元地盤データをつくることができます。

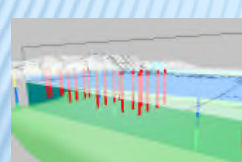
3次元地盤モデルの例



地下水 (4D)



金沢平野



橋梁基礎



山岳トンネル

★キーワード：CIM、トンネル、基礎工、ダム、地すべり、

地盤改良、河川、3次元解析 など

★3次元地盤モデルは、プレゼン資料から実務利用へ

3次元地盤モデル作成のメリット



構築物のイメージの明確化、地盤リスクの共有化、解析、数量の自動算出

設計変更の効率化
細部の設計
施工計画の最適化
安全管理
情報化施工

リアルタイム変位・変状管理
管理の効率化

★3次元モデルは、建設生産システムの効率化、品質向上を図れると期待されている。

一方・・・

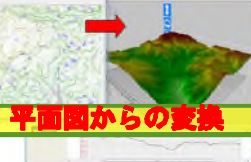
★測量、調査・設計・施工を一連に完結できるデータ形式の開発は、まだまだ先（これから技術的進歩の可能性大）。

★元データの精度と品質（原本性、信頼度）、その利用と管理・制度設計、普及、情報公開、再活用、人材育成が必要

★3次元地盤モデルの作成は、メリットが大きいが、現状では、責任の所在が不明確であるという問題がある。

3次元地盤モデル作成におけるデータなど

データ名	データ形式	備考
地形データ1 (標高データ読み込み)	XML、SIMA、csv、TIN、DM、Kih、DEM、txt	国土地理院(5m、10mメッシュデータ) 日本スペースイメージング、NTTデータ等 UAV、画像変換、レーザスキャナ
地形データ2 (平面図から変換)	画像データのベクター化、dxf、dwgからの標高抽出	3Ddxfへの変換
ボーリング柱状図	XML、txt	KUNIJIBAN、各地盤情報サービス
地質断面図	txt、dxf	地層境界面の作成に利用
地質境界面作成	Bスプライン、ドロネー分割、BS-Horizon	※五大開発「MakeJiban」の例



平面図からの変換

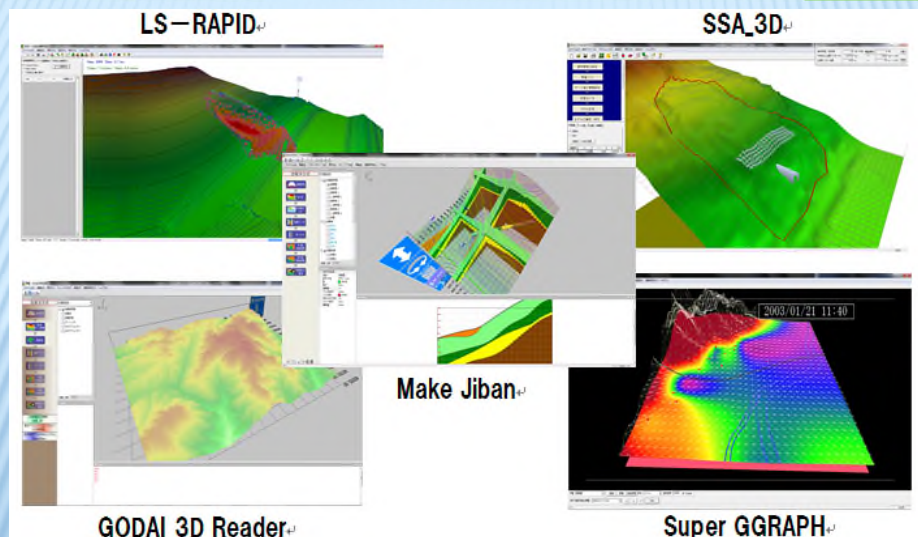


DMデータ入力

XMLデータ読み込み

生成された地質境界面の利用 → 解析？施工・維持管理？数量算出
→ <出力形式> TIN、ソリッド、DEM・・・

3次元地盤モデルを利用したシステム



今回は、砂防基礎調査DMデータを利用した、土砂崩壊シミュレーションの解析事例および、提案を紹介します。

デモンストレーション

広島土砂災害と土砂災害防止法の改正

・広島土砂災害の発生



2014年（平成26年）
8月20日、豪雨により
広島市安佐南区・安佐北区などで土砂災害が
発生。死者74名。

・明らかになったこと

- ・土砂災害警戒区域等の指定だけでなく基礎調査すら完了していない地域が多く存在し、住民に土砂災害の危険性が十分に伝わっていない。
- ・土砂災害警戒情報が、直接的な避難勧告等の基準にほとんどなっていない。
- ・避難場所や避難経路が危険な区域内に存在するなど、土砂災害からの避難体制が不十分な場合がある。

・法律の改正

改正案の概要

□土砂災害の危険性のある区域の明示

- ・基礎調査の結果の公表
- ・基礎調査が適切に行われていない場合は正要求

□円滑な避難勧告等の発令に資する情報の提供

- ・土砂災害警戒情報の市町村への通知及び一般への周知
- ・避難勧告等の円滑な実施

□避難体制の充実・強化

- ・市町村地域防災計画への避難場所、避難経路等の明示

□面による援助

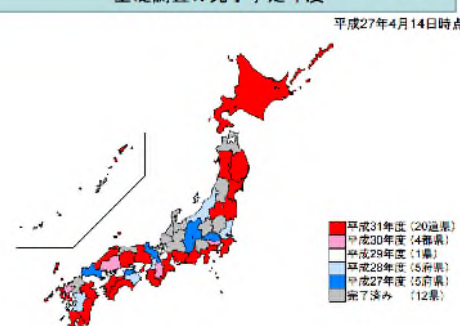
- ・国土交通大臣による助言、情報の提供等の援助に係る努力義務

昨年8月に発生した広島市の土砂災害を受け、11月に土砂災害防止法の改正。

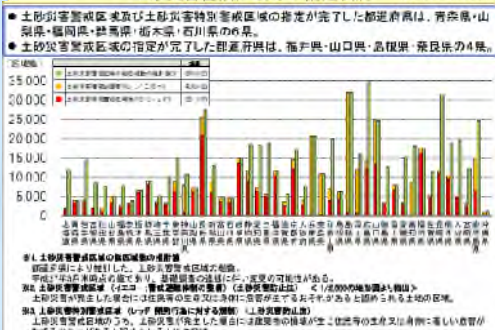
今後、本法律のもとで土砂災害警戒区域の指定を促進していくとしていますが、土砂災害警戒区域の指定が完了するまでには、一定の時間が必要。

砂防基礎調査実施状況

基礎調査の完了予定年度



土砂災害警戒区域等の指定状況



★土砂災害警戒区域及び土砂災害特別警戒区域の指定が完了した都道府県は、青森県・山梨県・福岡県・群馬県・栃木県・石川県の6県。

★土砂災害警戒区域の指定が完了した都道府県は、福井県・山口県・島根県・奈良県の4県。

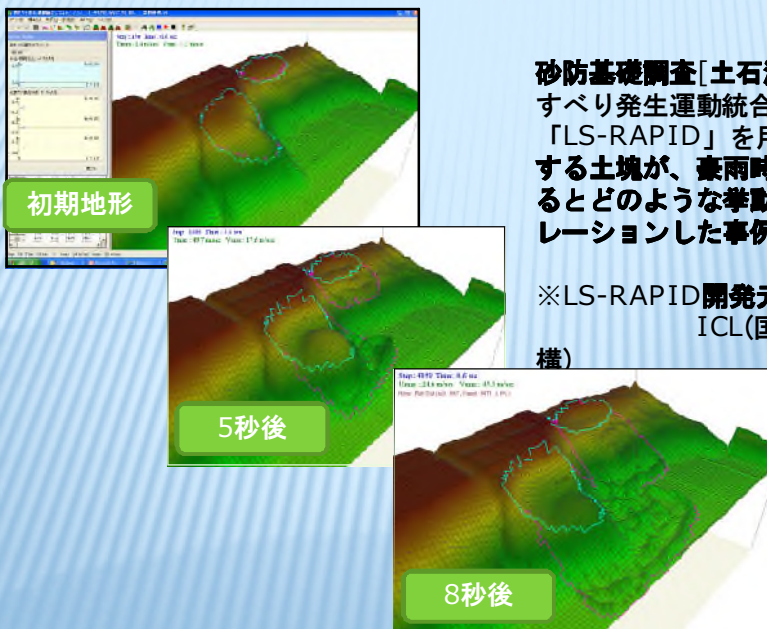
国土交通省土砂災害防止法から引用

<http://www.mlit.go.jp/river/sabo/linkspou.htm>

今後の方針と課題

- ハード対策には予算と時間が必要(緊急対策としては難しい)
- ソフト対策は必ず必要
- 広島災害以来、気象庁は避難勧告を多発している
- 一方で住民は自分が逃げる対象とは思っていない
- 認知方法の問題、危険度を周知させる必要性がある
- 対策、認知、何をするにも危険箇所の優先順位が必要となる。
- 砂防基礎調査データは表面地形のみで抽出したものである。
- 広島災害で見られるように、地質は危険度に関係が深い。

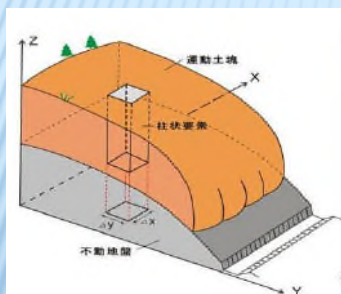
砂防関連DMデータを用いた3次元モデリングと利用例



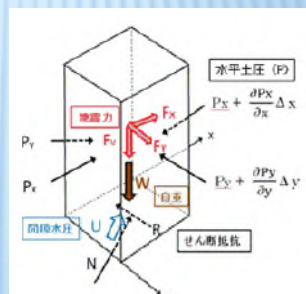
砂防関連DMデータを用いた3次元モデリングと利用例

「LS-RAPID」の原理

斜面土塊の中に柱状要素を考え、その要素にかかる土塊の自重（W）、水平・鉛直地震力、水平土圧、要素底面にかかるせん断抵抗（間隙水圧の効果を含む）の合力を水平面に投影し、水平面上の力の釣り合いが、質量（m）の土塊を加速度（a）で加速させる式（1）および柱状要素に流入する土量分のみ土塊の高さが変化するとの仮定（2）から、土塊の流量（M,N）と高さ（h）の変化を解くモデルです。



全体概要図



構成要素図

理論式は、国際斜面災害研究機構（ICL）佐々教授の理論式を使用

砂防関連DMデータを用いた3次元モデリングと利用例

データ名	データ形式	備考
地形データ1 (標高データ)	DM, Kih	1/2500、2m以内の格子間隔
地質	なし	日本シームレス地質図を参照
地表画像	tif	ORTHOデータを参照

地形モデル

- DMデータの読み込み
- 地表面作成、コントロールポイントの出力

解析パラメータ入力

- LS-RAPIDでコントロールポイントの入力
- パラメータの入力、不安定領域の土砂設定

解析・調整

- 解析の実行
- 解析結果とパラメータを調整（感度解析）

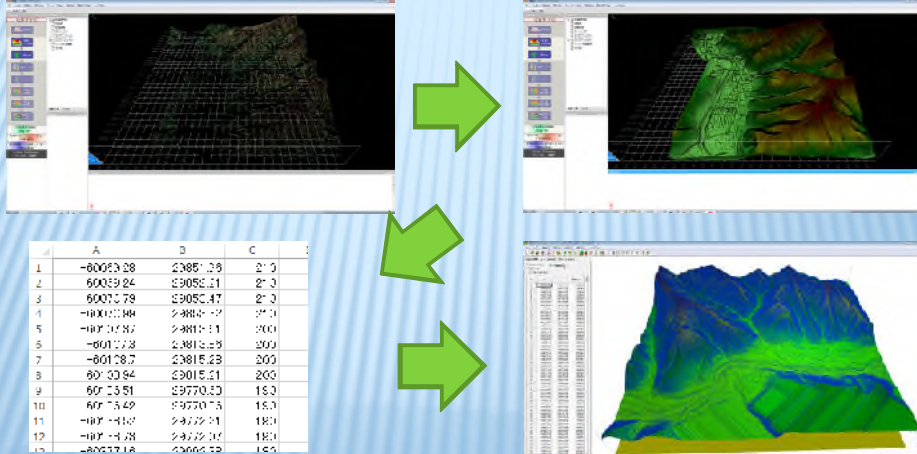
砂防関連DMデータを用いた3次元モデリングと利用例

■作業手順（土石流）

①対象地区3次元化

DMデータを変換、LS_RAPIDの3次元地形として取り込む

②「3D READER」でDMデータを読み込み 3DREADERで面を作成

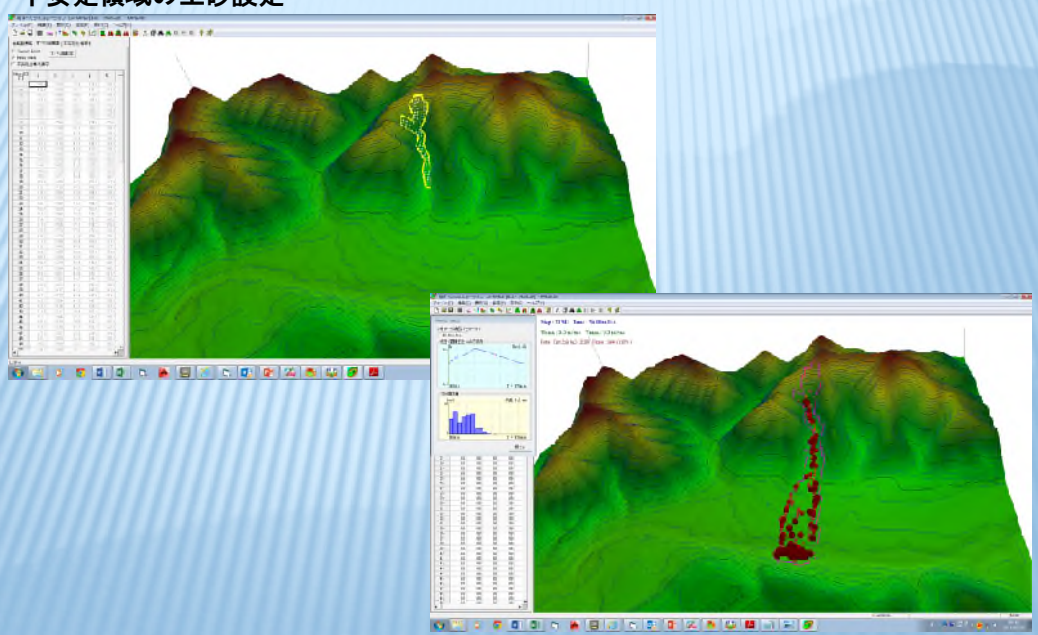


「Makejiban」にてメッシュ分割と
コントロールデータの出力

LS-RAPIDでコントロールデータの
入力と面作成

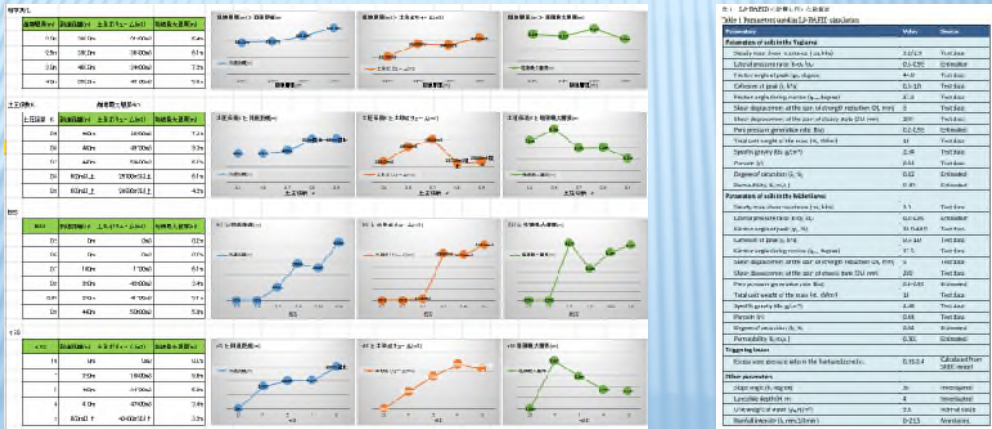
砂防関連DMデータを用いた3次元モデリングと利用例

不安定領域の土砂設定

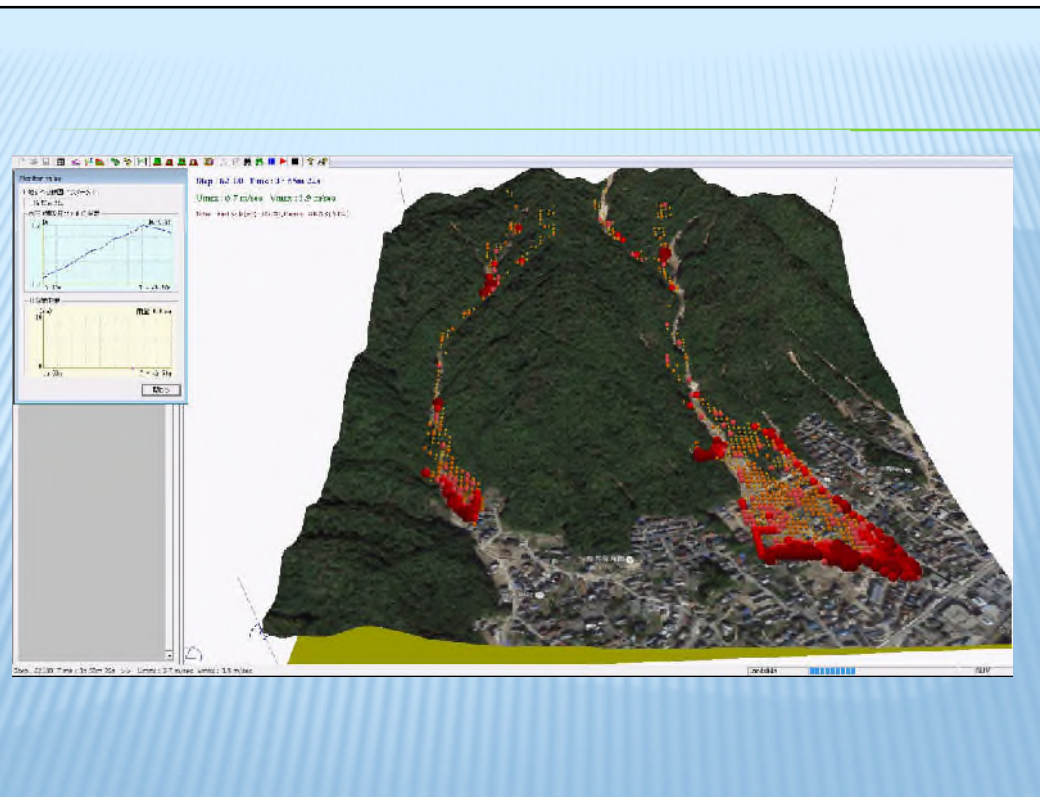


LS-RAPIDを用いた広島土砂災害 再現解析

- ・ LS-RAPIDにて、八木地区で発生した斜面前崩壊の再現解析を実施
- ・ 崩壊層厚と到達距離をフィッティングさせるため、土圧係数K、過剰観測水圧発生率BSS、定常状態における地すべりすべり面のせん断抵抗TSSを調整。



引用元：ICL国際フォーラム「都市化と土砂災害」(2014.10.8)プログラム配布資料



自治体への提案（案）

- ① 砂防基礎調査データから危険度に関する因子をDB化
- ② 危険箇所範囲をG I S上にプロット
- ③ 日本シームレス地質図から地質ポリゴンを取得・重ね合わせ
- ④ 危険箇所の因子に地質データを付加
- ⑤ 因子別に加点・評価できる機能を付加
- ⑥ いくつかのパターンをシミュレート
- ⑦ 最上位の複数箇所について、LS-RAPIDで雨量強度別の発生パターンのシミュレート
- ⑧ LS-RAPIDで最大の土砂到達範囲をシミュレート
- ⑨ イエロー・レッドゾーンの検証
- ⑩ （局地豪雨の情報が出た時の避難勧告）

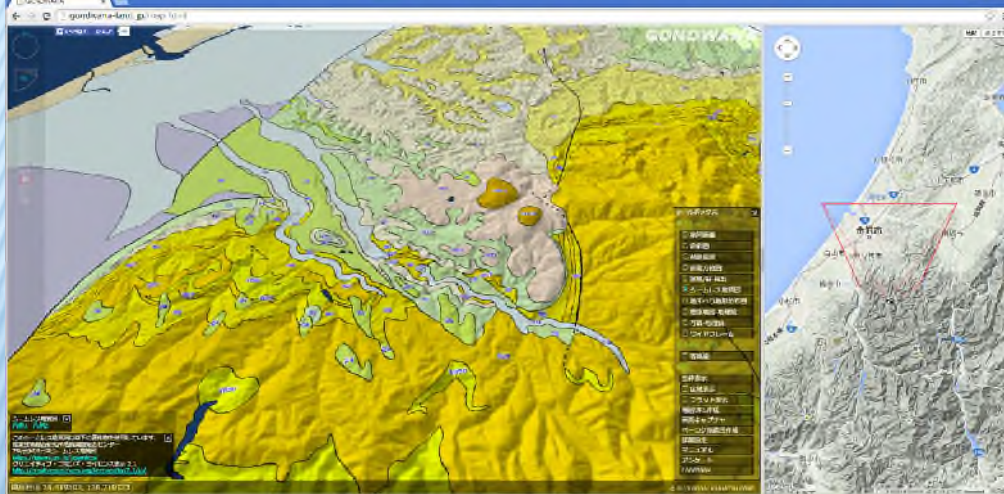
砂防基礎調査データから危険度に関する因子をDB化

危険因子の抽出例

右側の赤い矢印と丸い赤い柱が、左側の斜面地盤調査図から抽出された危険因子を示す。

急傾斜地の崩壊区域調査									
基準地図									
基準地図の記入欄									
地名									
地番									
地図記入欄									
危険箇所の記入欄									
危険箇所の記入欄									
危険箇所の記入欄									
危険箇所の記入欄									
危険箇所の記入欄									
危険箇所の記入欄									
危険箇所の記入欄									
危険箇所の記入欄									
危険箇所の記入欄									
危険箇所の記入欄									
危険箇所の記入欄									
危険箇所の記入欄									
危険箇所の記入欄									
危険箇所の記入欄									
危険箇所の記入欄									
危険箇所の記入欄									
危険箇所の記入欄									
危険箇所の記入欄									
危険箇所の記入欄									
危険箇所の記入欄									
危険箇所の記入欄									
危険箇所の記入欄									
危険箇所の記入欄									
危険箇所の記入欄									
危険箇所の記入欄									
危険箇所の記入欄									
危険箇所の記入欄									
危険箇所の記入欄									
危険箇所の記入欄									
危険箇所の記入欄									
危険箇所の記入欄									
危険箇所の記入欄									
危険箇所の記入欄									
危険箇所の記入欄									
危険箇所の記入欄									
危険箇所の記入欄									
危険箇所の記入欄									
危険箇所の記入欄									
危険箇所の記入欄									
危険箇所の記入欄									
危険箇所の記入欄									
危険箇所の記入欄									
危険箇所の記入欄									
危険箇所の記入欄									
危険箇所の記入欄									
危険箇所の記入欄									
危険箇所の記入欄									
危険箇所の記入欄									
危険箇所の記入欄									
危険箇所の記入欄									
危険箇所の記入欄									
危険箇所の記入欄									
危険箇所の記入欄									
危険箇所の記入欄									
危険箇所の記入欄									
危険箇所の記入欄									
危険箇所の記入欄									
危険箇所の記入欄									
危険箇所の記入欄									
危険箇所の記入欄									
危険箇所の記入欄									
危険箇所の記入欄									
危険箇所の記入欄									
危険箇所の記入欄									
危険箇所の記入欄									
危険箇所の記入欄									
危険箇所の記入欄									
危険箇所の記入欄									
危険箇所の記入欄									
危険箇所の記入欄									
危険箇所の記入欄									
危険箇所の記入欄									
危険箇所の記入欄									
危険箇所の記入欄									
危険箇所の記入欄									
危険箇所の記入欄									
危険箇所の記入欄									
危険箇所の記入欄									
危険箇所の記入欄									
危険箇所の記入欄									
危険箇所の記入欄									
危険箇所の記入欄									
危険箇所の記入欄									
危険箇所の記入欄									
危険箇所の記入欄									
危険箇所の記入欄									
危険箇所の記入欄									
危険箇所の記入欄									
危険箇所の記入欄									
危険箇所の記入欄									
危険箇所の記入欄									
危険箇所の記入欄									
危険箇所の記入欄									
危険箇所の記入欄									
危険箇所の記入欄									
危険箇所の記入欄									
危険箇所の記入欄									

砂防基礎調査日本シームレス地質図から地質ポリゴンを取得・重ね合わせ 日本シームレス地質図からポリゴン取得



まとめ

- ・3次元地盤モデルを用いた、斜面崩壊のシミュレーションは、有用である。
- ・地域住民へのソフト対策として、崩壊土砂の到達距離、土砂ボリューム、堆積層厚等を表現することができる。
- ・シミュレーションは、パラメータで大きく変化する。
- ・崩壊事例から、事前にパラメータを逆解析することで、リアルタイムシミュレーションにつなげる可能性がある。

「示準柱状図と大量のボーリング柱状図を利用した三次元地質モデリング」 —地質モデリングの自動化の可能性について—

豊田 守*

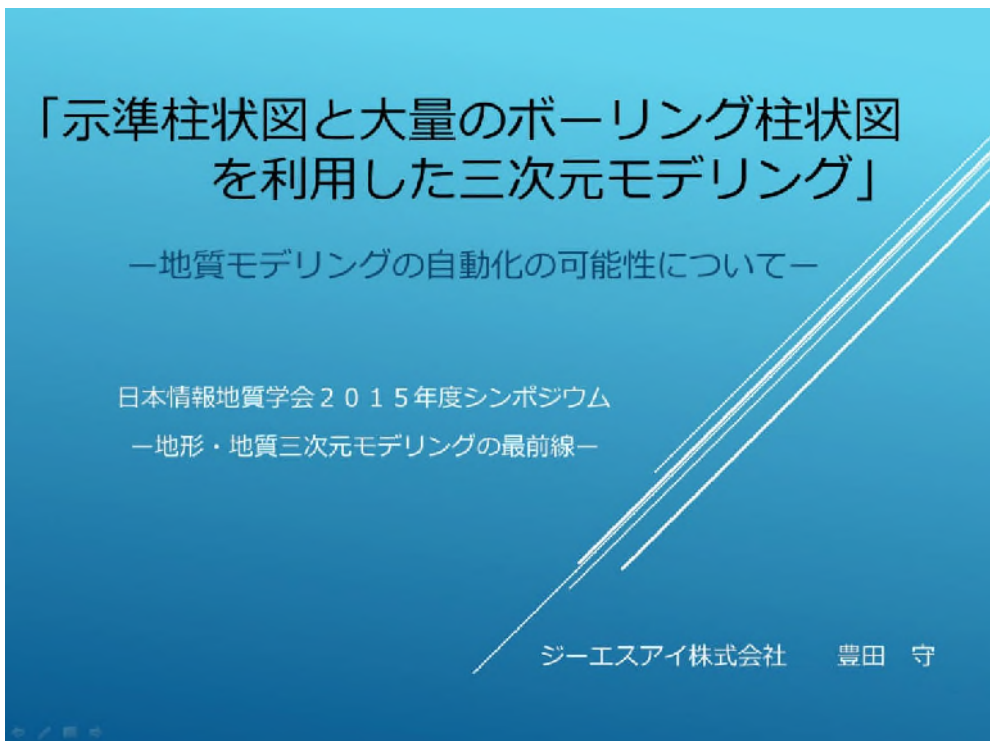
**Geological modeling with huge amounts of drillhole data
- Preliminaries for the automation of geological modeling-**

Mamoru TOYODA *

* ジーエスアイ株式会社 GSI CO.,LTD., 2-8-37 Chuo, Mito-shi, Ibaraki, 310-0805, Japan
E-mail: m_toyoda@abox22.so-net.ne.jp

キーワード：地質情報、情報公開、インターネット

Key words: geological information, public information, automated geological modeling



発表内容

1. 2次利用可能な公開ボーリング柱状図について
2. 柱状図に記載されている土質境界深度の実態
3. 示準柱状図を利用した柱状図の地層区分
4. 示準柱状図を配置して三次元モデルの作成

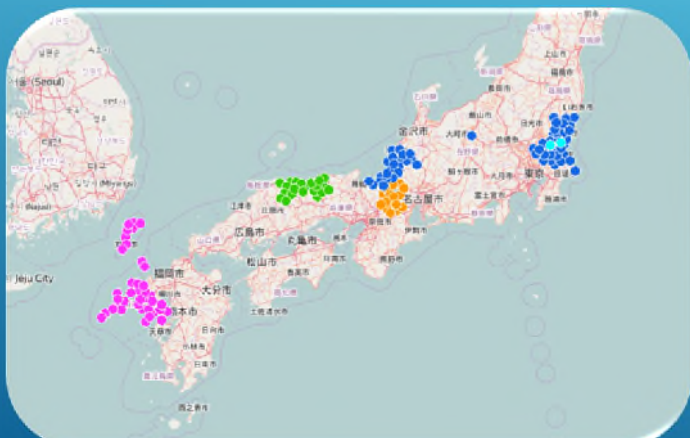
▶ 1. 2次利用可能な公開ボーリング柱状図について

(1) 国土地盤情報検索サイト“KUNIJBAN”
国土交通省、国立研究開発法人土木研究所
および国立研究開発法人港湾空港技術研究所
が共同で運営
公開柱状図本数 約91,000本



(2) ジオステーション

国立研究開発法人防災科学技術研究所が運営
国地盤データに加えて自治体提供データを公開している。
自治体公開柱状図本数 約28,600本



2. 柱状図に記載されている土質境界深度の実態

三次元地盤モデルを作成するに当たり、使用する地層境界について実態を整理した。

ボーリング柱状図に記載してある土質名と土質境界深度は、標準貫入試験で得られる打撃数と試料観察、掘進時のトルク・抵抗・音・送水圧にて判断している。（オールコアサンプリングは除く）

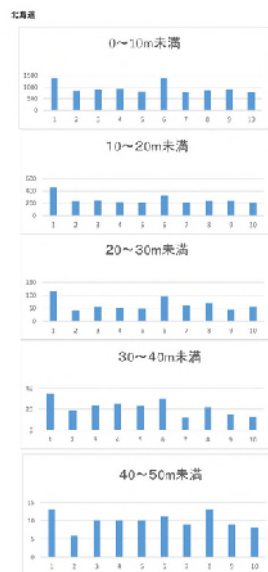
通常、標準貫入試験は、1 cm間隔で行い0から50 cmで行う。50 cmから100 cmまでは、トルク・抵抗・音・送水圧などで境界深度を記録している。

1 cmの間で境界深度の記録の方法が異なることから、境界深度の分布実態を整理した。

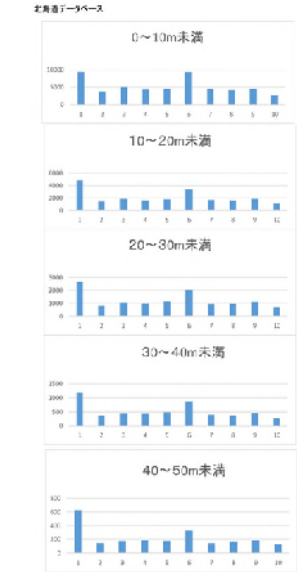
対象としたのは、主に「KUNIJBAN」で公開されているボーリング柱状図である。

土質境界記録の分布

北海道開発局

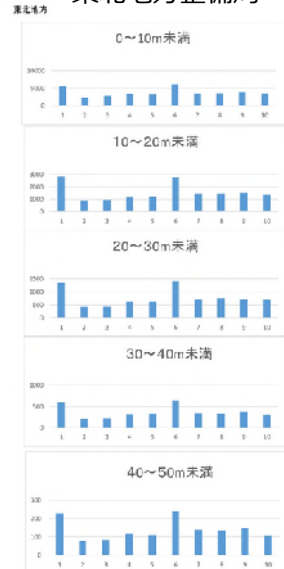


北海道地盤データベース

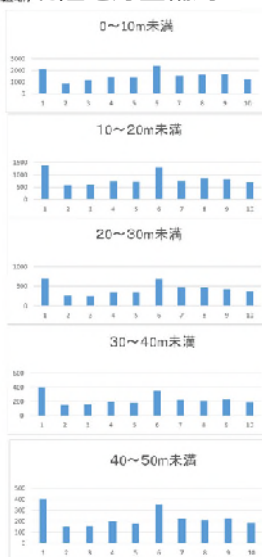


土質境界記録の分布

東北地方整備局

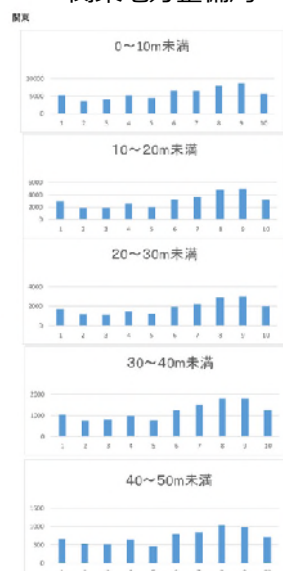


北陸地方整備局

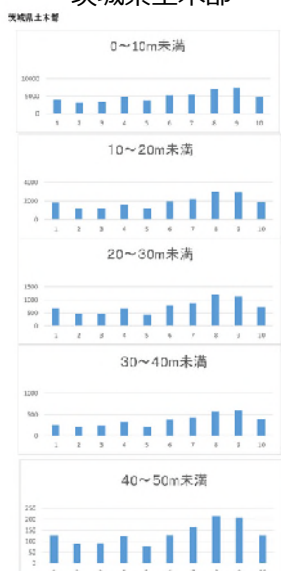


土質境界記録の分布

関東地方整備局

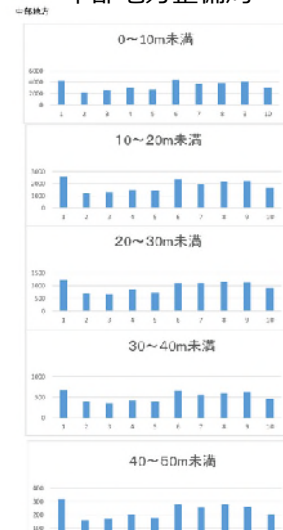


茨城県土木部

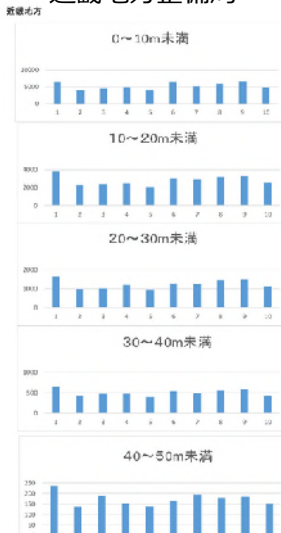


土質境界記録の分布

中部地方整備局

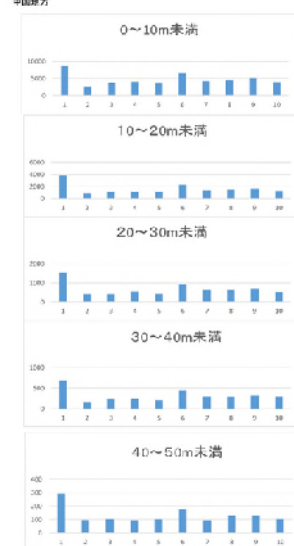


近畿地方整備局

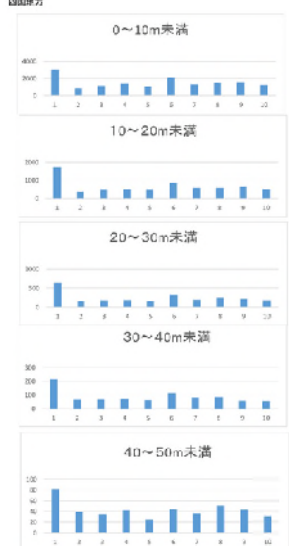


土質境界記録の分布

中国地方整備局

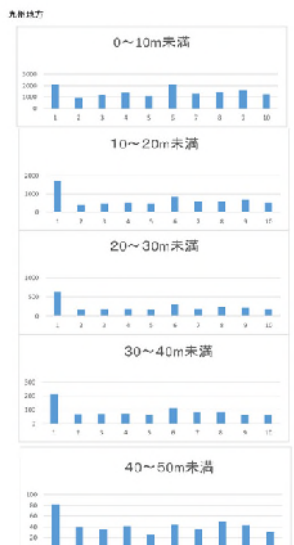


四国地方整備局

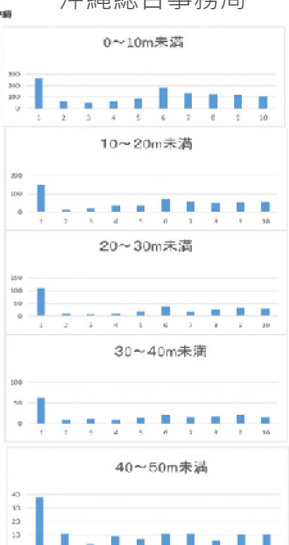


土質境界記録の分布

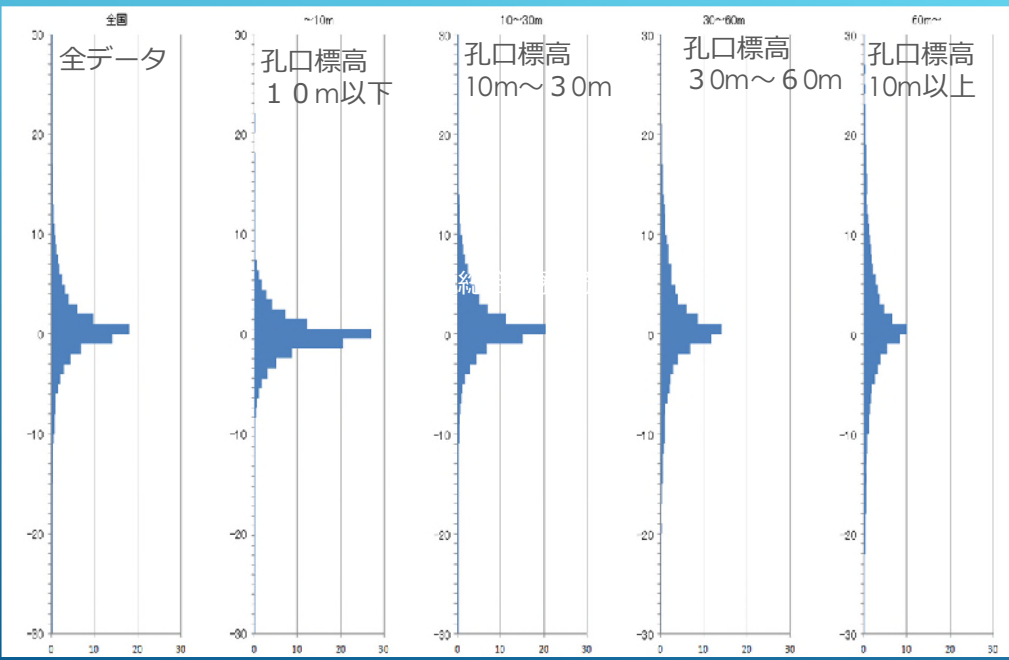
九州地方整備局



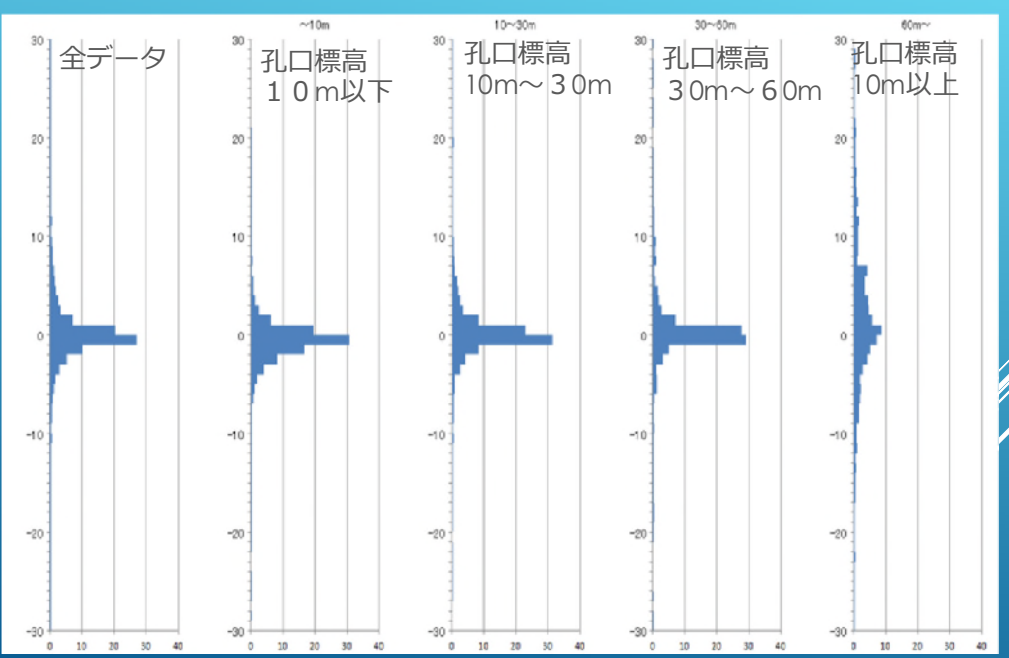
沖縄総合事務局



緯度経度から求められる標高値と記載標高値との差分値の分布 全国データ



緯度経度から求められる標高値と記載標高値との差分値の分布 茨城県土木部



3. 示準柱状図を利用した柱状図の地層区分

考え方

2本の柱状図で同一層準の地層を見つける

地層の持つパラメータ

土質区分、N値、層中心の標高、孔口標高

2本の柱状図の地層どうしを比較

パラメータの差の絶対値に重み係数を掛け、その合計値が最も小さい層を類似性が高い層と判定する。

合計値が基準値以下の場合に同一層と判定。

基準値と各パラメータの重み係数の標準値

地層係数 = 1.0 N値係数 = 0.5

層の標高差係数 = 1.0 孔口標高差係数 = 0.3

岩相の数値化

土質間の差分値を以下の表から求める

層相類似度マトリックス

	G	SL	SM	S	Si	C	Lm	Pt	B	
G	0	1	2	4	6	8	16	10	20	
SL	1	0	1	3	5	7	15	9	19	
SM	2	1	0	2	4	6	14	8	18	
S	4	3	2	0	2	4	12	6	16	
Si	5	4	3	2	0	3	11	5	14	
C	8	7	6	4	2	0	10	2	12	
Lm	16	15	14	12	10	8	0	6	4	
Pt	10	9	8	6	4	2	6	0	10	
B	20	19	18	16	14	12	4	10	0	

G: 磯, 磯質土, レキ質土, レキ, 砂レキ, 砂礫

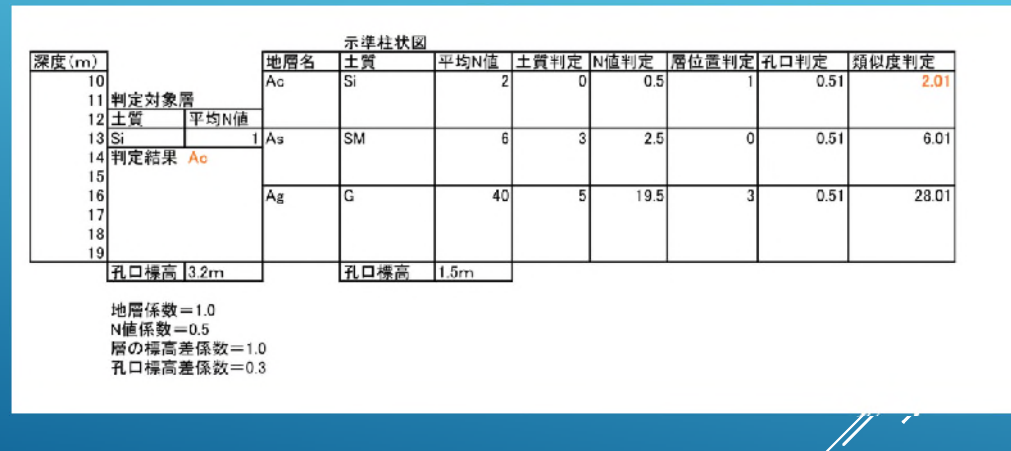
SL: 粗砂, 粗粒砂 SM: 中砂, 中粒砂, 砂, 砂質土

S: 微細砂, 細砂, 細粒砂 Si: シルト, 粘性土

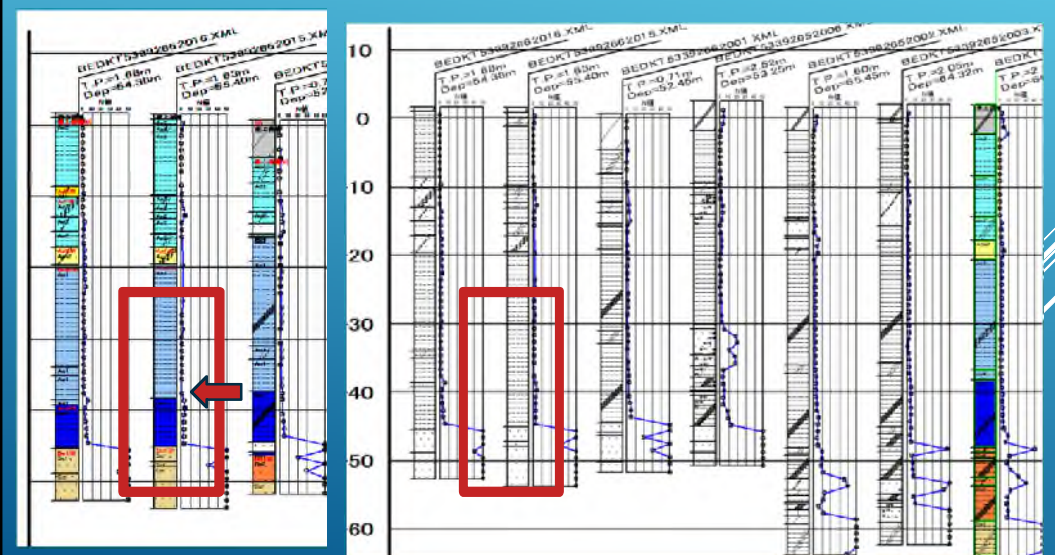
C: 粘土 Lm: ローム, 火山灰

Pt: 腐植土, 泥炭, 高有機質土 B: 表土, 盛土, 埋土

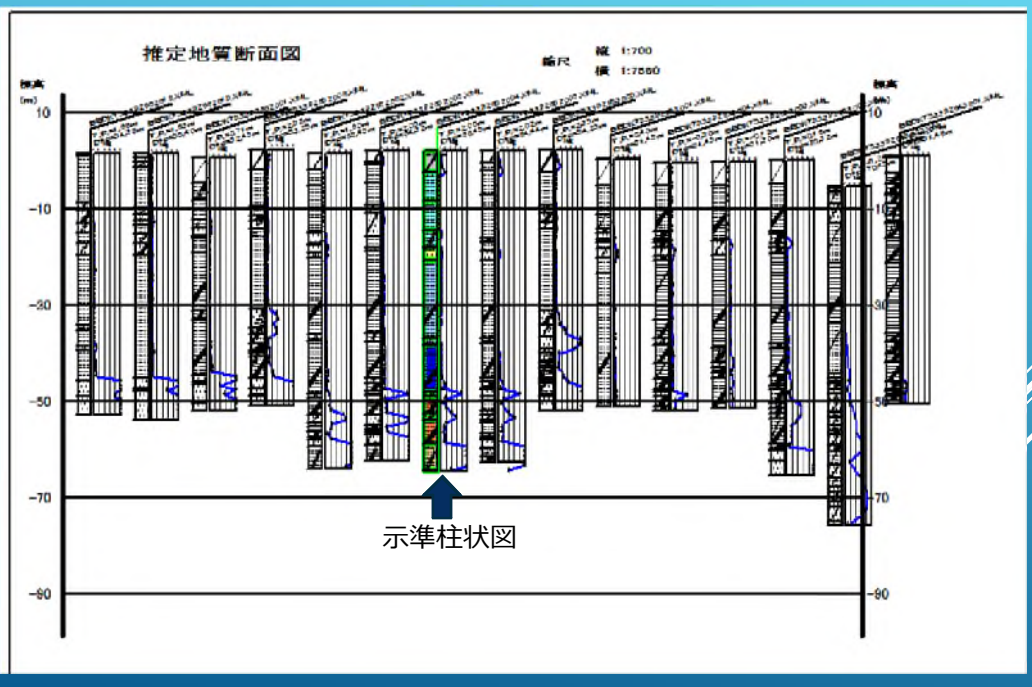
地層判定
地層判定は、近傍にある示準柱状図を使用して行う。



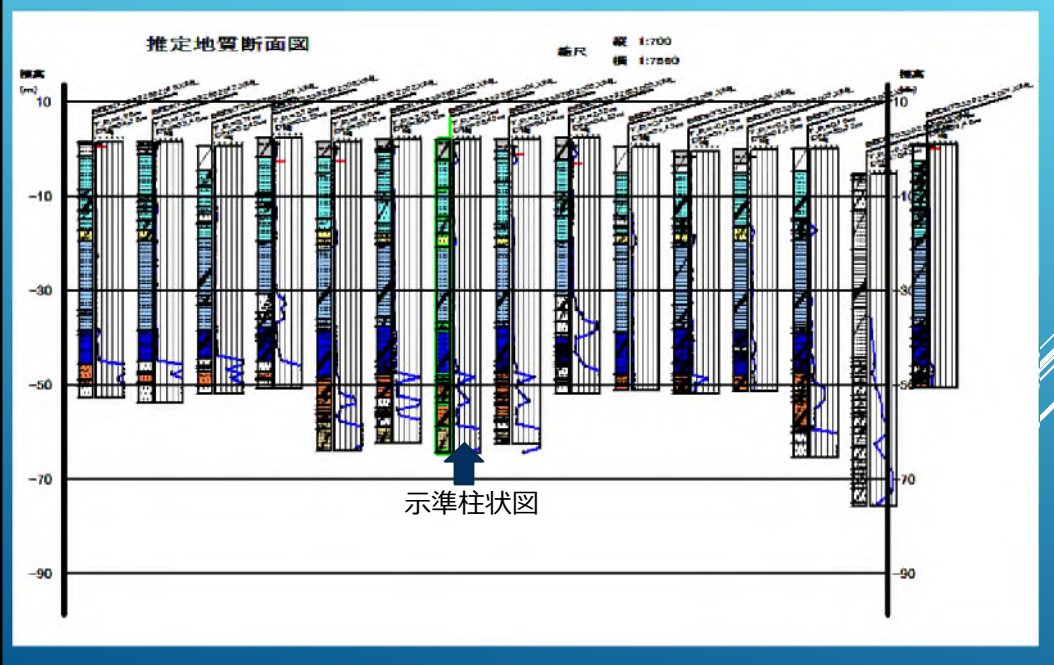
区分の追加
区分対象柱状図は1メートル毎に区切って判定処理を行うので区分が無い場合は区分が追加される



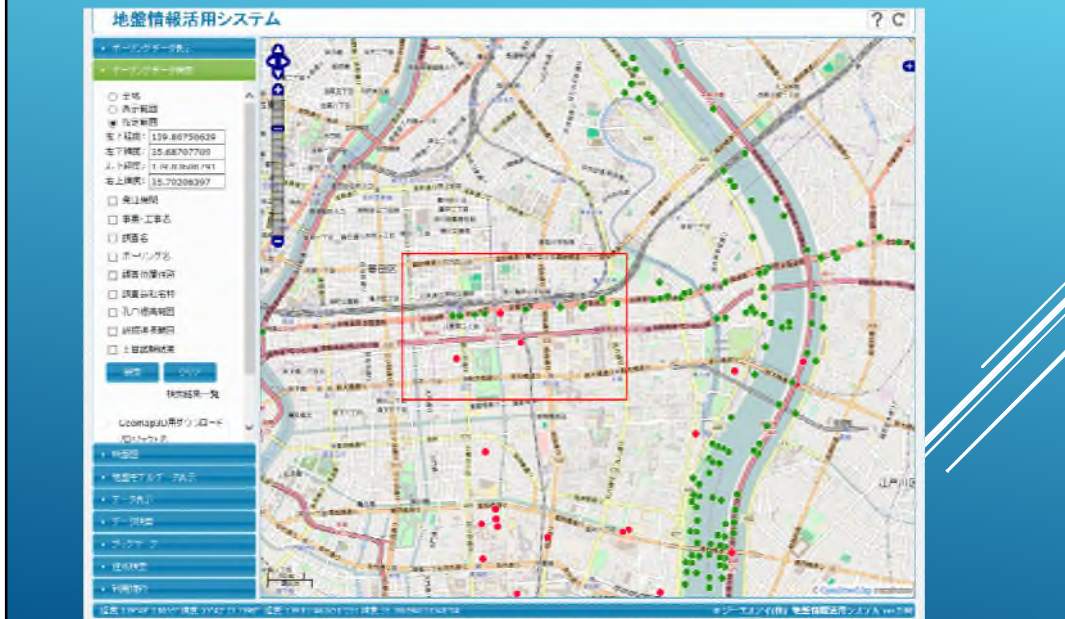
示準柱状図を利用した柱状図の地層区分の実例



示準柱状図を利用した柱状図の地層区分の実例



- 4.示準柱状図を配置して三次元モデルの作成
- 示準柱状図
 - モデル作成範囲
 - 未区分柱状図



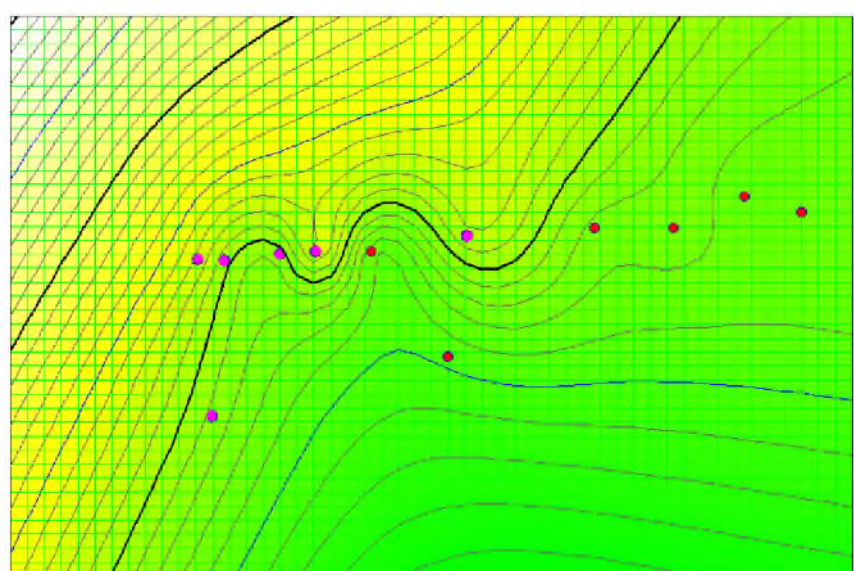
示準柱状図と未区分柱状図



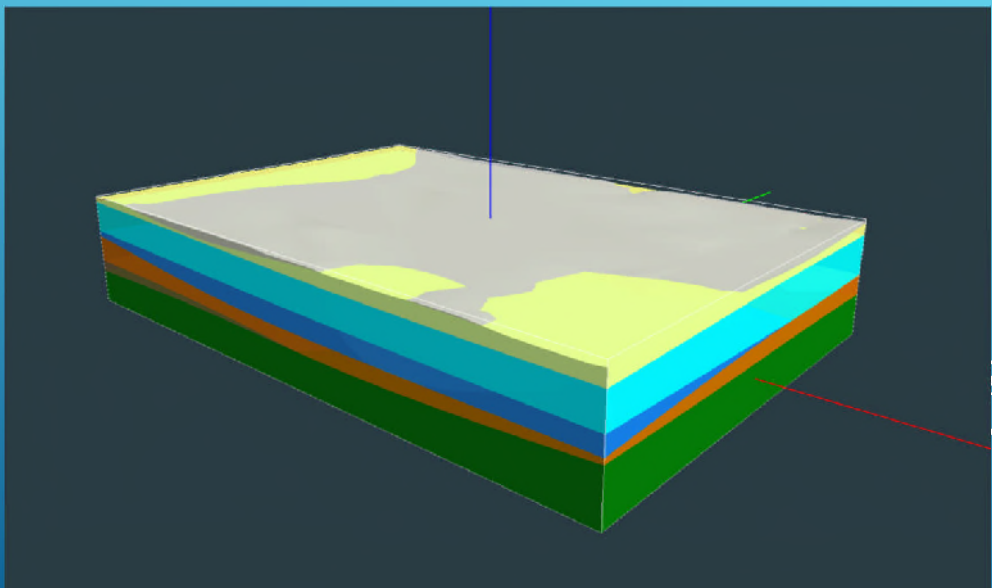
示準柱状図による区分実行
地層面に境界値を書き込む



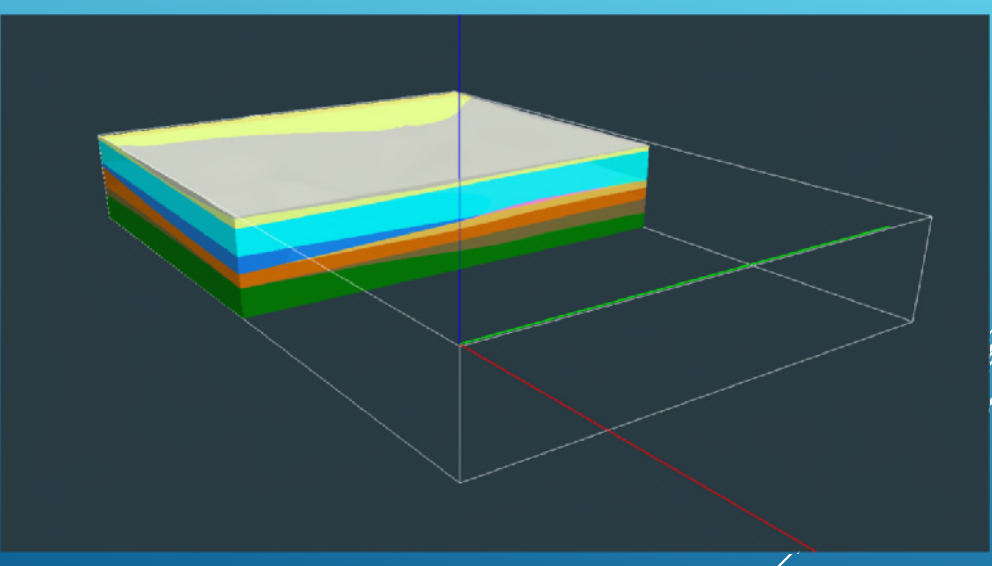
BS_HORIZONによる地層面計算の実行



面の重ね合わせで三次元モデルを作成」



モデルの切断表示



まとめ

示準柱状図を設けることで水平方向に地層の連続性がある地盤では、地層区分の自動化が可能である。しかしながら、堆積環境を考慮し地史学妥当な示準柱状図を設けるためには、専門的な知識が必要となる。今後の課題である。



三次元地質解析システム「GEO-CRE(ジオクリ)」の紹介

西山 昭一*

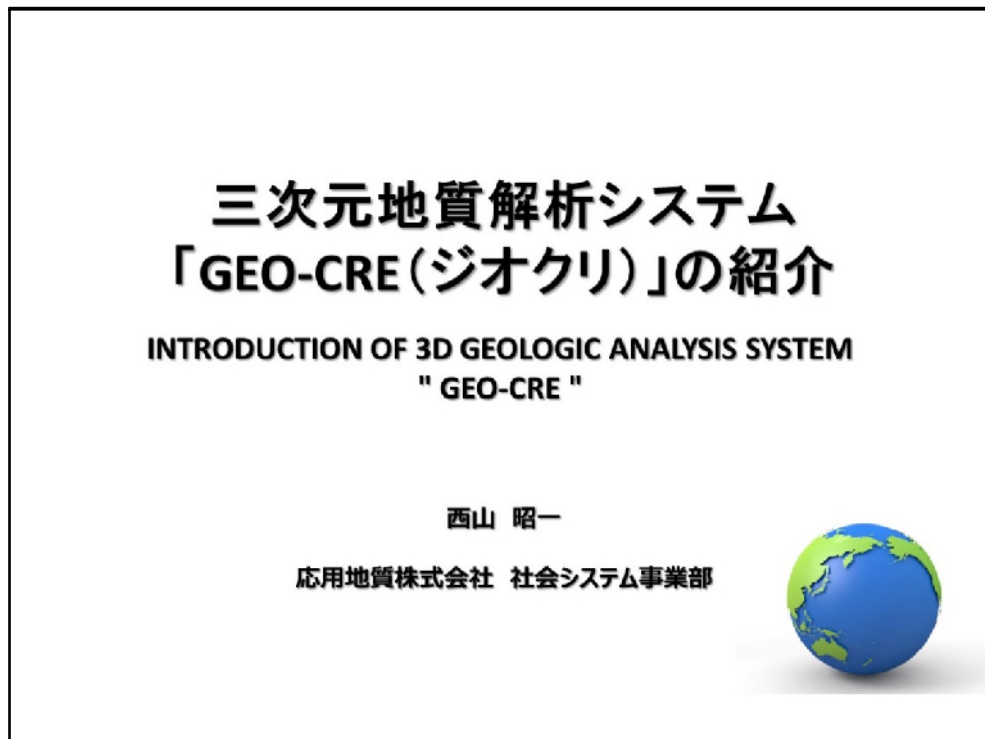
Introduction of 3D geologic analysis system " GEO-CRE "

Syoichi Nishiyama *

*応用地質株式会社 社会システム事業部 OYO Corporation, Social System Business Division,
URL:<http://www.oyo.co.jp/>. E-mail: nisiyama-syoichi@oyonet.oyo.co.jp

キーワード：三次元地質解析，三次元地質モデル，三次元 CAD，CIM

Key words: Three-dimensional (3D) ground analysis, 3D geological model, 3D CAD,CIM



構成】

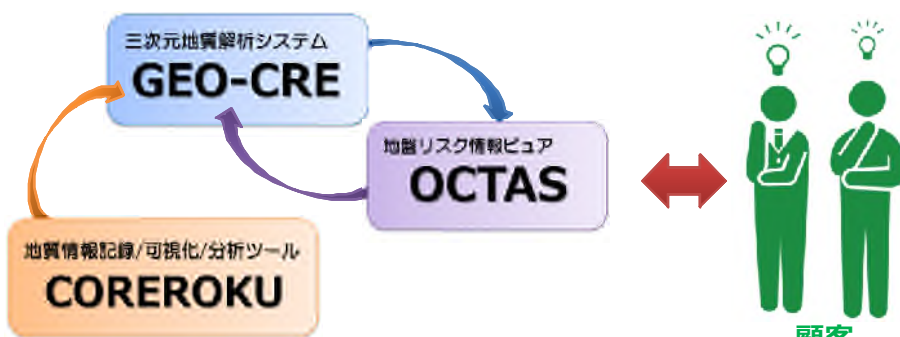
1. はじめに
2. 新しいツールの紹介
 - 2.1 GEO-CRE (ジオクリ)
 - 2.2 OCTAS (オクタス)
 - 2.3 COREROKU (コアロク)
3. GEO-CREの開発
 - 3.1 開発経緯
 - 3.2 開発目標
 - 3.3 機能と性能
4. 弊社における三次元地質解析
 - 4.1 適用した事業分野
 - 4.2 経験から言えること
5. 三次元地質モデルの活用へ (CIM対応)

1. はじめに

“高品質ボーリングの情報を記録 分析する”、“地盤情報を三次元で解析する”、“地盤リスクを見る化する”、これらを実現するには**ソフトウェア**が不可欠です

これらの地盤情報の高度化を支援するため以下の三つのツールを開発しました

- ◆三次元地質解析システム **GEO-CRE (ジオクリ)**
- ◆地盤リスク情報ビュア **OCTAS (オクタス)**
- ◆高品質ボーリング情報化ツール **COREROKU (コアロク)**



※URL http://www.oyo.co.jp/business_field/three-dimensional-soil-information-service/

2. 新しいツールの紹介

2.1 GEO-CRE (ジオクリ)

(1) GEO-CREとは

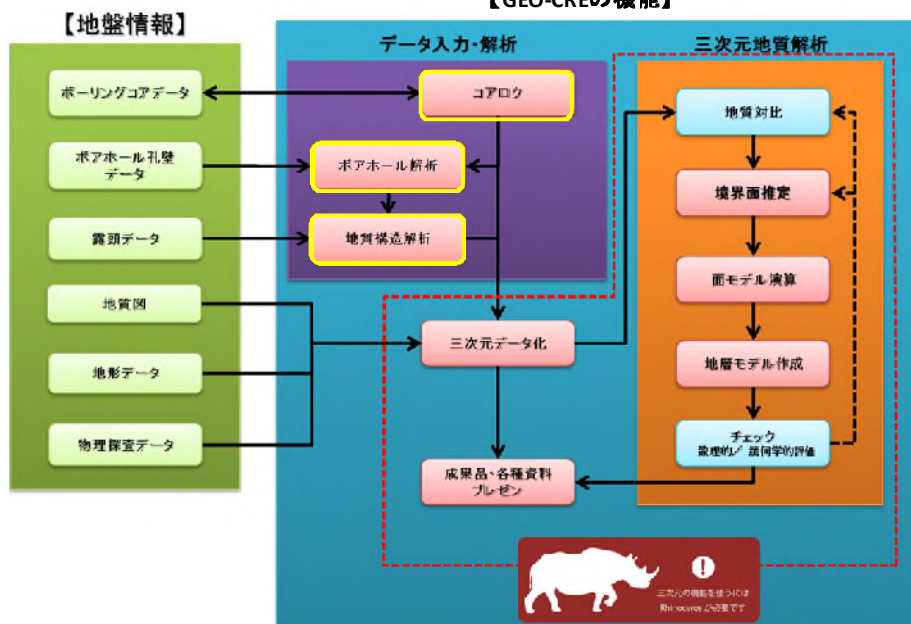


2. 新しいツールの紹介

2.1 GEO-CRE (ジオクリ)

(2) GEO-CREにおける地質モデル構築の流れ

【GEO-CREの機能】

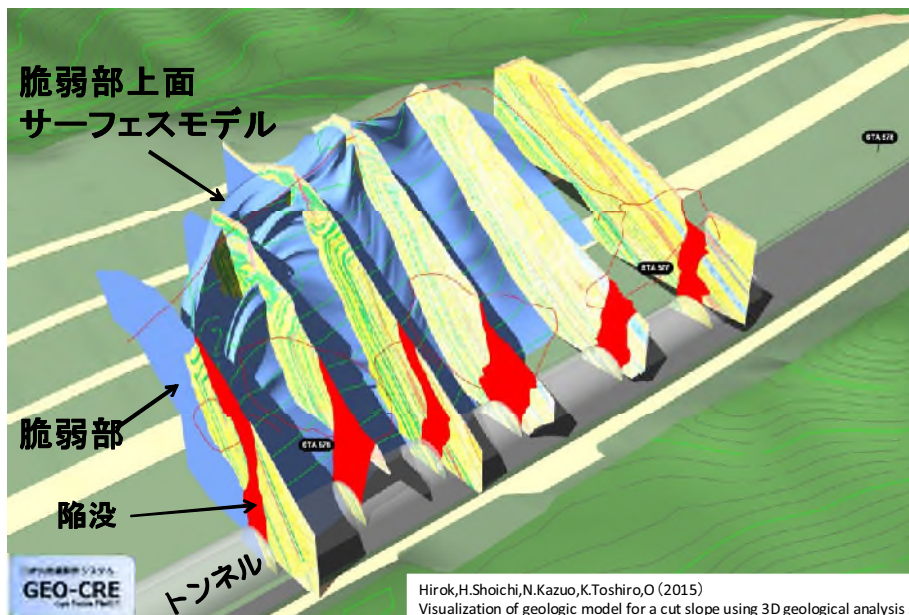


2. 新しいツールの紹介

2.1 GEO-CRE (ジオクリ)

(3) 最近の事例

脆弱部の性状と三次元地質モデル



2. 新しいツールの紹介

2.1 GEO-CRE (ジオクリ)

(3) 最近の事例

脆弱部の性状と三次元地質モデル

既往ボーリングコアから堅岩部と脆弱部の三次元分布を整理



Hirok,H.Shoichi,N.Kazuo,K.Toshiro,O (2015)
Visualization of geologic model for a cut slope using 3D geological analysis system

2. 新しいツールの紹介

2.1 GEO-CRE (ジオクリ)

(3) 最近の事例

西山他 (2015) ILC関連施設設計・施工・維持管理に資する地盤情報DBシステムの開発 日本加速器学会年会講演要旨集

約50km

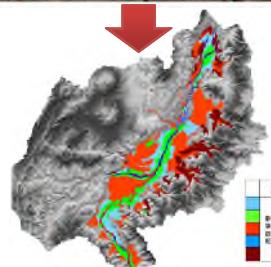
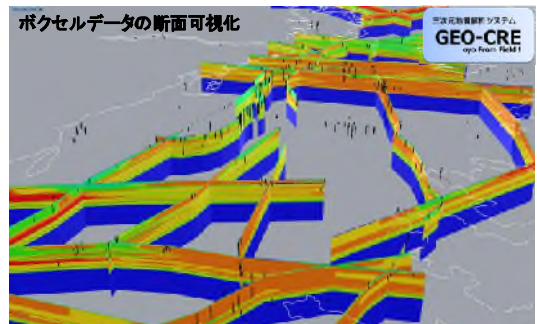
5km

三次元地質解析システム
GEO-CRE
Geo From Field!

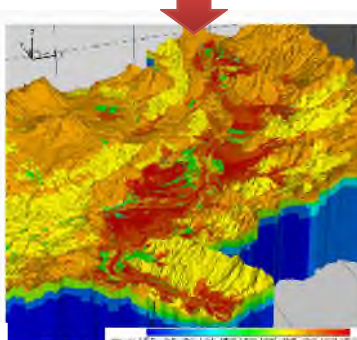
2. 新しいツールの紹介

2.1 GEO-CRE (ジオクリ)

(3) 最近の事例



溶け水	上層水
青	緑
赤	黄
白	黒
紫	茶



長野市周辺: 統合モデル(水理特性)

竹島・西山・森・多田・田原・柿澤・飯山 (2015) 「地図流体モデルング技術による国土
地中熱ポテンシャルデータベースの開発」 日本地熱学会平成27年度学術講演会

2. 新しいツールの紹介

(3) 最近の事例

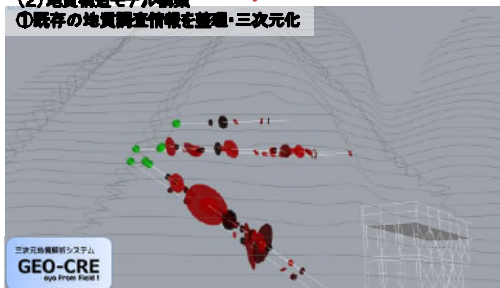
(1) 斜面三次元モデル作成

・既存の電子化された地形情報: 地形CADセンター等より作成する



(2) 地質構造モデル構築

①既存の地質調査情報を整理・三次元化



2.1 GEO-CRE (ジオクリ)

※ 下図はデモ用に作成したもの

(2) 地質構造モデル構築

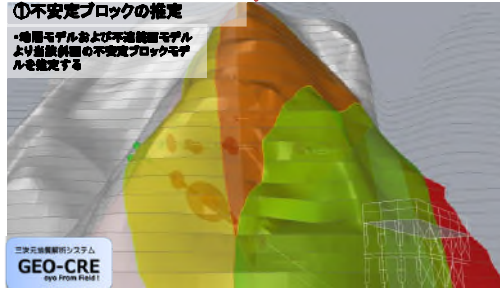
②地質や不透水層の三次元モデル構築

・既存調査資料より読み取れる地質情報を三次元で再現、基本的な地質情報をとして整備する

(3) 斜面安定性評価モデル構築

①不安定ブロックの推定

・地質モデルおよび不透水層モデルより当該斜面の不安定ブロックモデルを推定する



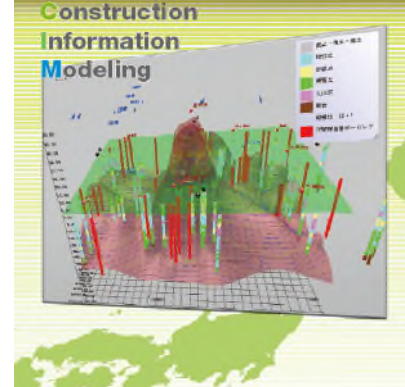
2. 新しいツールの紹介

(3) 最近の事例

全地連「CIM対応ガイドブック」

CIM対応ガイドブック -地質調査版-

Construction Information Modeling



一般社団法人 全国地質調査業協会連合会

2.1 GEO-CRE (ジオクリ)

トンネルの3次元モデル事例

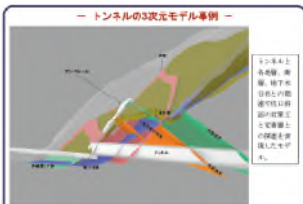


図 3-7 トネルの3次元モデル事例

横断基礎の3次元モデルの事例

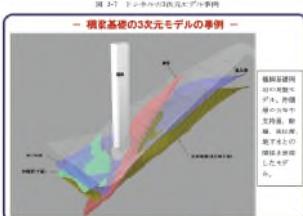


図 3-8 横断基礎の3次元モデルの事例

対すべり式モデルの事例

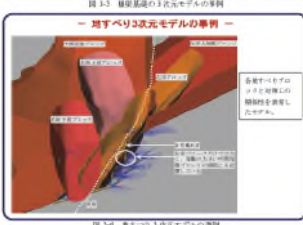


図 3-9 対すべり式モデルの事例

三次元地質解析システム
GEO-CRE
geo From Field!

Win Rhinoceros®
modeling tools for designers

2. 新しいツールの紹介

2.2 OCTAS (オクタス)

地盤リスク情報ビュア
OCTAS
oyo From Field !
高橋出願中

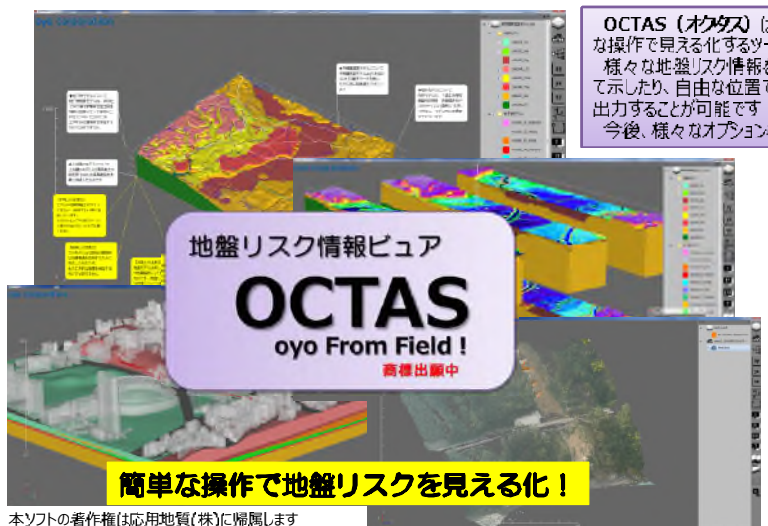
オクタス

名称由来：OCTA（八方位）
地盤情報の見える化で地質・探査・計測・環境
建築・土木・維持管理・学術の八分野をサポート
機能：地盤CIM情報のビュア

2. 新しいツールの紹介

2.2 OCTAS (オクタス)

◆無償の三次元地盤モデルビュア

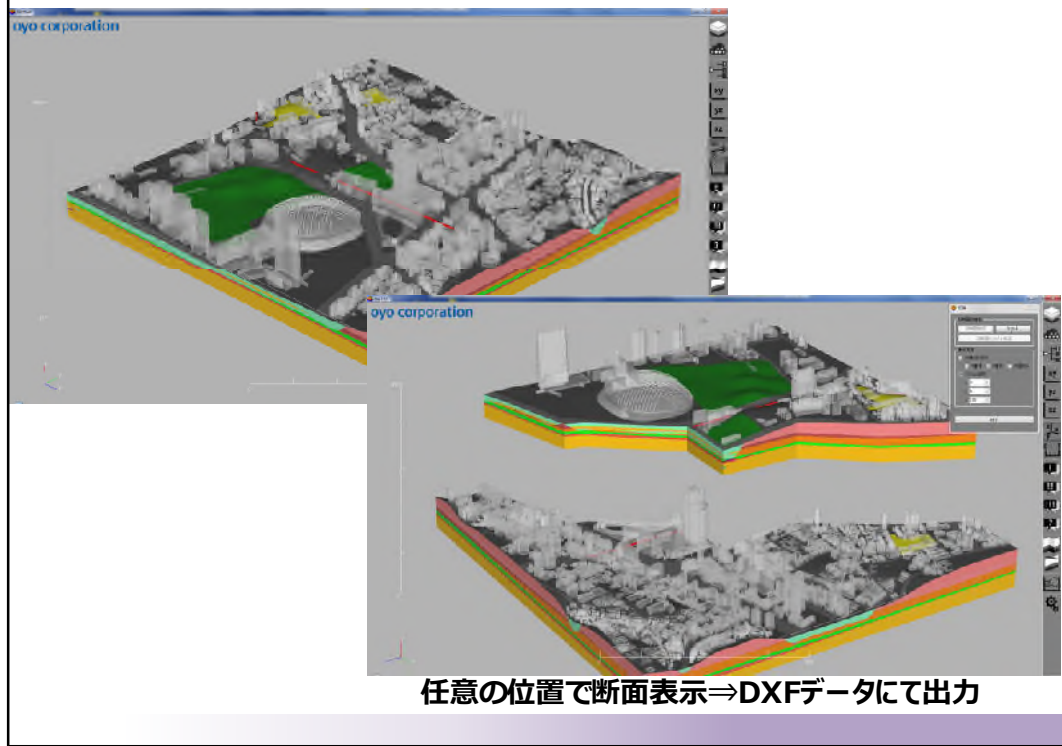


※1 本ソフトの著作権は応用地質(株)に帰属します
※2 利用規約の詳細は「操作ガイド」を参照ください

ダウンロードURL: http://www.oyo.co.jp/business_field/three-dimensional-soil-information-service/

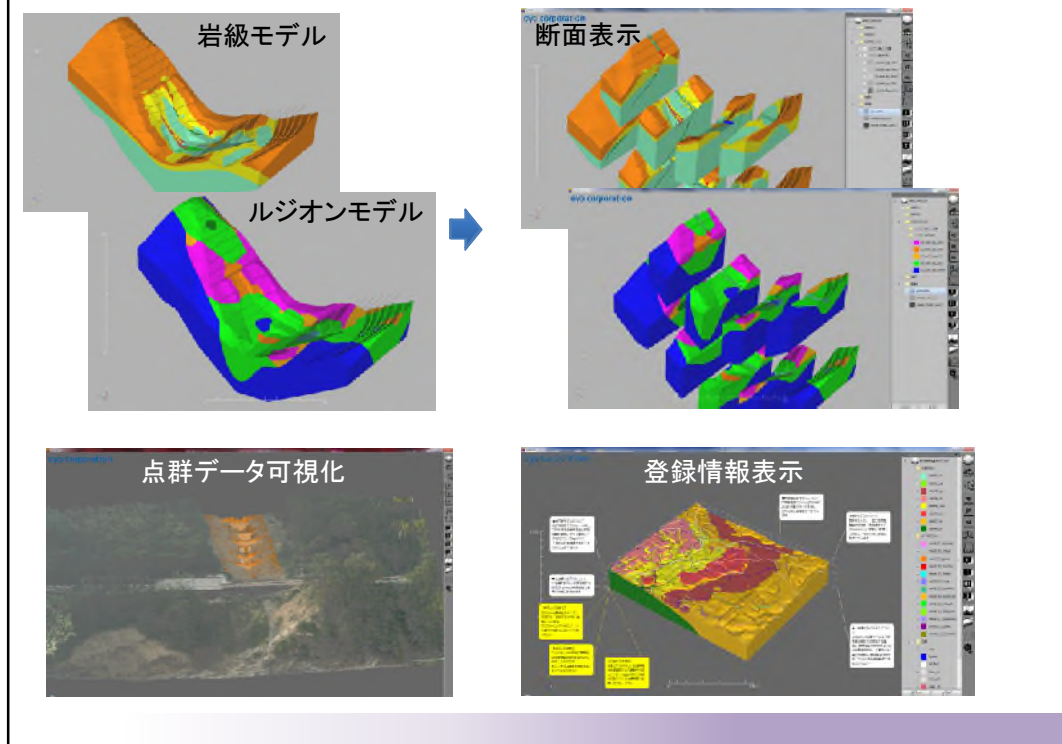
2. 新しいツールの紹介

2.2 OCTAS (オクタス)



2. 新しいツールの紹介

2.2 OCTAS (オクタス)



2. 新しいツールの紹介

2.3 COREROKU (コアロク)

地質情報記録/可視化/分析ツール
COREROKU
oyo From Field !
販売出展中

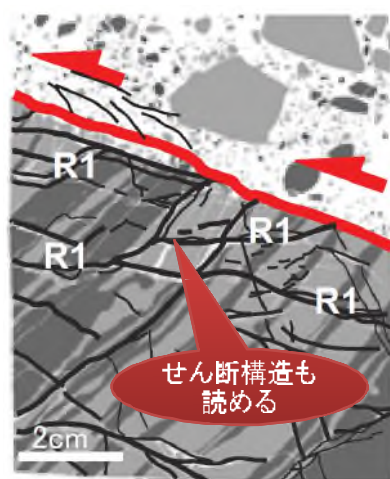
コアロク

名称由来：ボーリングコア情報の記録
機能：高品質地質情報解析の支援

2. 新しいツールの紹介

2.3 COREROKU (コアロク)

高品質ボーリングから読み取れる岩盤組織の変形

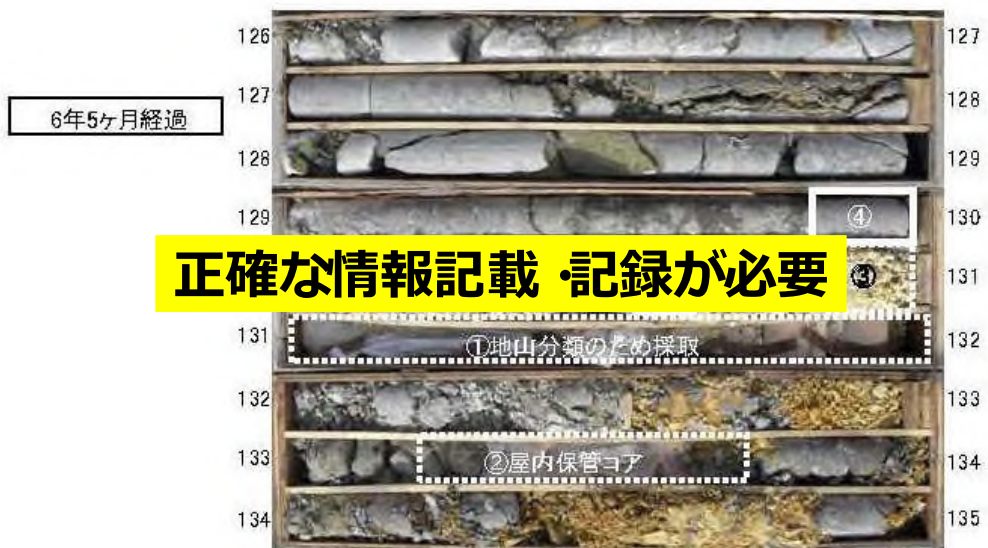


すべり層のサンプリングと認定方法に関する研究
(土木研究所共同研究報告書 2013)

2. 新しいツールの紹介

2.3 COREROKU (コアロク)

ボーリングコアの劣化



岡崎・伊東（2012）掘削後のボーリングコアにおける岩石性状の変化と特徴について

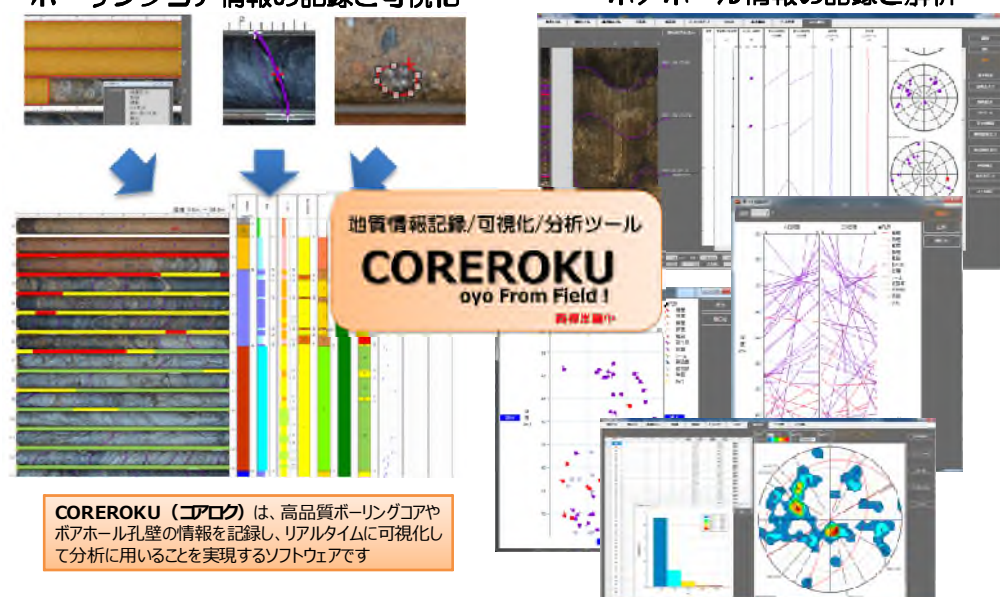
2. 新しいツールの紹介

2.3 COREROKU (コアロク)

高品質ボーリング情報を速やかに見える化！

ボーリングコア情報の記録と可視化

ポアホール情報の記録と解析



2. 新しいツールの紹介

2.3 COREROKU (コアロク)

<COREROKUの機能>

項目	内 容
データ入力	区分情報: 地質、色調、硬軟、形状、割れ目状態、岩級、風化、変質、土軟硬 面構造: 各種不連続面 点情報: 針貫入などの試験情報 ポリゴン情報: 混入礫などの形状
可視化	コアグラフによる可視化 棒グラフ、散布図、コア写真重ね図(区間区分テープ、面構造、点情報位置)
解析	不連続面の傾斜角計算 ポリゴン集計(統計データ出力) 区間集計(細区分集計グラフ)

他に

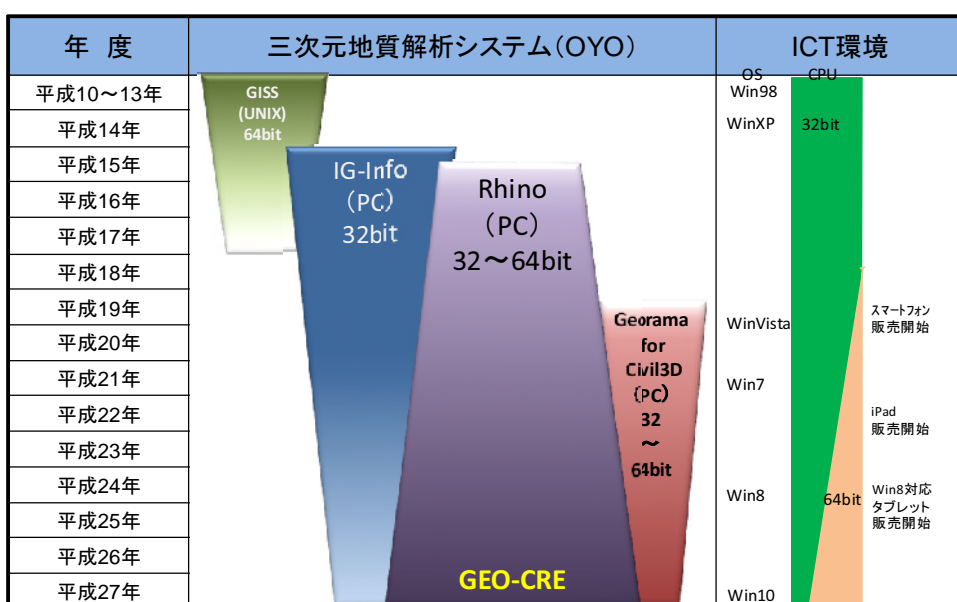
- ・ボアホール孔壁画像(可視光・超音波)の解析
- ・地質構造解析
- ・堆積相解析
- ・電子納品柱状図との連携

など

3. GEO-CREの開発

3.1 開発経緯

(1) 弊社における三次元地質解析システムの変遷

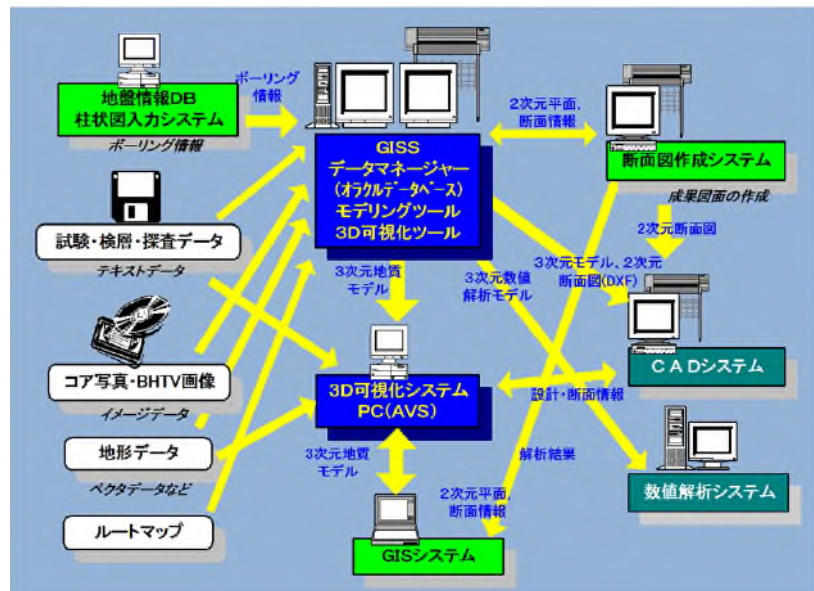


3. GEO-CREの開発

3.1 開発経緯

(2) これまでの三次元地質解析システム

3次元地質解析支援システム（GISS）構成概要※



※原・小川(2000):3次元地質解析支援システム,応用地質技術年報

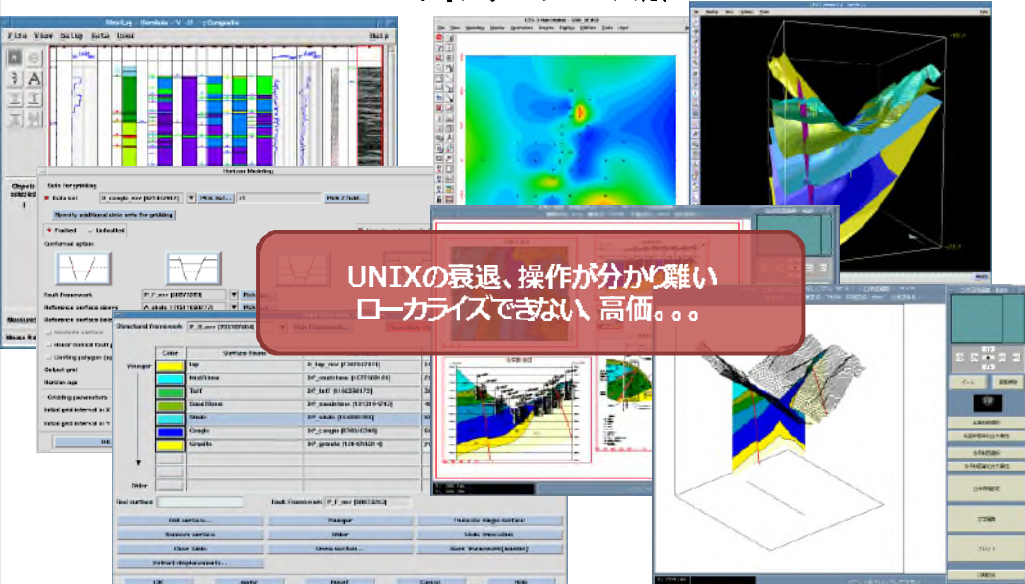
24

3. GEO-CREの開発

3.1 開発経緯

(2) これまでの三次元地質解析システム

GISSのインターフェース※



※原・小川(2000):3次元地質解析支援システム,応用地質技術年報

24

3. GEO-CREの開発

(2) これまでの三次元地質解析システム

The screenshot displays the IG-Info software interface. At the top, there's a banner for 'IG-Info 地盤情報を三次元で把握する Integrated Geologic Information Interface (地質情報統合インターフェース)'. Below it, a section titled 'IG-Infoとは' (What is IG-Info?) provides a brief overview. A large central area shows a 3D geological model with various layers and data overlays. To the left, a sidebar lists features under '基本機能' (Basic Functions) such as data import, processing, modeling, and visualization. A red callout box highlights 'CADのように自由に扱えない、処理が遅い 64bit非対応、やや高価' (Not as flexible as CAD, slow processing, 64-bit non-supported, somewhat expensive). To the right, another section titled 'カスタマイズ' (Customization) shows examples of 3D models and simulations. A blue callout box at the bottom right highlights '西山・原・小川(2002): 地質情報の統合化ツールの開発 日本応用地質学会 平成14年度研究発表会講演論文集' (Development of a integrated tool for geological information, Japan Society of Applied Geology, 2002 Annual Research Report).

3. GEO-CREの開発

(2) これまでの三次元地質解析システム

The screenshot shows the Rhinoceros 3D modeling software interface. On the left, there's a logo for 'win Rhinoceros® modeling tools for designers'. The main window displays a 3D model of a complex geological structure. A red callout box highlights '安価、使いやすさ、処理速度は申し分ない IG-Infoのモーラーとして利用する 地質解析の機能が無い' (Inexpensive, easy to use, processing speed is not inferior, lacks geological analysis functions when used as a Rhinoceros modifier). A blue callout box at the bottom right highlights 'GEO-CREのユアツールに採用' (Used in the GEO-CREユアツール).

3.1 開発経緯

3. GEO-CREの開発

3.1 開発経緯

(3) 既存三次元地質解析ツールの問題点

◆地質解析作業の限界

- ・データ整理やモデル計算処理に時間を要し、地質踏査における“現場で考えながら地質図を作る”プロセスと馴染みにくい
- データや図面の数が多くなると解釈のくい違いや図面間の不整合が生じ易くなり
- これを解消させる“作図作業”だけでも相当な時間がかかる
- 二次元の地質図を三次元で可視化するだけの“作図ツール”に過ぎない

◆操作性の難解さ

- ツール側の都合で実務の流れに沿わないルールが組み立てられている
- 余計な機能が多く操作が複雑で直感的に使えない

◆リソースの無駄遣い

- 最も作業時間をする画面が二次元であり、三次元の画面は単なるモデルのプレビューでしかない
- リアルタイムに可視化 分析が可能な三次元ツールの利点を活かしきれていない

- ◆地質技術者の思考補助や作業負荷を軽減させるツールとは言い難い
- ◆評価が急がれる実務には積極的に使いにくい

3. GEO-CREの開発

3.2 開発目標

(1) 目指した三次元地質解析システムの性能

既存ツールの改善すべき点】

- ①技術者の考えるスピードに追従できる
地質解析機能と可視化機能
- ②作業フローとデータ構成のわかり易さ
- ③ソフトウェアとしての柔軟性と拡張性



三次元地質解析システムの要求性能※

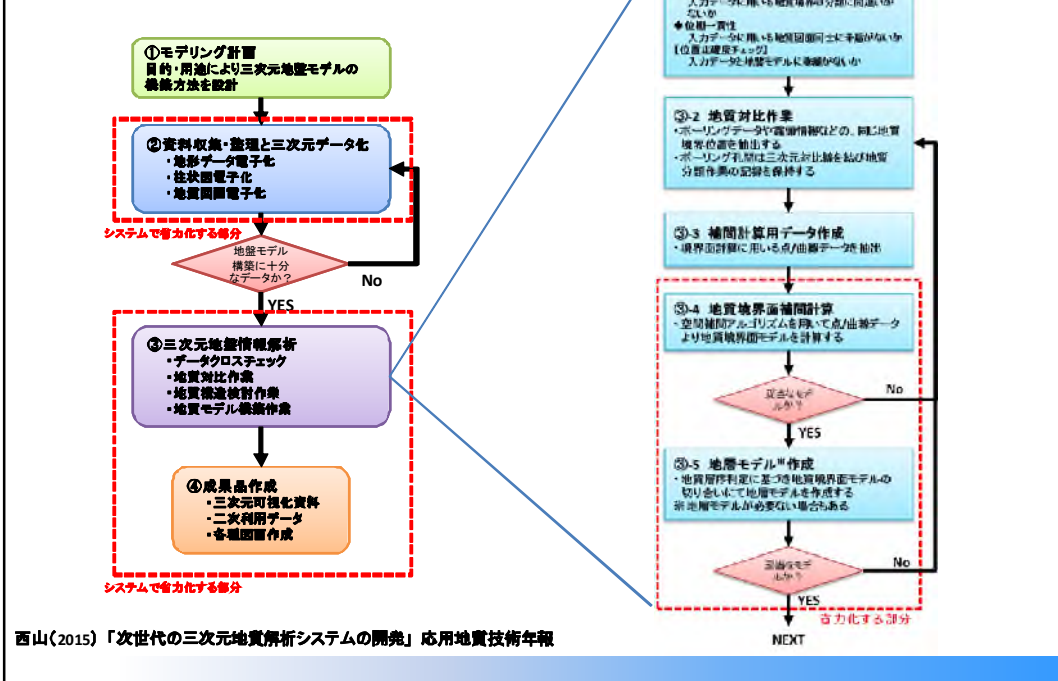
① 地質解析機能と可視化性能
・簡単に(直感的に)使えること
・技術的判断を短時間に行えること
・高度な編集機能を持つこと
・CADの精度で測定・分析を行えること
・地質境界面モデルの計算・演算を行えること
・表現力、表示処理速度、高度な表示機能、時にはリッチな表現(アニメーションなど)も可能とする
② 作業フローとデータ構成
・仕組みが自然であり容易に理解できること
・トレーサビリティを明確にすること
・標準的なCADデータフォーマットに対応すること
③ 柔軟性と拡張性
・長期的に使える将来性があること
・開発が比較的容易であること
・高品質コア情報などの情報化にも対応できること
・メンテナンス性が高いこと

※西山(2015)「次世代の三次元地質解析システムの開発」応用地質技術年報

3. GEO-CREの開発

3.2 開発目標

(2) 三次元地質モデル構築フローの省力化



3. GEO-CREOの開発

3.2 開発目標

(3) 三次元图形要素と地質調査情報との対応

三次元モデルの図形要素データ構造※

図形要素	モデルイメージ	データ構造
点	●	位置座標と点(+)の属性
線	結線 結線中心の属性	点の位置座標、結線情報、点および結線中心の属性
		【構造型】 1枚の格子状に並んだ点の位置座標と属性
面		【非構造型】 1枚の3角形・4角形の形状に配置する点の位置座標、結線情報、点・結線中点、形状中心の属性
		【構造型】 立体的な格子状に並んだ点の位置座標と属性。
ソリッド		【非構造型】 3角錐・立方体等の形状に配置する点の位置座標、結線情報、点・結線中点、形状中心の属性
		

地質調査情報と三次元モデルの対応※

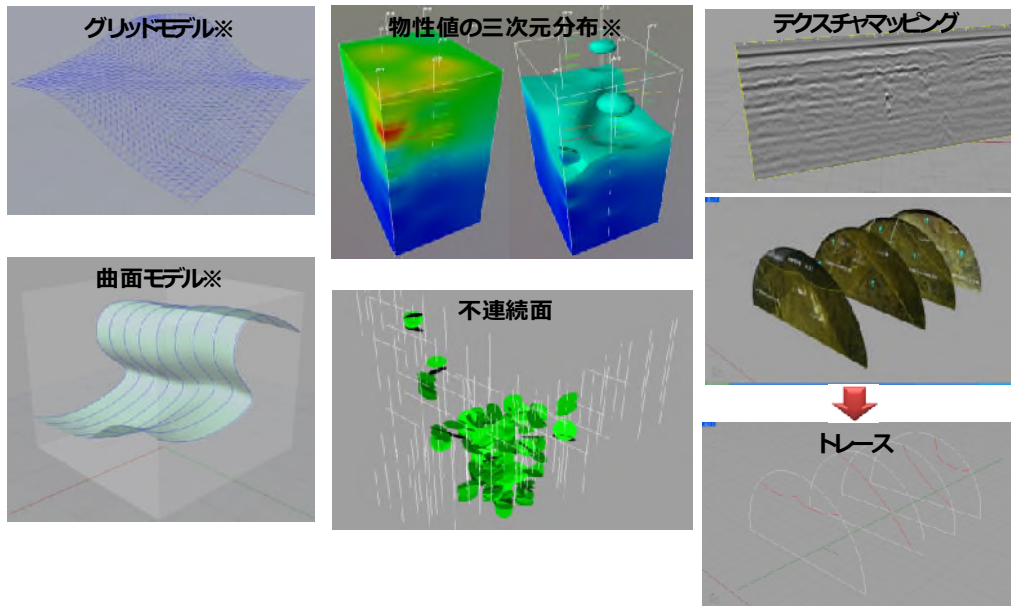
地質調査情報		三次元セグメント分析			
分析調査情報		表面要素		内部	
		点	面	サーフェス	ワールド
属性 データ	位置	○			露頭を構成する地質等の属性
	種別	○			
	不透水層	○	○		透水・遮水・貯留率、走向・傾斜の属性を持つ
	位差	○			
	屈折率	○			
	境界番号	○	○		地質境界や断層等の位差、走向・傾斜の属性を持つ
	区分番号	○	○		地質・風化・岩盤区分等の区分情報を
	計測値	○	○		点・試験深度一値 線・試験深度一値
	物理属性	○	○	○	電気伝導率、導電波速度等
	地形面		○		
モデル データ	境界面		○		断層境界や面属性
	地盤			○	
	物性半径			○	地形+境界等のノードに物性値の属性を付加したもの
結果		○	○		分析データ

*西山・小川・原(2003)「地盤技術者のための3次元地質モデル構築とその利用—IG-Infoによる地質情報表現を例にして—」応用地質技術年報

3. GEO-CREの開発

3.2 開発目標

(4) 三次元地質情報を表現するために必要な要素

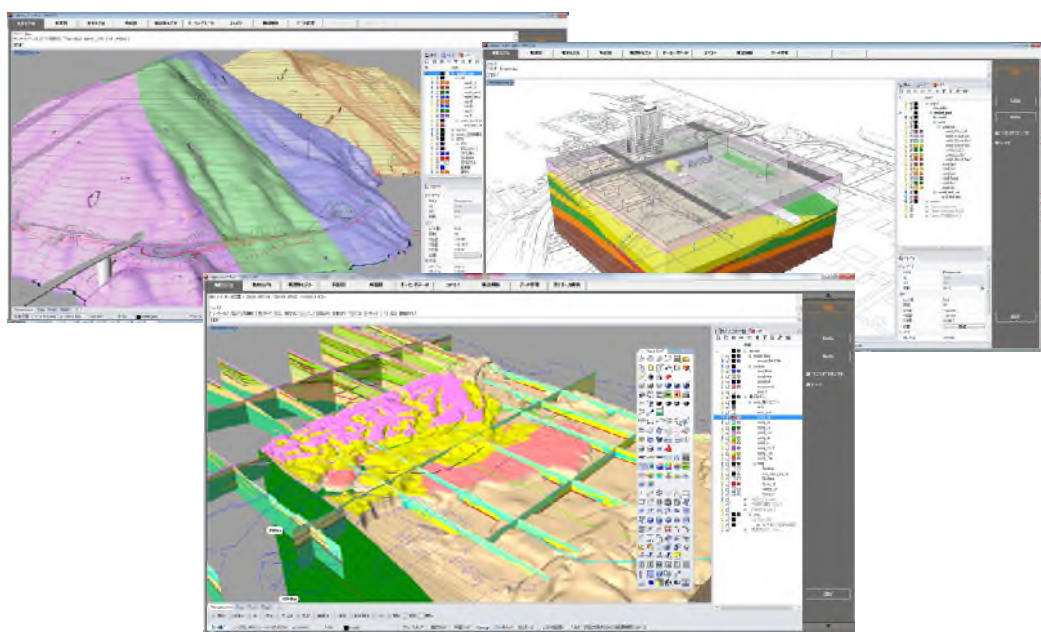


※西山・谷川(2014)「三次元地盤情報解析技術の現状と展開」中部地質調査業協会 土と岩 No.62

3. GEO-CREの開発

3.3 機能と性能

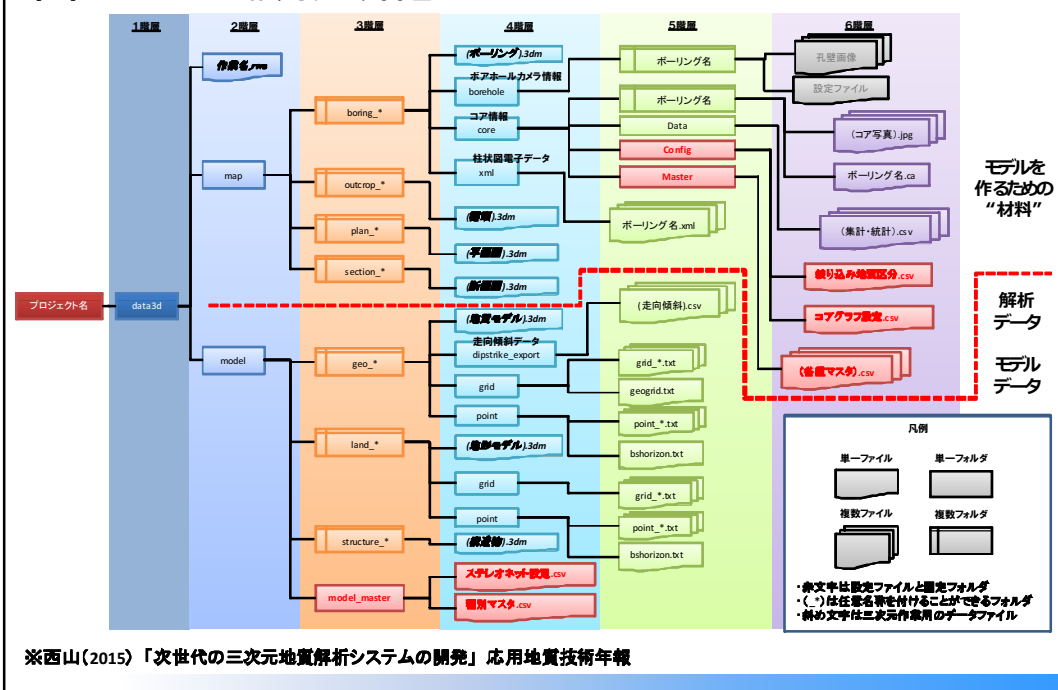
(1) GEO-CREのインターフェース



3. GEO-CREOの開発

3.3 機能と性能

(2) GEO-CREにおけるデータ管理



3. GEO-CREOの開発

3.3 機能と性能

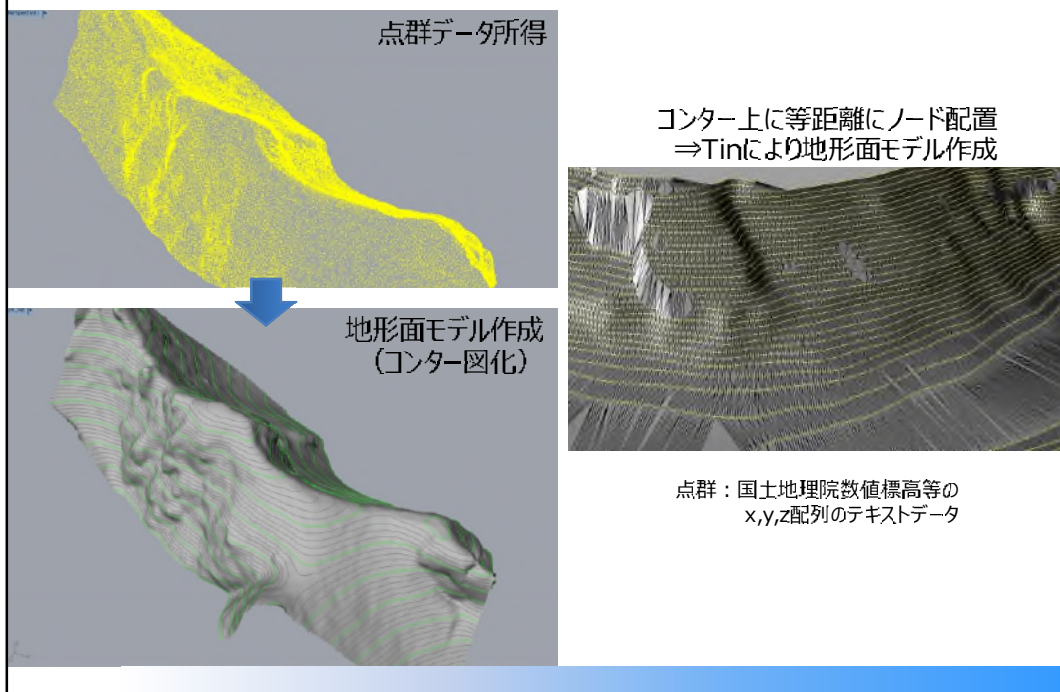
(3) モーリング機能



3. GEO-CREの開発

3.3 機能と性能

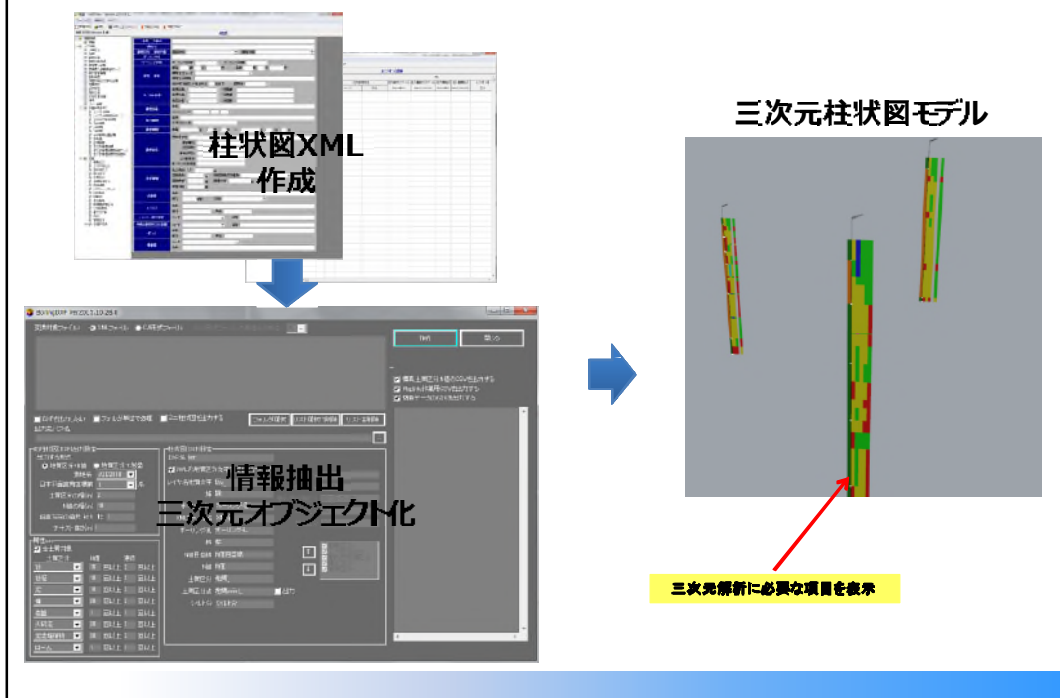
(4) 地形モデル作成



3. GEO-CREの開発

3.3 機能と性能

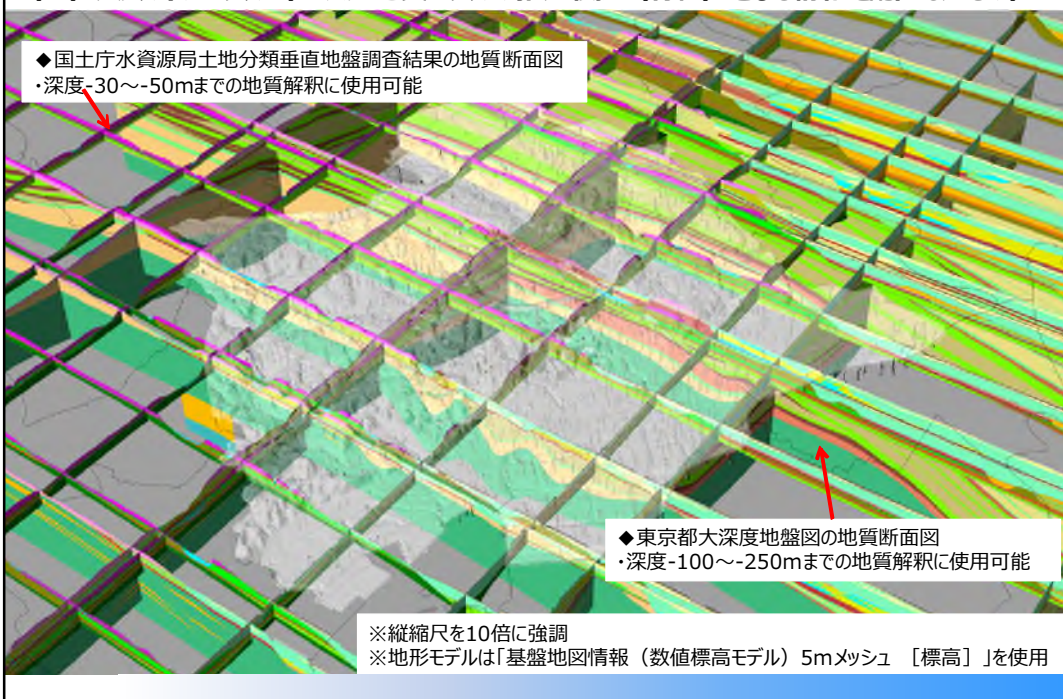
(5) ポーリングデータの三次元化



3. GEO-CREの開発

3.3 機能と性能

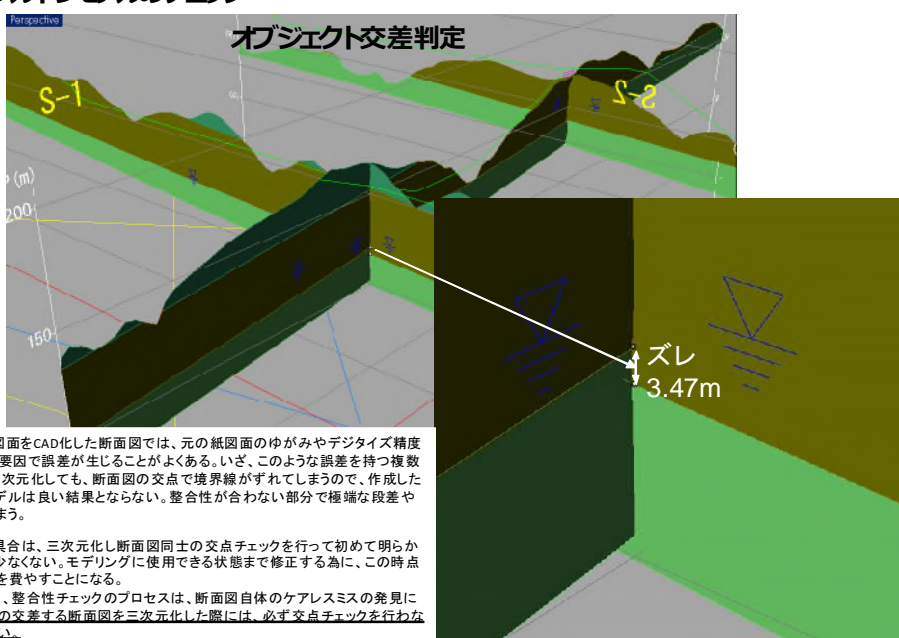
(6) スケルトンモデル（三次元地質モデルの推定根拠（骨格）となる情報を配置したもの）



3. GEO-CREの開発

3.3 機能と性能

(7) スケルトンモデルのチェック



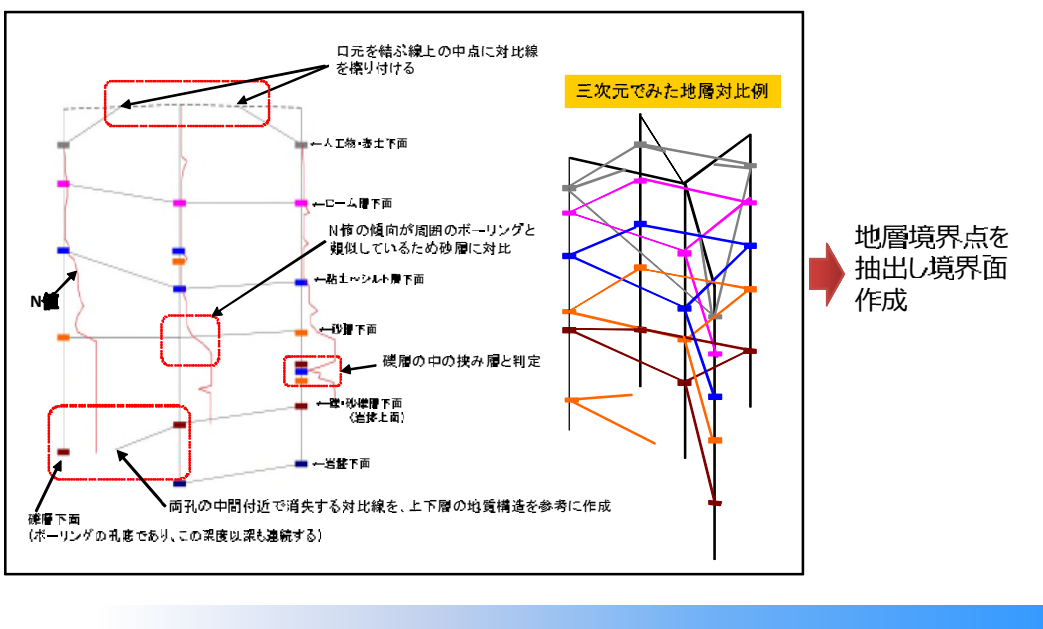
3. GEO-CREの開発

3.3 機能と性能

(8) 三次元地質解析（ボーリング対比の例）

三次元地層対比作業（基本的に地質断面図を作る作業と同じ）

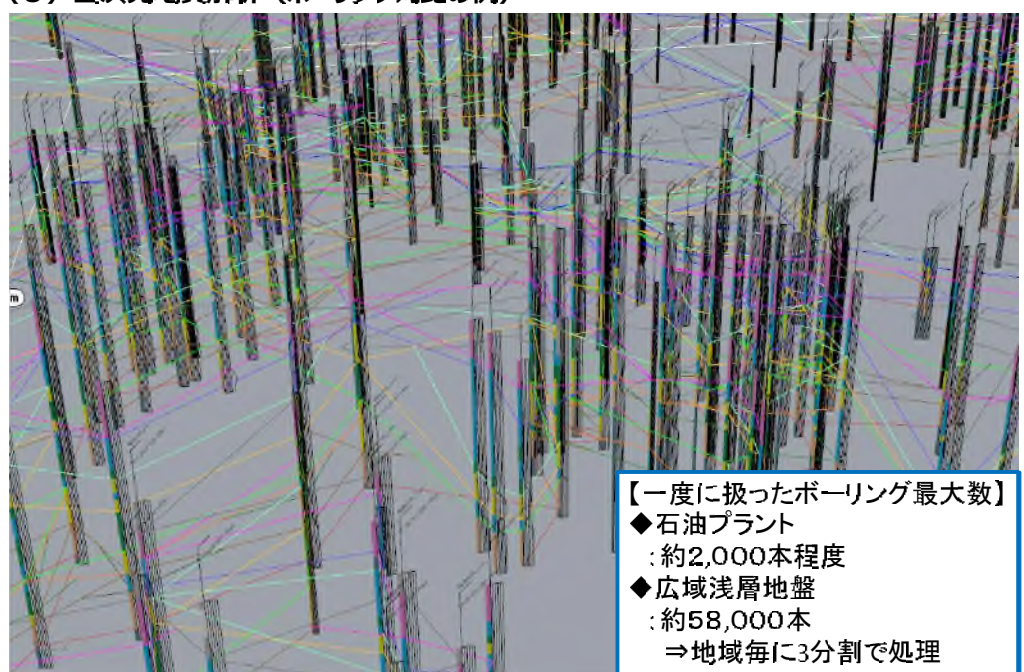
・地形モデルや地質断面図、既往資料等を参考にしながら全ボーリングを対比する



3. GEO-CREの開発

3.3 機能と性能

(8) 三次元地質解析（ボーリング対比の例）



3. GEO-CREの開発

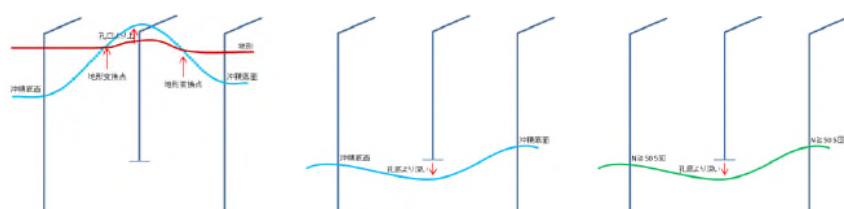
3.3 機能と性能

(9) サーフェスマデリング（グリッドサーフェスの例）

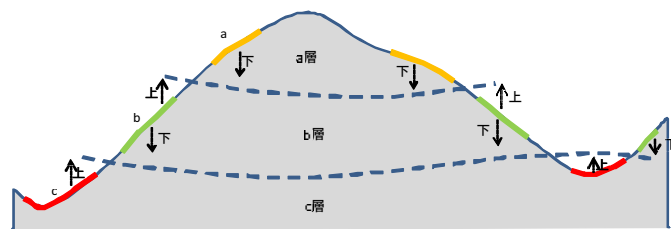
◆境界面モデルの制約条件

- ・入力データに制約条件を設定して面の形をコントロールする
- ・制約条件に対応するアルゴリズム「BS-Horizon※」を採用した

制約条件の例（ボーリング）】



制約条件の例（境界位置が不明なルートマップの場合）】



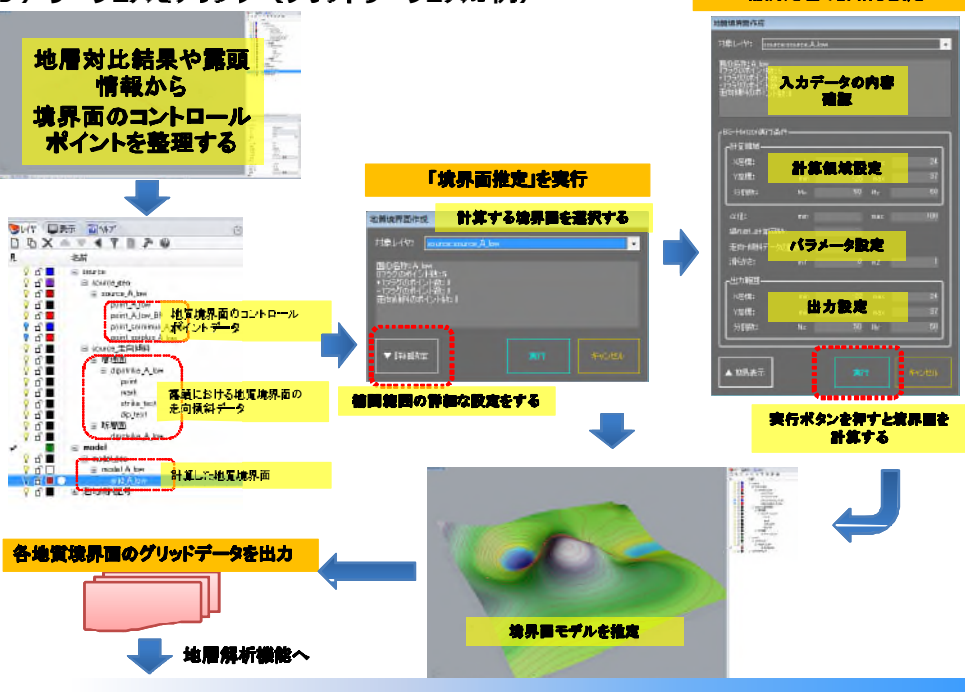
※野々垣他(2008):「3次B-スプラインを用いた地層境界面の推定」情報地質

3. GEO-CREの開発

3.3 機能と性能

(9) サーフェスマデリング（グリッドサーフェスの例）

補間処理の詳細な設定

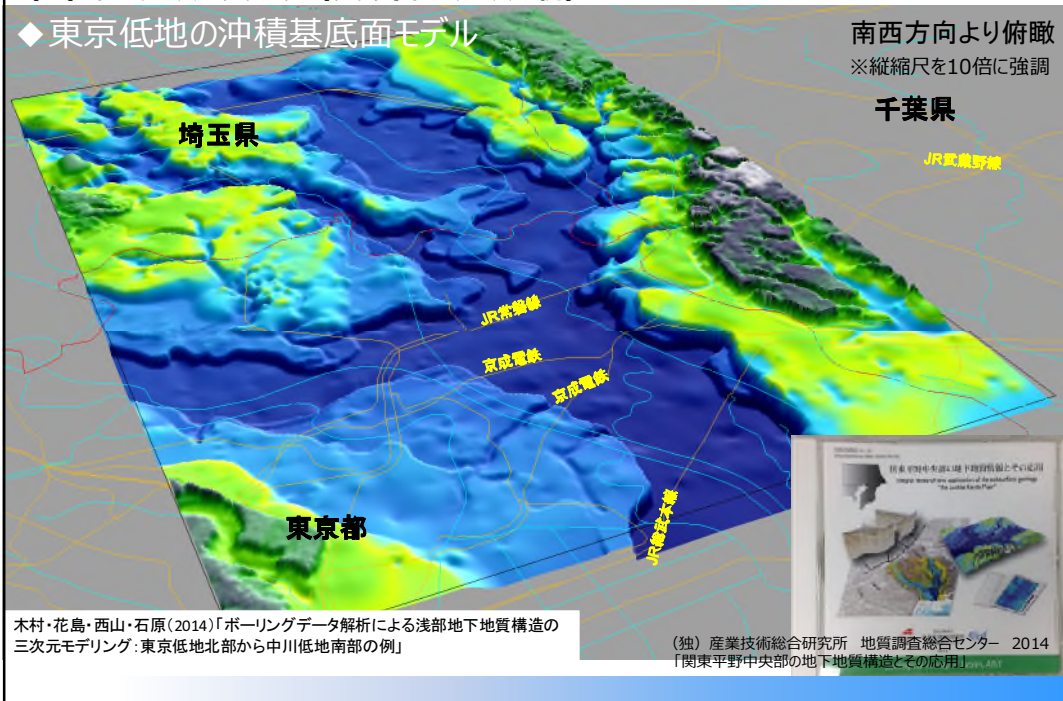


3. GEO-CREの開発

3.3 機能と性能

(9) サーフェスマデリング（グリッドサーフェスの例）

◆東京低地の沖積基底面モデル

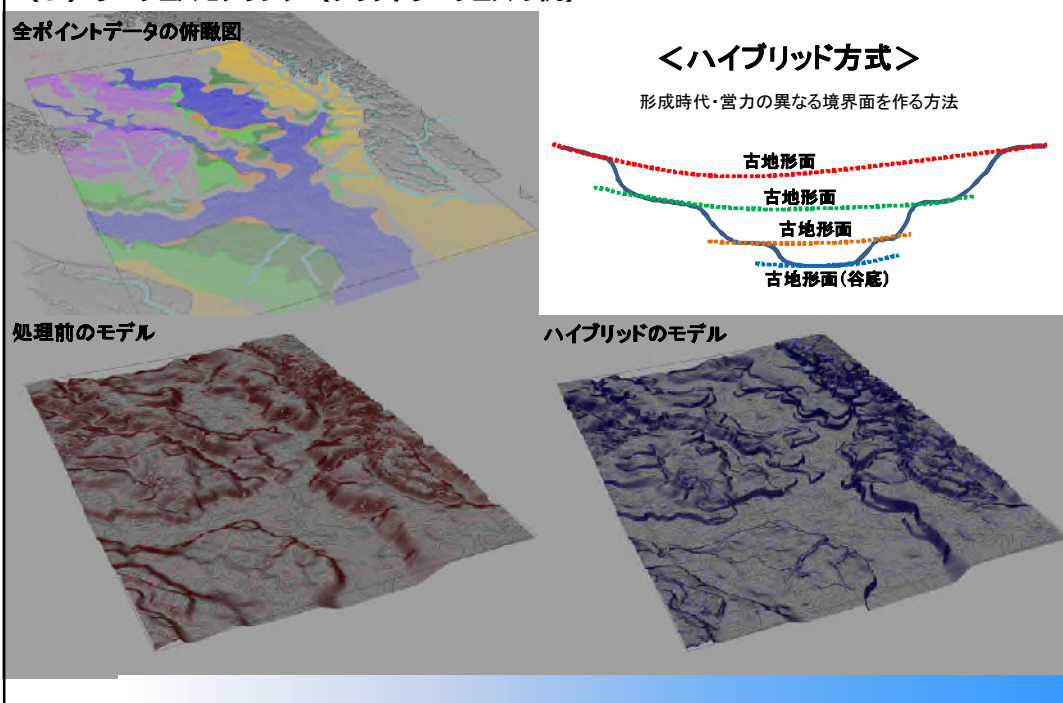


3. GEO-CREの開発

3.3 機能と性能

(9) サーフェスマデリング（グリッドサーフェスの例）

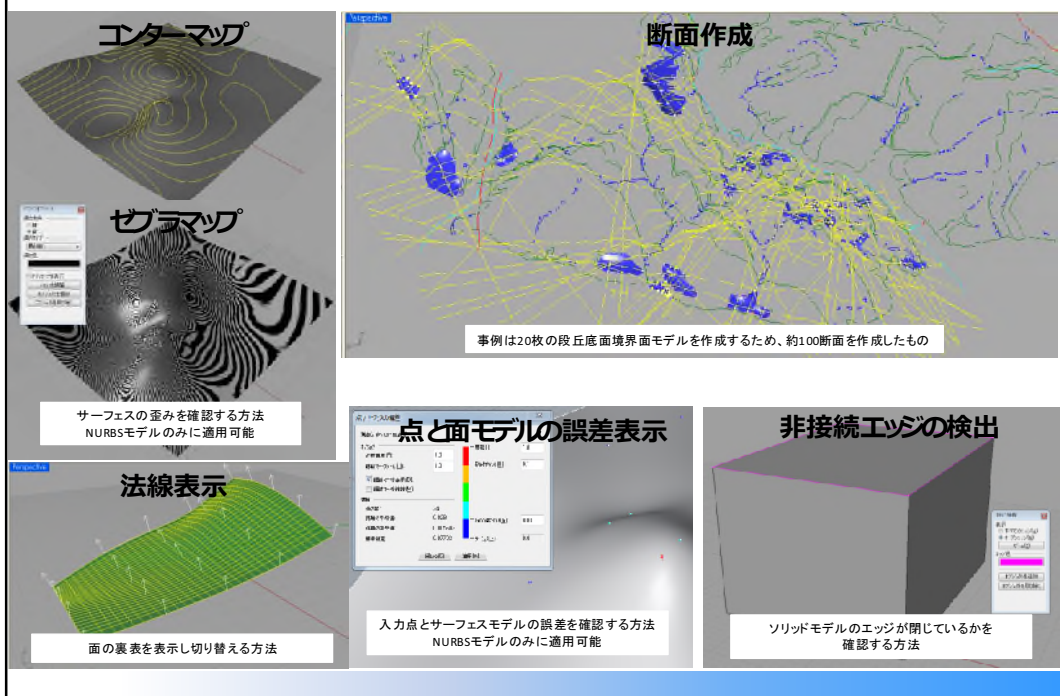
全ポイントデータの俯瞰図



3. GEO-CREの開発

3.3 機能と性能

(10) 三次元モデルのチェック機能例



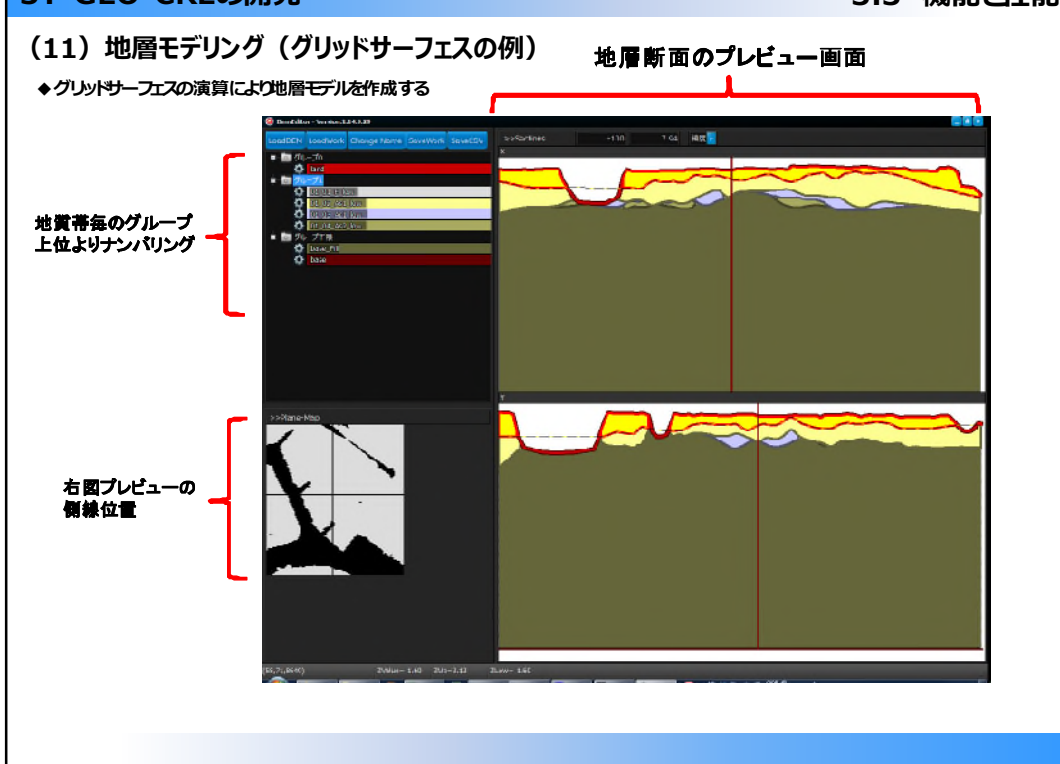
3. GEO-CREの開発

3.3 機能と性能

(11) 地層モデリング（グリッドサーフェスの例）

地層断面のプレビュー画面

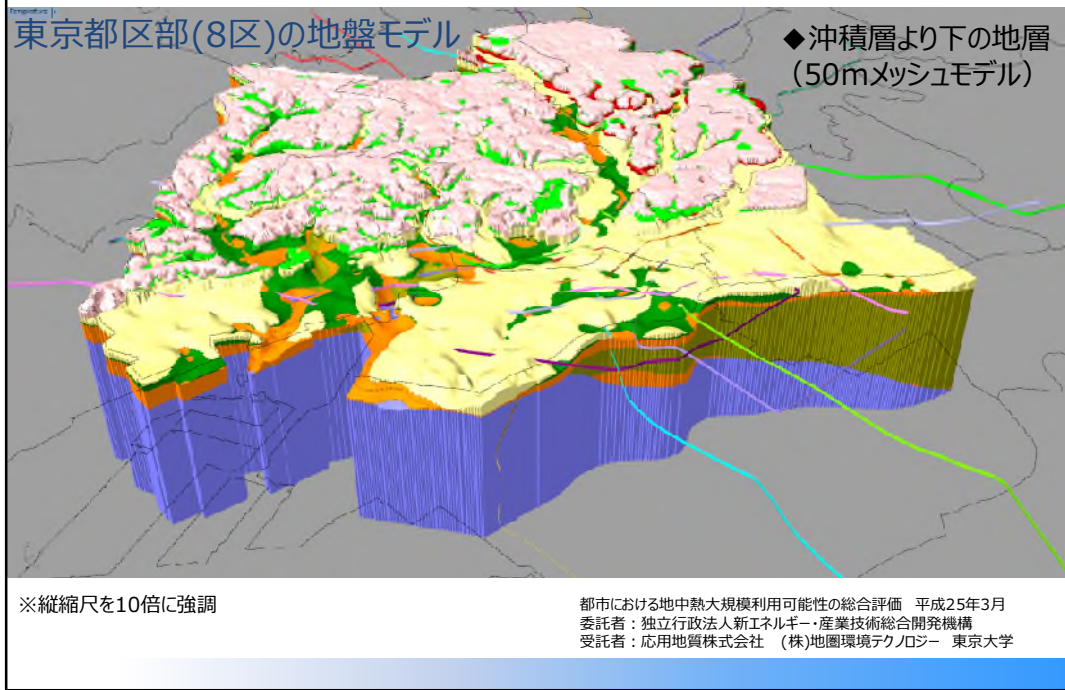
◆グリッドサーフェスの演算により地層モデルを作成する



3. GEO-CREの開発

3.3 機能と性能

(11) 地層モデリング（グリッドサーフェスの例）

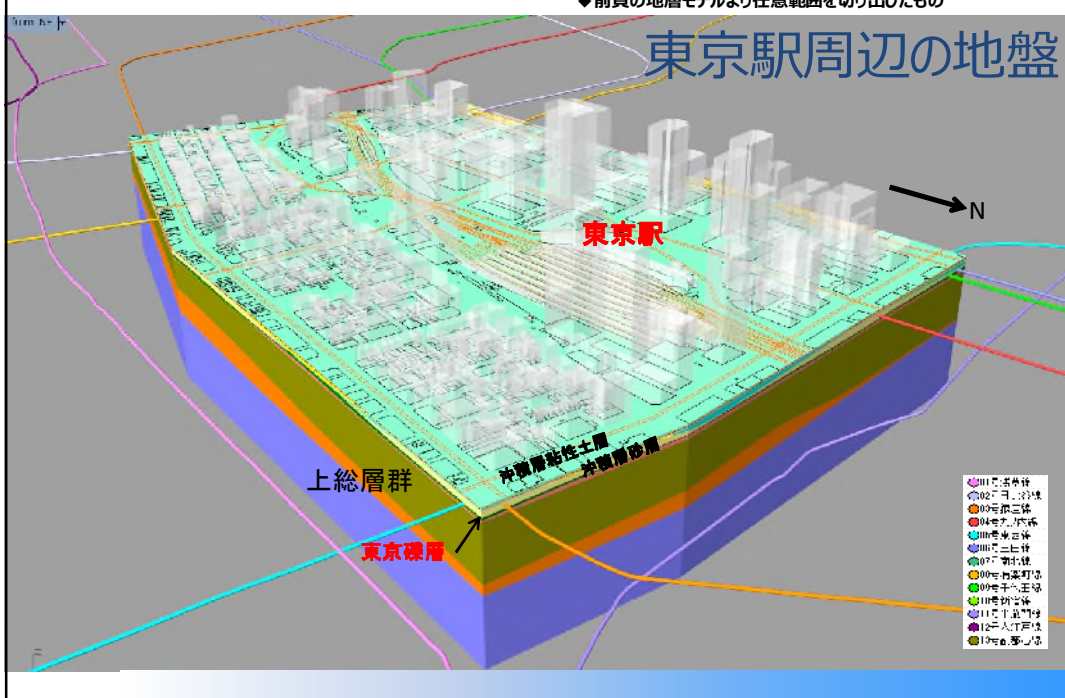


3. GEO-CREの開発

3.3 機能と性能

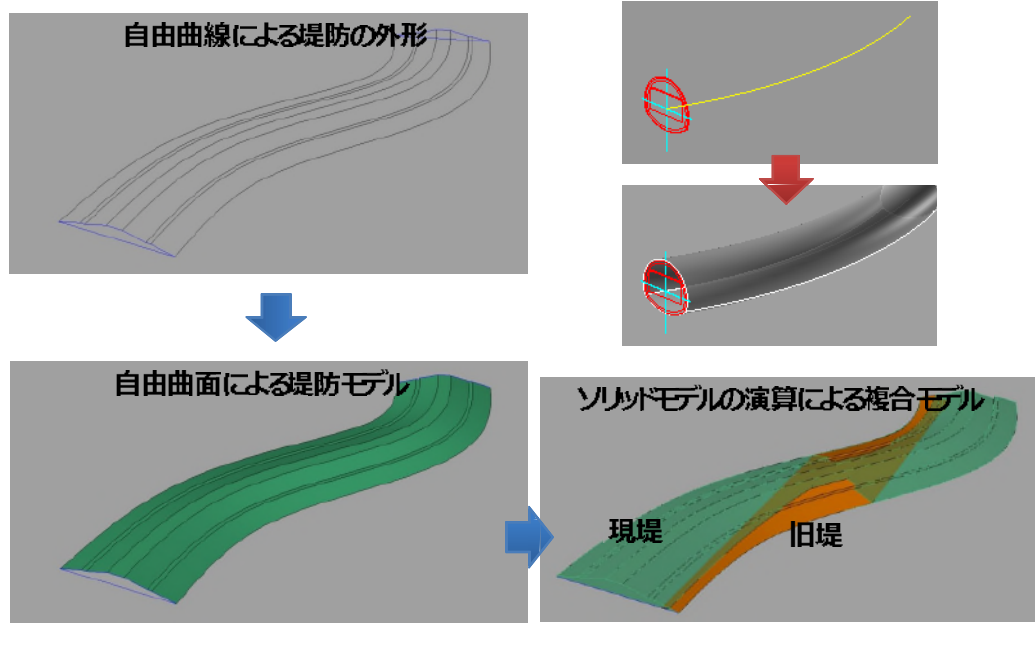
(11) 地層モデリング（グリッドサーフェスの例）

◆前回の地層モデルより任意範囲を切り出したもの



3. GEO-CREの開発

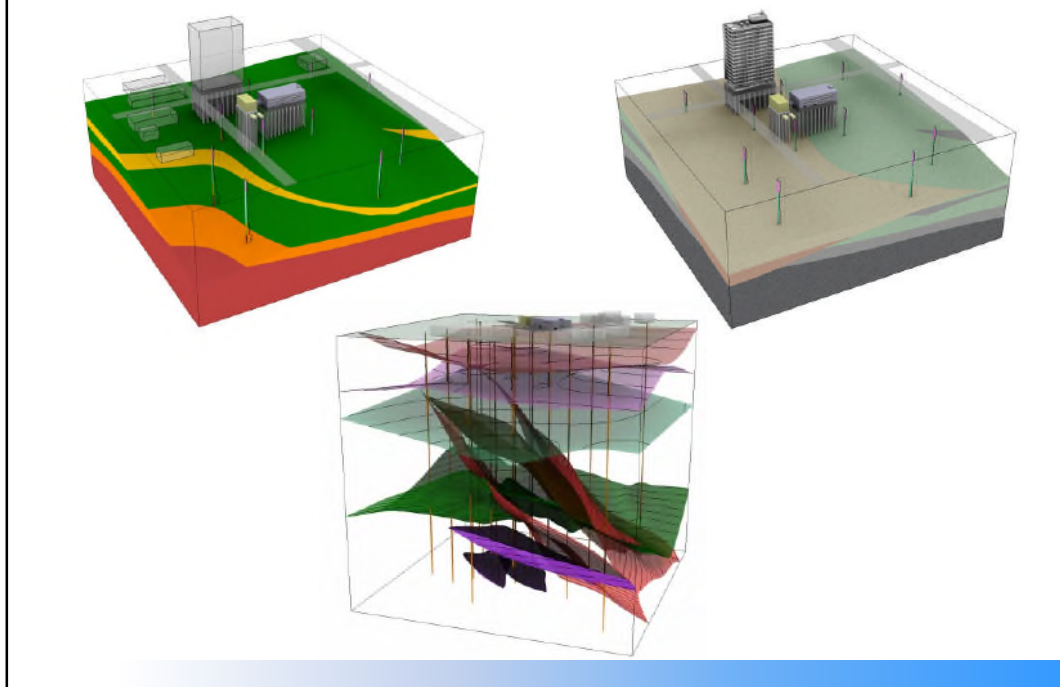
(12) 構造物モデリングの例



3.3 機能と性能

3. GEO-CREの開発

(13) 少し高品質なレンダリング

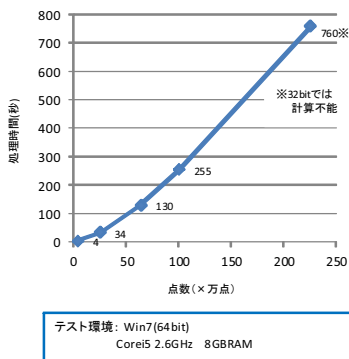


3. GEO-CREの開発

3.3 機能と性能

(14) 負荷テストとモーリング実績

<点群データによるTin地形モデルの計算負荷>



<サーフェスマル数とファイルサイズ>

◆某施設地質モデル

範囲: 約400m×220m

地形: 1枚

地質境界: 56枚

ファイルサイズ(Rhino): 約200MB

◆某施設地質モデル

範囲: 800m×600m

地形: 2パターン

断層: 45枚

地質境界: 618枚

ファイルサイズ(Rhino): 680MB

32bit環境では300MB以上から

動作が不安定になり易い

64bit環境では500MBでも安定稼働する

(実績は900MBまで確認)

⇒モデルの対象に応じてファイルを分割すべき

3. GEO-CREの開発

3.3 機能と性能

(15) GEO-CREの主な特徴

①地質モーリング

- ・三次元空間でリアルタイムなモーリング作業を実現
- ・モーリングアルゴリズムを柔軟に適用（連携するソフト次第）
- ・様々な地質モデルに対応可能
- ・数m～数10kmの幅広い規模に対応し、同一空間に混在も可能

②構造物モーリング

- ・三次元CADの能力を生かしたモデル精度確保
- ・汎用的CADデータ（二次元・三次元）の利用が可能

③モデル分析機能

- ・モデル精度チェック
- ・モデル同士の干渉チェック
- ・コンター図作成
- ・断面図作成
- ・面積／土量計算
- ・層厚分析
- ④CG・可視化機能
 - ・高品質レンダリング
 - ・アニメーション作成
- ⑤運用面の機能
 - ・階層型レイヤマネージャにて、入力データ管理からモデル管理まで一貫対応
- ⑥データ入出力
 - ・様々なフォーマットの入出力機能搭載
 - ・汎用的CADデータ（DXF/DWG）の入出力
 - ・シミュレーション用形状モデルデータの出力

3. GEO-CREの開発

3.3 機能と性能

(15) GEO-CREの主な特徴

【入力データ（地盤情報）】

ボーリングXML、サウンディング、物理探査（Geoplot）、各種地質図面画像・CAD図
国土地理院数値標高（5m,10m,50m,250m）、ボクセルモデルの等值面

【地層の論理モデル】

階層型レイヤ管理で十分対応可能

【境界面推定方法】

BS-HORIZON、NURBS、Tin
他ソフトで推定したデータを点群として取り込み可能

【属性値情報】

研究中（RhinoにIFC等の入出力プラグインあり）

【座標系】

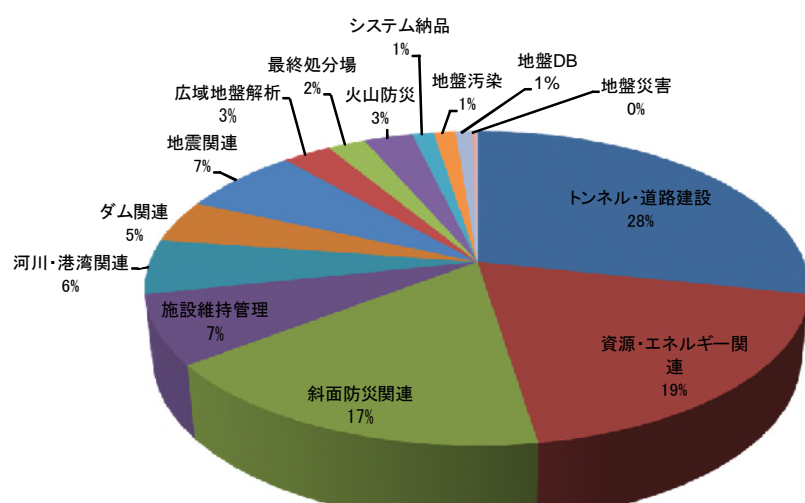
m系（平面直角座標、UTM座標）
※明確に座標系としては定義していない

【ソフトウェア構成】
OS: Windows 7/8 64bit/32bit (64bit推奨)
Rhinoceros Ver5 rev9以降対応(三次元機能の利用に必須)
【ハードウェア構成】
CPU: Intel Core i5以上
搭載メモリ: 8GB以上
GPU: グラフィックボード利用を推奨
HDD: 20GB以上の空き容量
モニタ: 画面解像度1920×1080以上を推奨

4. 弊社における三次元地質解析

4.1 適用した事業分野

(1) 事業分野の傾向



※H15年4月～H27年10月：計322件の事業分野割合

4. 弊社における三次元地質解析

(2) 適用事例と目的の分類

事業分野別の適用例	目的分類		
	可視化	解析	二次利用
【道路、トンネル】			
・多角的三次元地質断面図の座標性検証および地質構造の妥当性検討、岩盤分帯モデル作成	○	○	○
・インスペルート壁等の構造についての表面資料、トンネルルートのフランジアーマージョン制作	○	-	-
・インスペルート壁等による地盤剥離層を予測する三次元地盤水シミュレーション	○	-	○
・三次元地下水シミュレーション解析結果のパテントモデル分野による地盤下水浸透性評価	○	○	-
・坑道岩盤斜面地盤剥離層資料作成、不安定岩盤のブロック区分、重心位置算定、CAE計算用作成	○	○	○
・不溶性岩盤の運搬表面試験用三次元モデル作成(様々なパターンの分離面モデル化)	○	-	○
・佐民治明会用のプロジェクトアイデア書、セミナー制作	○	-	○
・インスペルート壁等検討委員会資料作成、施工履歴と地盤剥離結果、地盤剥離計画の三次元可视化	○	○	○
・地盤モデルの構造ごとに地盤工法の検討、対策一連プロセスの三次元シミュレーション	○	○	○
・転倒時の地下水流れ水深、充満率、施工ステップ毎のシールド掘削進捗と地盤剥離の関係可视化	○	-	-
・CIM対応の地盤モデル・支保壁モデル・構造物モデル・機器	○	-	○
・地盤剥離形成化率三次元分布推定	○	○	○
・地盤剥離の不溶性評価に用いる地盤モデル	○	-	-
・地盤剥離空洞の三次元分布把握と地盤剥離計画	○	○	○
【鉄道】			
・大規模直線路地盤のダムサイトの地盤剥離構造および地下水性状把握	○	○	-
・ダムサイトの地盤分布三次元モデル・地盤分布断面図作成	-	-	○
・重複地盤剥離帯分帶モデル化、初期剥離面の剥離分帶の可视化	○	-	○
・岩盤剥離分帶オーバーラップの三次元モデル作成	-	○	○
・ダム漏水原因地盤剥離構造データの三次元可视化	○	○	○
・貯水池地盤剥離面に用いるDEM精度DEMによる剥離解析	○	-	○
【港湾】			
・Pデータによる潜伏剥離用地盤近似作成	○	-	○
・地盤剥離面モデル化とアーカイブ蓄音録の検討用資料、アンカー地盤剥離風化度可视化	○	○	○
・三次元剥離不安地盤用地盤モデル構築	-	-	○
・地盤リザーブ層による地盤剥離構造の剥離把握	○	○	○
・船底剥離現象の再現アーナリシジョン制作	○	-	-

西山(2015)「次世代の三次元地質解析システムの開発」
応用地質技術年報

4.1 適用した事業分野

事業分野別の適用例	目的分類		
	可視化	解析	二次利用
【エネルギー・電気】			
・耐候性設計に用いる地盤モデル・岩盤分帯モデル構築	○	-	○
・ボーリング・露頭調査による不溶性面の三次元分与把握	○	○	○
・CCSにおける注入孔ユニレーションに用いる地中貯蔵層の三次元モデル構築	○	-	○
・最大トルクによる付与荷重度と地盤剥離構造三次元可視化、データベース生成	○	○	○
【地盤調査・監視物】			
・地盤剥離構造モデル作成と各種図面作成	○	-	○
・地盤剥離構造モデル作成と地盤剥離構造の三次元可視化	○	-	○
・地盤剥離構造モデル作成と地盤剥離構造三次元可視化	○	-	○
・地盤剥離構造モデル作成と地盤剥離構造三次元可視化	○	-	○
【建設】			
・地盤下不溶性システムに用いる三次元地盤モデル構築	○	○	○
・滑走系の地盤剥離地盤と地盤剥離構造三次元可視化	○	○	○
・地盤内大型駐車場剥離構造三次元可視化	○	○	○
【地盤改良】			
・粗心地の地盤剥離モデル作成に用いる三次元地盤モデル構築	○	○	○
・三次元地盤モデルおよび地盤下水モデルのデータベース構築	○	○	○
・三次元地下水シミュレーション用地盤モデル提供	-	-	○
【その他】			
・新規地盤マッシュの地盤剥離構造三次元可視化	○	-	-
・マンション本体地盤下地盤構造の可视化	○	-	-
・油状化地盤区域三次元地盤モデル構築	○	○	○
【研究開発】			
・進行中の構造・埋江下反復調査に用いる地盤モデル構築	○	○	○
・地盤構造と地盤構造のDEMモデル提供	○	-	○
【地下水調査】			
・地下水分離層を用いた地盤剥離構造の把握	○	-	○
・地下水資源利用目的の地盤剥離構造分析	○	-	○
【地盤評定】			
・地盤剥離マッシュの地盤剥離構造三次元可視化	○	-	-
・マンション本体地盤下地盤構造の可视化	○	-	-
・油状化地盤区域三次元地盤モデル構築	○	○	○
【地盤改良】			
・進行中の構造・埋江下反復調査に用いる地盤モデル構築	○	○	○
・地盤構造と地盤構造のDEMモデル提供	○	-	○
【地盤改良】			
・地盤剥離構造三次元可視化	○	-	-
・地盤剥離構造三次元可視化	○	-	-
【火山観察】			
・火山地下構造調査結果の可视化および各復習面作成	○	-	○
・空中像登録結果の可视化アプリケーション開発	○	-	○
・室内試験供試体剥離面のレーラースキャン結果の可视化	○	-	○

4. 弊社における三次元地質解析

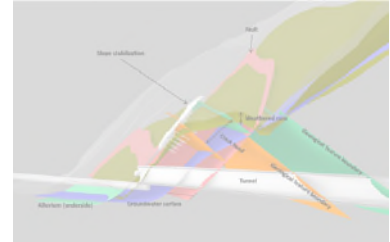
(1) 三次元地質モデルの利用場面

- ◆ 地質モデルが必要とされる場合
 - 管理する（発注者）側の情報として
 - 使う側（設計施工者）の情報として
 - 考える側（調査者）の情報として

4.2 経験から言えること

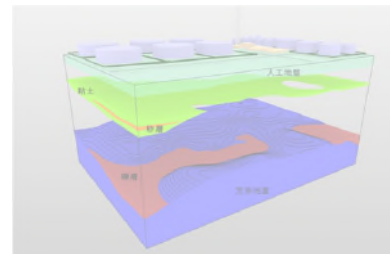
◆ 地質モデル構築の目的

- 地盤情報の三次元可視化
- 三次元地質解析そのもの
- モデルデータの二次利用



◆ 地盤モデルは目的と用途に応じる性能重視型である

- そのためどんな現場にも適用できるような万能なモデルはない
- 地盤モデルの目的外利用に注意が必要
- 地盤リスクを明確に伝えることが大切



【地盤（地質）リスクの定義】

- ① 地盤（地質）の不確実性そのもの
 - ・不可視で十分な情報が得られない
 - ・地質の成り立ちや分布・構造に地域性がある
- ② 事業に損失をあたえる地質事象
 - 「望ましくない地質事象の生起確率とその事象の大きさの組み合わせ（脇坂 2008）」



4. 弊社における三次元地質解析

4.2 経験から言えること

(2) 三次元地質モデルを作るための着目点 (Keywordのみ)

- ◆成層地盤 ⇒ グレーピング、大境界と小境界、層相区分、時代区分、整合・不整合、上に凸、下に凸、互層、ダウランプ、オフラップ
- ◆漸移帯 ⇒ 平均的配置、安全側の視点、シーケンス層序、曖昧さの表現
- ◆逆転構造（褶曲 オーバーハング） ⇒ 軸の設定、構造断面の照査（まだ二次元の思考が基本）
- ◆断層 ⇒ 断層帯、雁行表現、端部処理
- ◆地質ゾーニング ⇒ 岩級区分、土軟硬区分、変質帯区分、帶水層区分、物性モデルからの解釈
- ◆人工地盤 ⇒ 盛土、埋土、切土、地盤改良範囲
- ◆地下水 ⇒ 変動幅、水圧表現、流線
- ◆地盤強度 ⇒ ボケセル 三次元補間、区分層毎の補間 合成
- ◆複合面（一連の同時代面で形成営力が異なる） ⇒ データの分類、地形面の認定、ハイブリッド
- ◆貫入岩 ⇒ 火道位置・方向、断裂系
- ◆レンズ ⇒ チャネル 構成物変化、外縁部処理
- ◆谷底 谷壁 ⇒ 現地形の示唆するもの、斜面脚部の形状
- ◆旧河道 埋没谷 ⇒ 旧河道中心の認定、推定、河川勾配の反映
- ◆分離面 ⇒ ポアホール調査、分離面表現、切り合い、岩盤ブロック、楔滑り、統計的処理
- ◆岩盤斜面 ⇒ オーバーハング、地上レーザー、写真測量、三次元スケッチ、不安定ブロック抽出
- ◆信頼性の表現 ⇒ マスク領域、データ密度、コメント表記、可読性のある記録方式、統計的評価、オーバレイマップ
- ◆インターラクション（干渉） ⇒ 掘削形状、地形変更
- 他

地質事象毎に着目点が異なる ⇒ 地質モデル構築マニュアルが必要

4. 弊社における三次元地質解析

4.2 経験から言えること

(3) 三次元地質モデル作成者の資格 (弊社における)

- ◆地質図は、合理的な地質調査や微地形判読・既存資料分析・各種試験計測等に基づく
複眼 統合的考察により尊かれる
< 調査結果 → 三次元考察 解析 → 二次元図面表現 (地質平面 断面図) >
- ◆地質図の品質は地質屋の経験と技術に依存する
(百人の地質屋がいれば百通りの地質図ができると揶揄される所以)
- ◆地質図作成はフィールドワークの経験が必要であり
相応の経験と資格を持つ専門技術者が実施するか監督するべきもの
- ◆三次元地質モデル作成の思考は土木地質図作成の思考とあまり変わらない
三次元地質モデル作成も地質図作成と同等の資格が必要と考えられる

資格の目安】

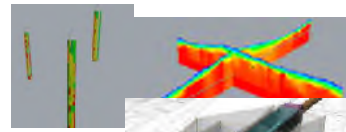
- ・技術士（応用理学 地質）あるいはRCCM（地質）+地質情報管理士
- ・上記の資格と同等と認められる者

5. 三次元地質モデルの活用へ (CIM対応へ向けて)

(1) CIMに提供できるデータ

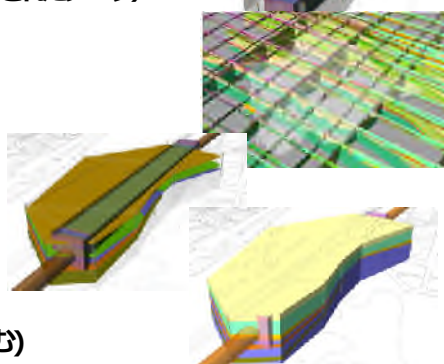
①スケルトンモデル

- ・三次元化(座標付け)したデータ(物理探査情報や既往地質図面含む)
- ・モデル補間計算に用いた入力データ(グルーピングされたデータ)
- ・地質対比情報(地質学的関係性の情報)



②推定地質モデル

- ・地質図面(平面図、断面図、パネルダイアグラム)
- ・三次元地質モデル(サーフェス、ソリッド、ボクセル)



③属性情報

- ・地盤リスク、モデル目的・用途、利用制限
- ・推定範囲、推定方法(アルゴリズムのパラメータ含む)
- ・信頼性指標(推定根拠、地史)
- ・物性テーブル、凡例

5. 三次元地質モデルの活用へ (CIM対応へ向けて)

(2) CIMへ提供する三次元地質モデルの問題

①事業段階のニーズに応じたモデルが必要

- ・事業段階(概略設計・詳細設計・施工等)によりモデルの要求範囲・精度が変わる

→ **LODの観点が必要**

LOD : Level of development

②三次元モデルデータだけが独り歩きしかねない

- ・作成方法の記録が無いと、モデルの信頼性や更新方法がわからず
- ・モデルデータだけでは地盤リスクがわからず

→ **属性情報は必要不可欠**

③地盤情報が更新・変化※する場合、適切なタイミングでモデル更新が必要となる

※変化:強度変化、風化、地盤沈下、斜面変動、地下水変動など

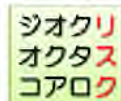
→ **トレーサビリティが重要**

5. 三次元地質モデルの活用へ（CIM対応へ向けて）

（3）モデルの信頼性をどう担保するか？

- ①“三次元地質モデリング”マニュアルを整備する
- ②相応しい資格のある地質技術者が地質モデル構築に関与する
- ③スケルトンモデルを参照・利用できるようにする
- ④属性情報を参照・利用できるようにする
- ⑤再現性のある地質モデルを作る

ご清聴ありがとうございました



日本情報地質学会 シンポジウム2015
地形・地質三次元モデリングの最前線
講演論文集

2015年12月9日 発行

発 行 日本情報地質学会
〒101-0047 東京都千代田区内神田1-5-13
内神田TKビル3階
特定非営利活動法人 地質情報整備活用機構内
Tel. 03-6689-5353
